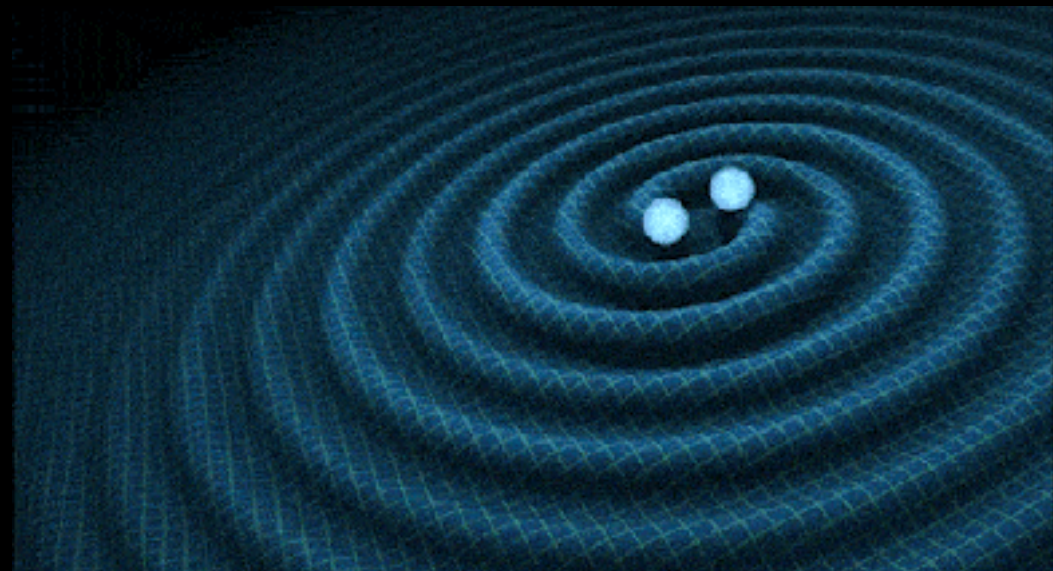
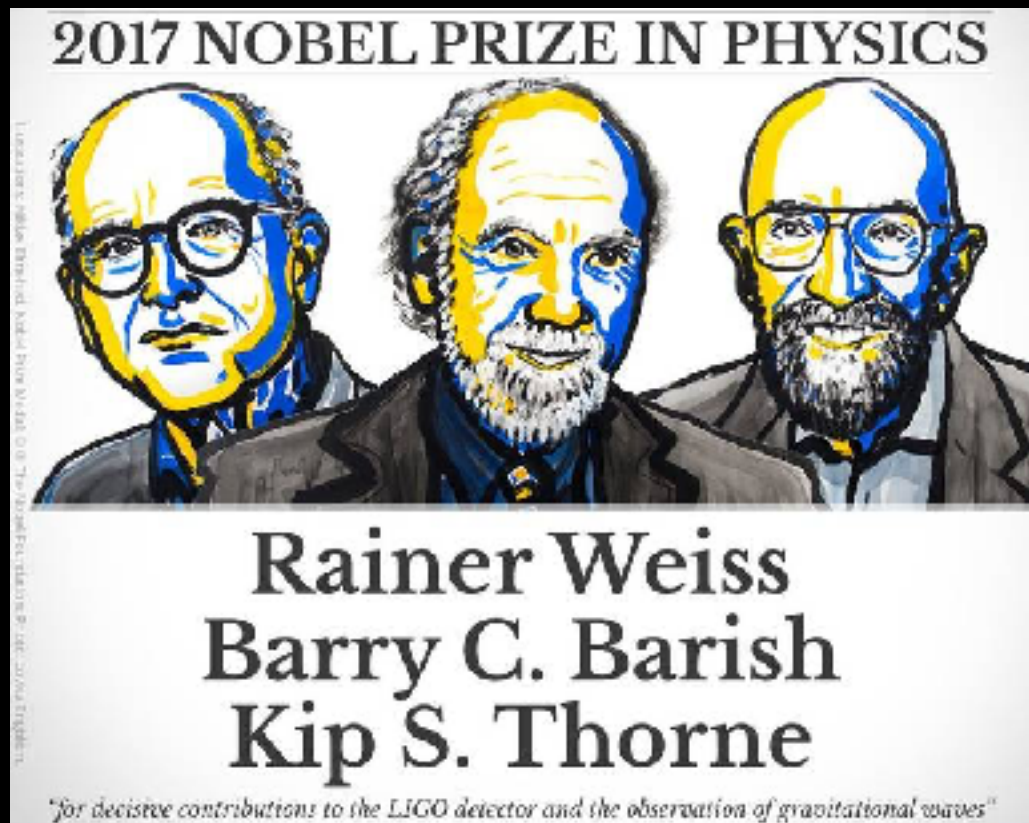


# 重力波観測は物理学から天文学へ

## 2017年ノーベル物理学賞解説



真貝寿明 (しんかいひさあき)  
大阪工業大学  
KAGRA サイエンス部門実行委員長  
<http://www.oit.ac.jp/is/~shinkai/>



*"For the greatest benefit to mankind"*  
*— Alfred Nobel*

## 2017 NOBEL PRIZE IN PHYSICS

Rainer Weiss  
Barry C. Barish  
Kip S. Thorne



ライナー・ワイス(85)

バリー・バリッシュ(77)

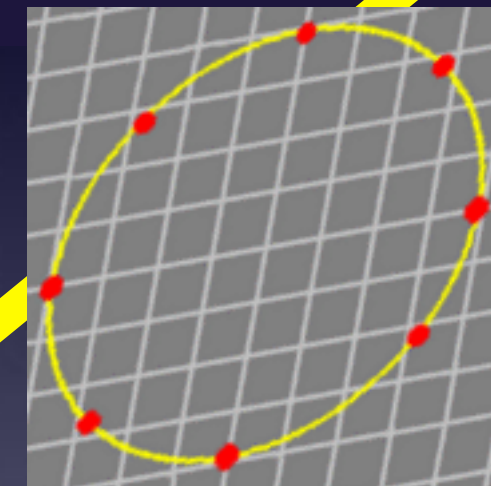
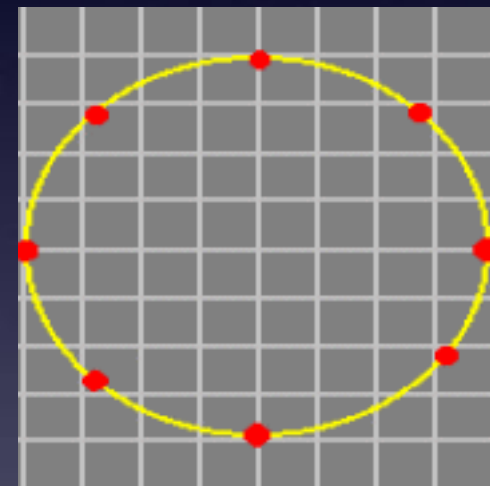
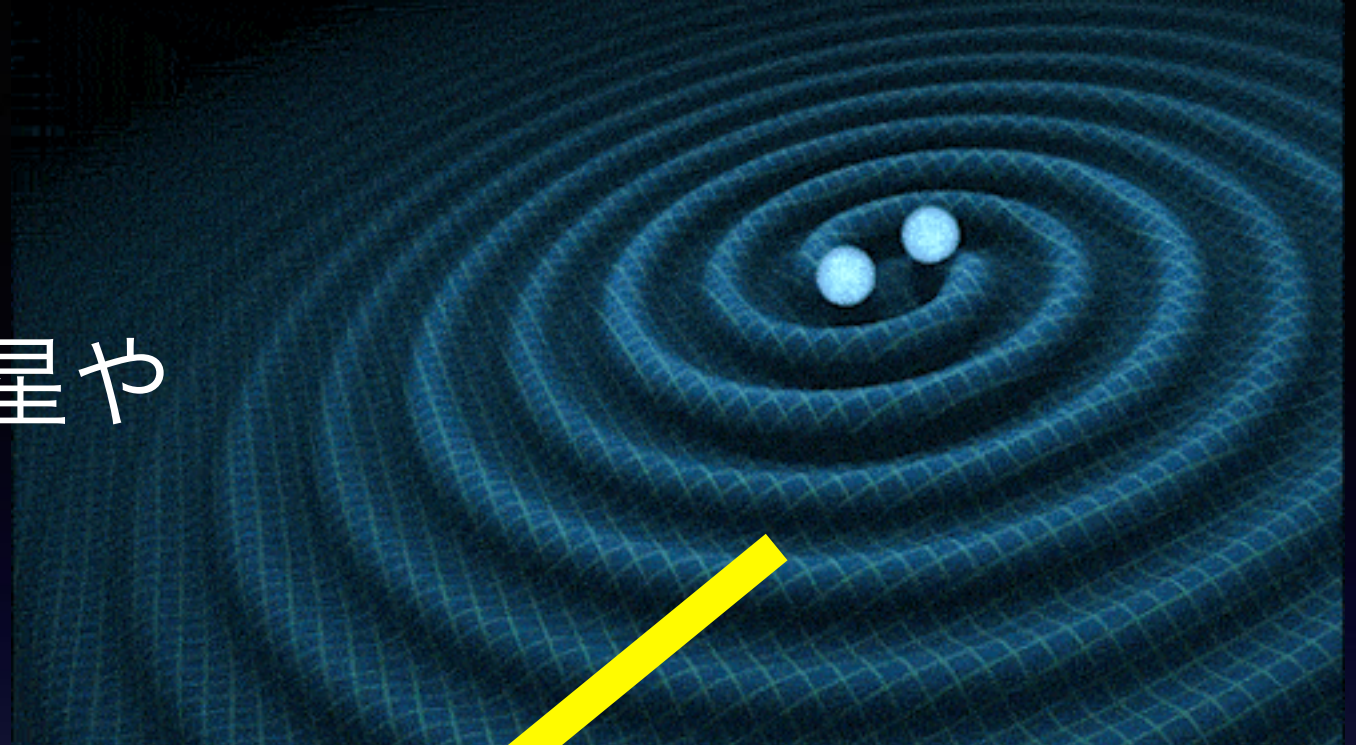
キップ・ソーン(77)

"for decisive contributions to the LIGO detector and the observation of gravitational waves"

LIGO検出器への決定的な貢献と重力波の観測に対して

# 重力波の発生と伝播

ブラックホール連星や  
中性子星連星



→

レーザー干渉計

LIGO=Laser Interferometer

Gravitational-Wave Observatory

# 2016年2月、LIGOが重力波を初めて検出した、と発表した



四国新聞だけ  
ちがった。。。残念（笑）

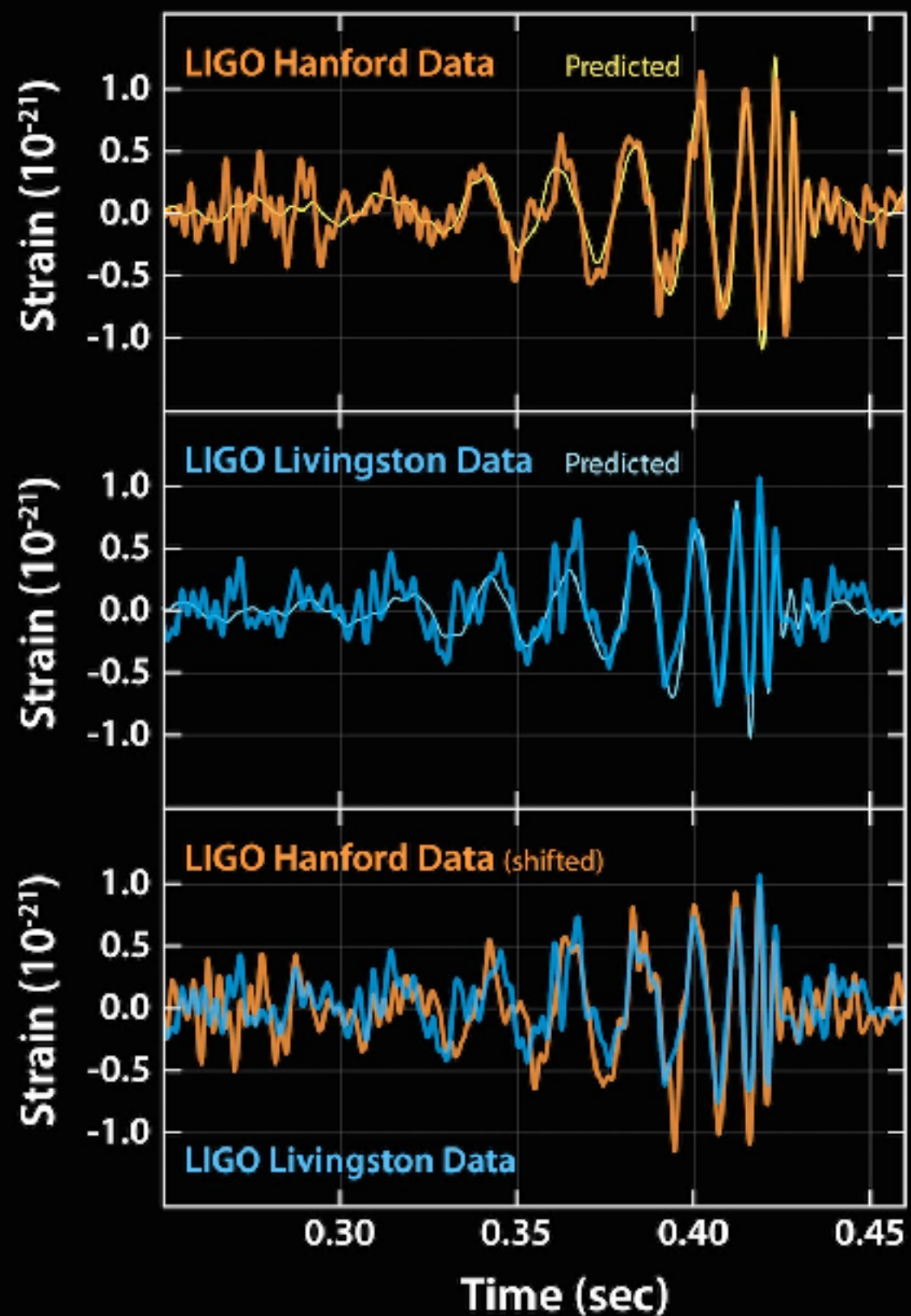


2016年2月, LIGOが重力波を初めて検出した, と発表した

2015年9月14日

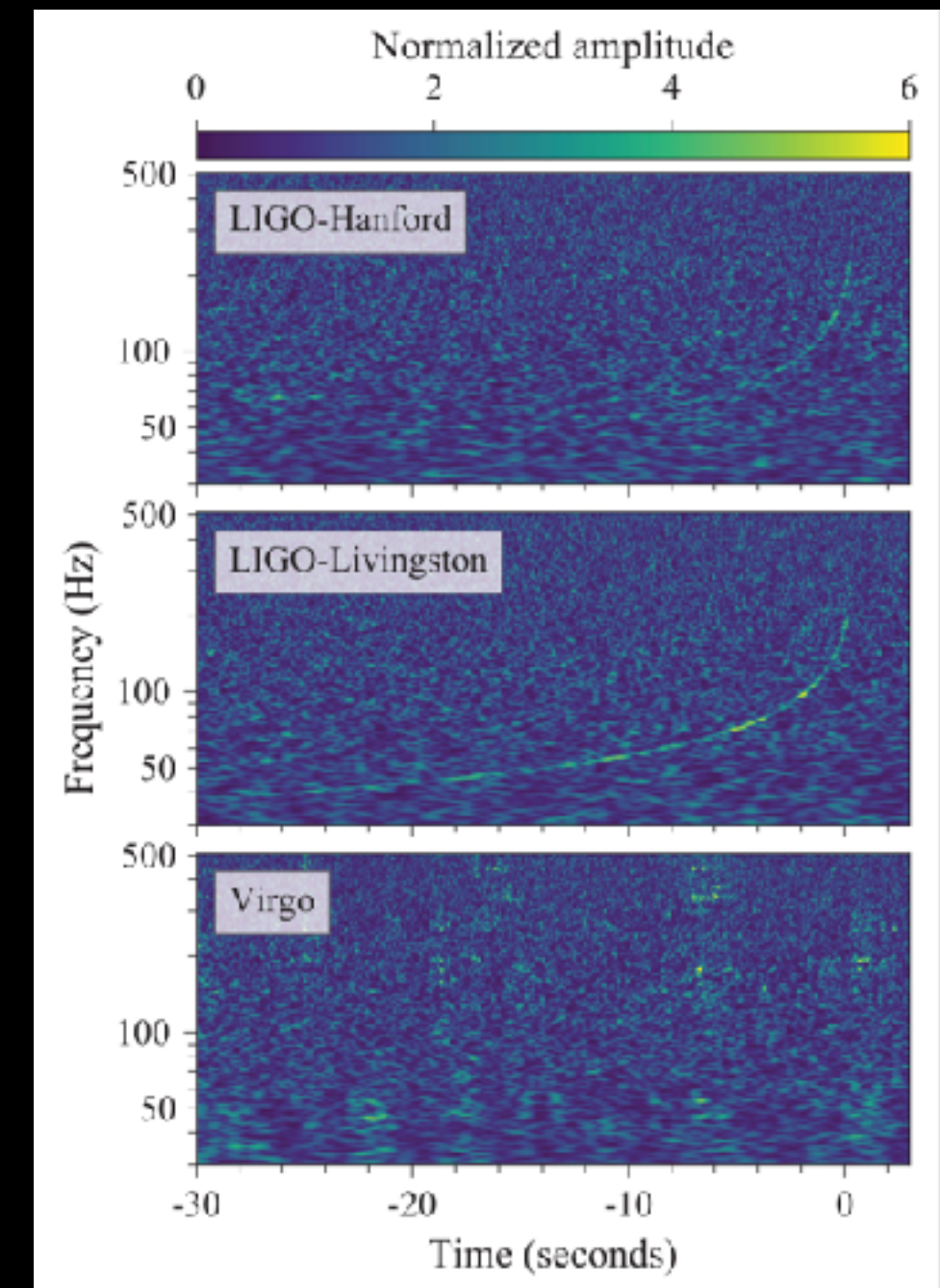


ブラックホール連星の合体  
によって生じた重力波だった



2017年10月, LIGO/Virgoが中性子星連星の合体によって  
生じた重力波を初めて検出した, と発表した

2017年8月17日



# 本日の内容

## 1. 重力波とは

Einsteinが残した100年越しの宿題

重力波の発見まで

## 2. 直接観測された重力波

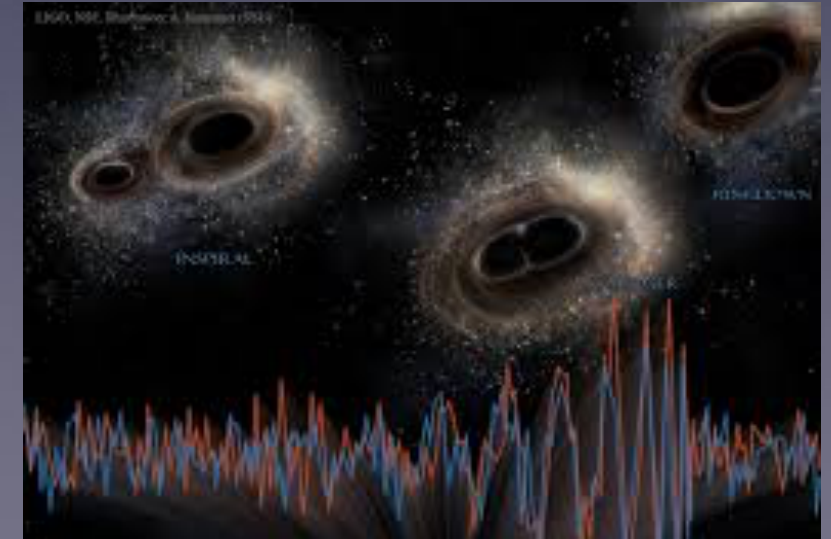
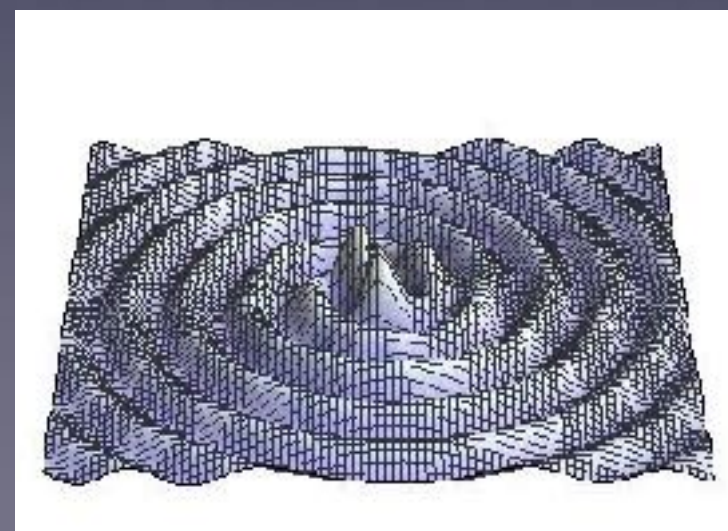
レーザー干渉計のしくみ

LIGOグループが発見した5つの重力波イベント

## 3. 重力波観測の将来

宇宙空間での重力波観測

重力波観測から何がわかるか



# 本日の内容

## 1. 重力波とは

Einsteinが残した100年越しの宿題

重力波の発見まで

## 2. 直接観測された重力波

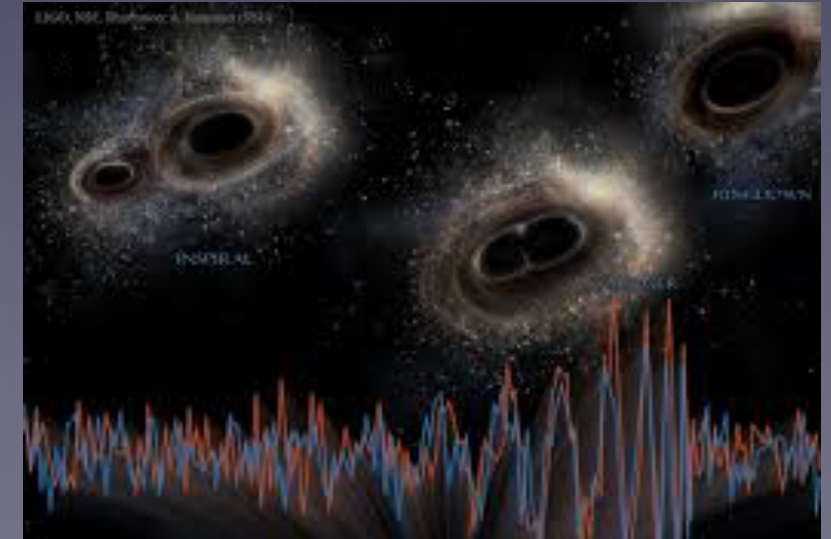
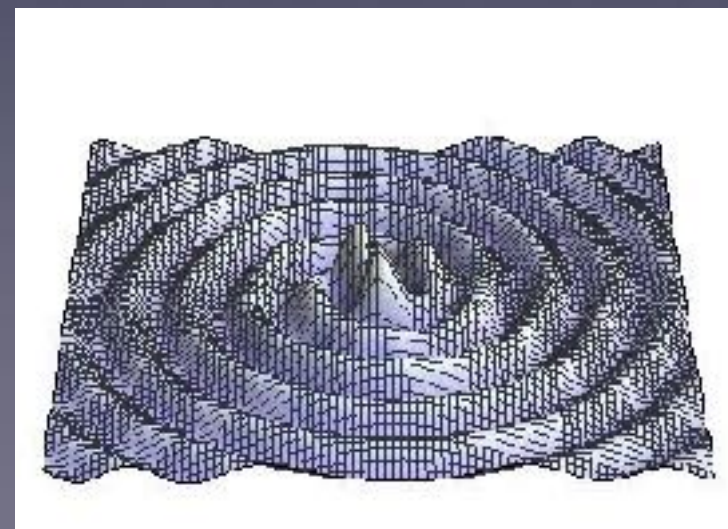
レーザー干渉計のしくみ

LIGOグループが発見した5つの重力波イベント

## 3. 重力波観測の将来

宇宙空間での重力波観測

重力波観測から何がわかるか



# 重力の正体は？



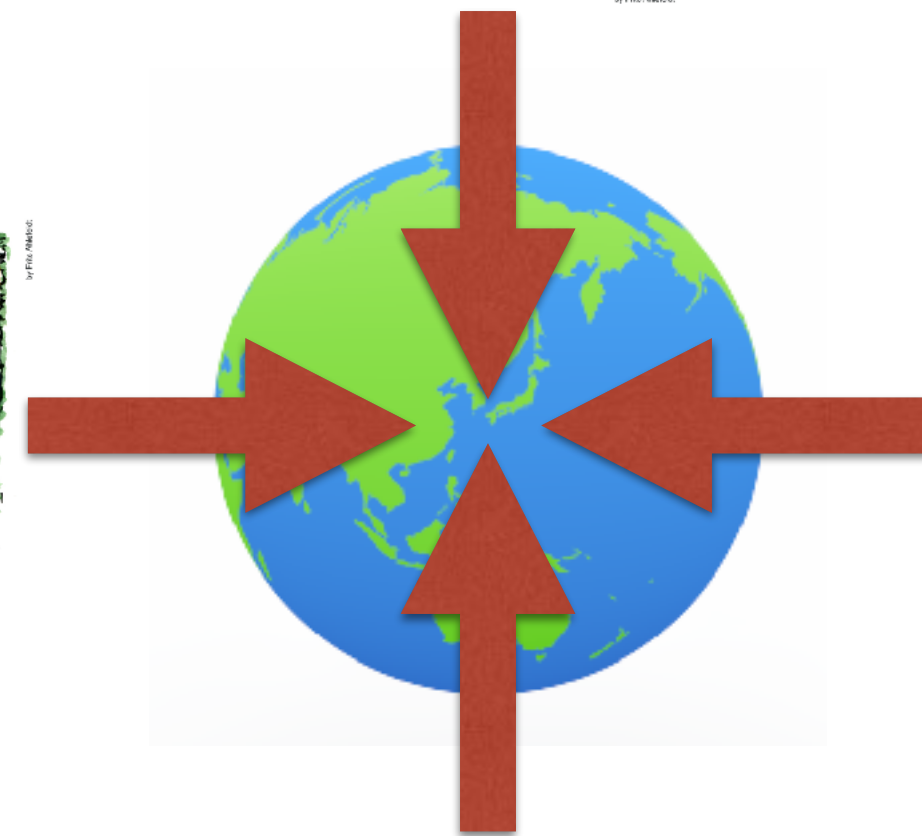
<http://hikingartist.com/>



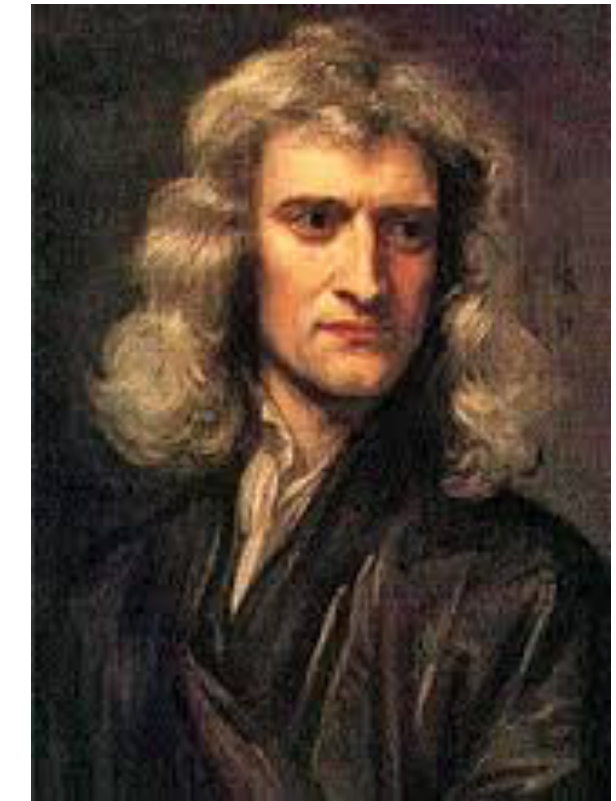
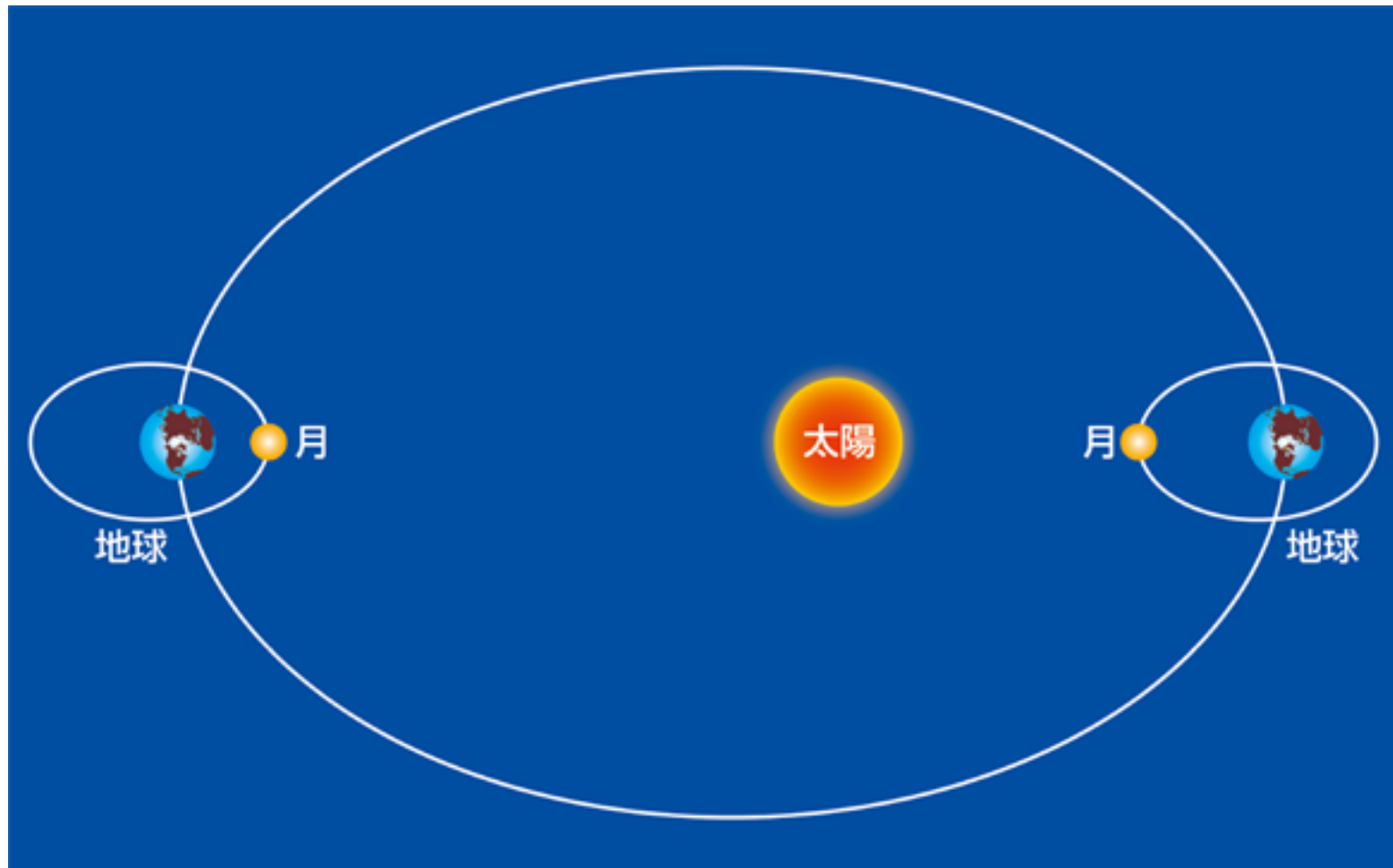
# 重力の正体は？



<http://hikingartist.com/>



# 重力の正体は？



ニュートン

$$F = G \frac{Mm}{r^2}$$

万有引力

= すべてのものは引力で引き合う

# 重力の正体は？



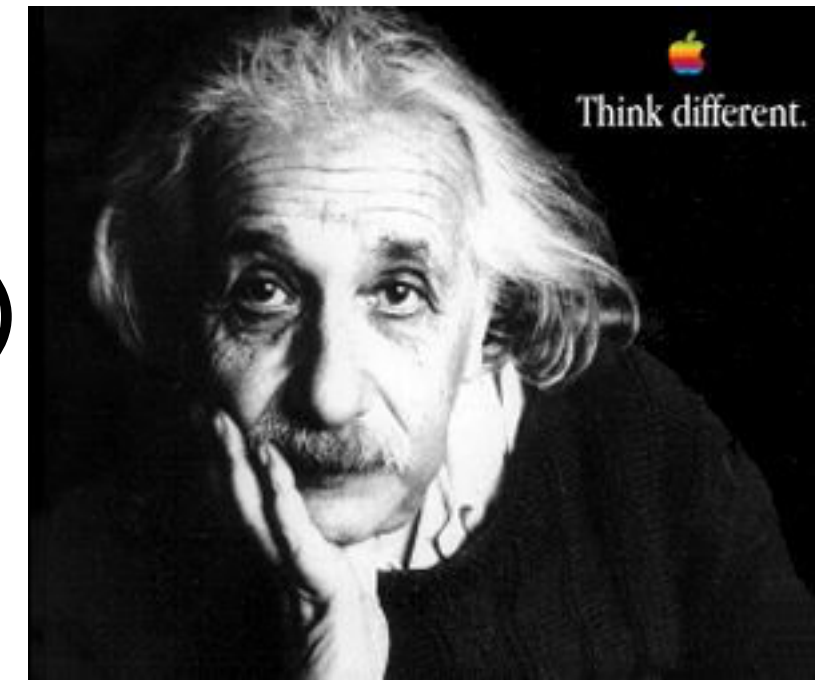
<http://hikingartist.com/>

「万有引力があるからだ」 (ニュートン, 1687)

$$F = G \frac{Mm}{r^2}$$

$$m \frac{d^2x}{dt^2} = F$$

「時空のゆがみだ」  
(アインシュタイン, 1915)  
**一般相対性理論**



$$R_{\mu\nu} - \frac{1}{2}Rg_{\mu\nu} = \frac{8\pi G}{c^4}T_{\mu\nu}$$

$$\frac{d^2\xi^\mu}{d\tau^2} = R^\mu{}_{\nu\rho\sigma} \frac{d\xi^\nu}{d\tau} \frac{d\xi^\rho}{d\tau} \xi^\sigma$$

IT'S A RIPPLE IN THE FABRIC OF SPACE AND TIME.

IMAGINE THAT SPACE IS A GIANT SHEET OF RUBBER...

THINGS THAT HAVE MASS  
CAUSE THAT RUBBER SHEET  
TO BEND, LIKE A BOWLING  
BALL ON A TRAMPOLINE.

THE MORE MASS, THE MORE  
THAT SPACE GETS BENT AND  
DISTORTED BY GRAVITY.

JORGE CHAM © 2016

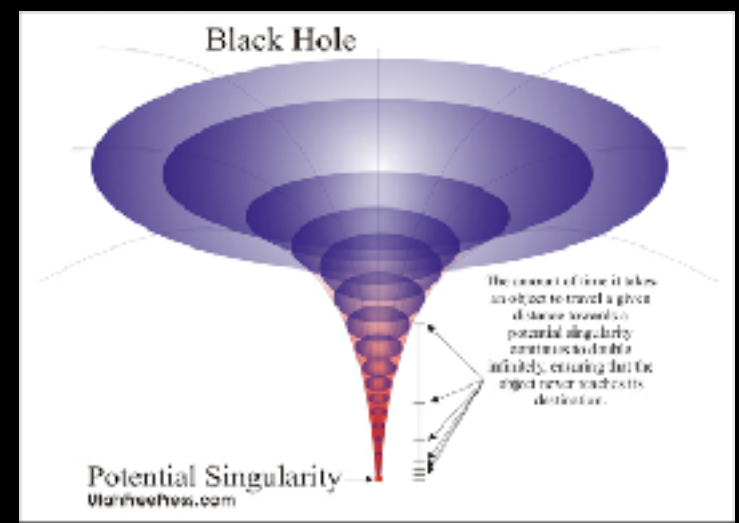


FOR EXAMPLE, THE REASON THE EARTH GOES AROUND THE SUN IS THAT THE SUN IS VERY MASSIVE, CAUSING A BIG DISTORTION OF THE SPACE AROUND IT.



IF YOU JUST TRY TO MOVE IN A STRAIGHT LINE  
AROUND SUCH A BIG DISTORTION, YOU WILL FIND  
YOURSELF ACTUALLY MOVING IN A CIRCLE.

THAT'S HOW ORBITS WORK: THERE'S NO  
ACTUAL FORCE PULLING THE PLANETS  
AROUND. JUST A BENDING OF THE SPACE.



# ブラックホール

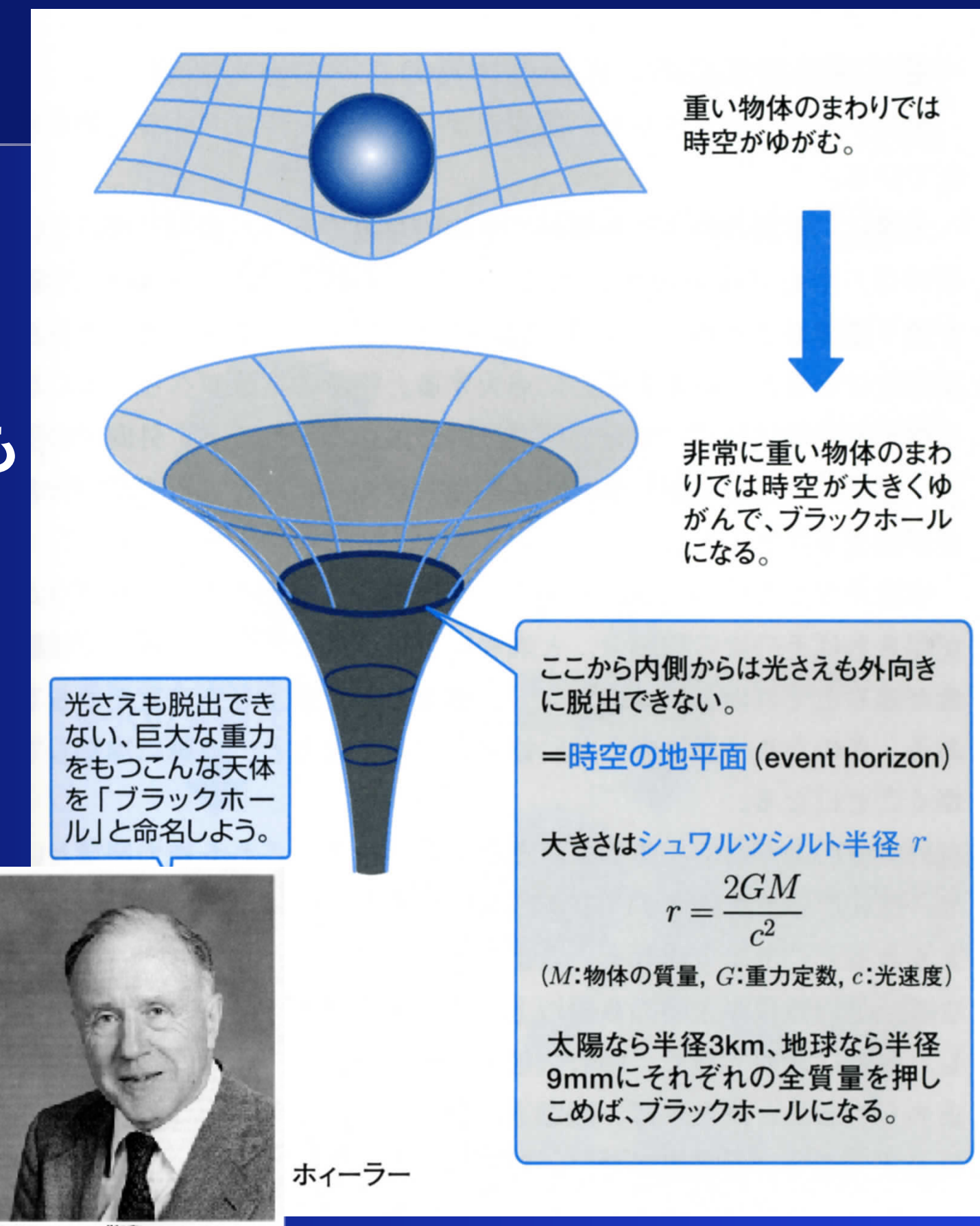
ブラックホール

=重力が強すぎて、光さえも出られない天体

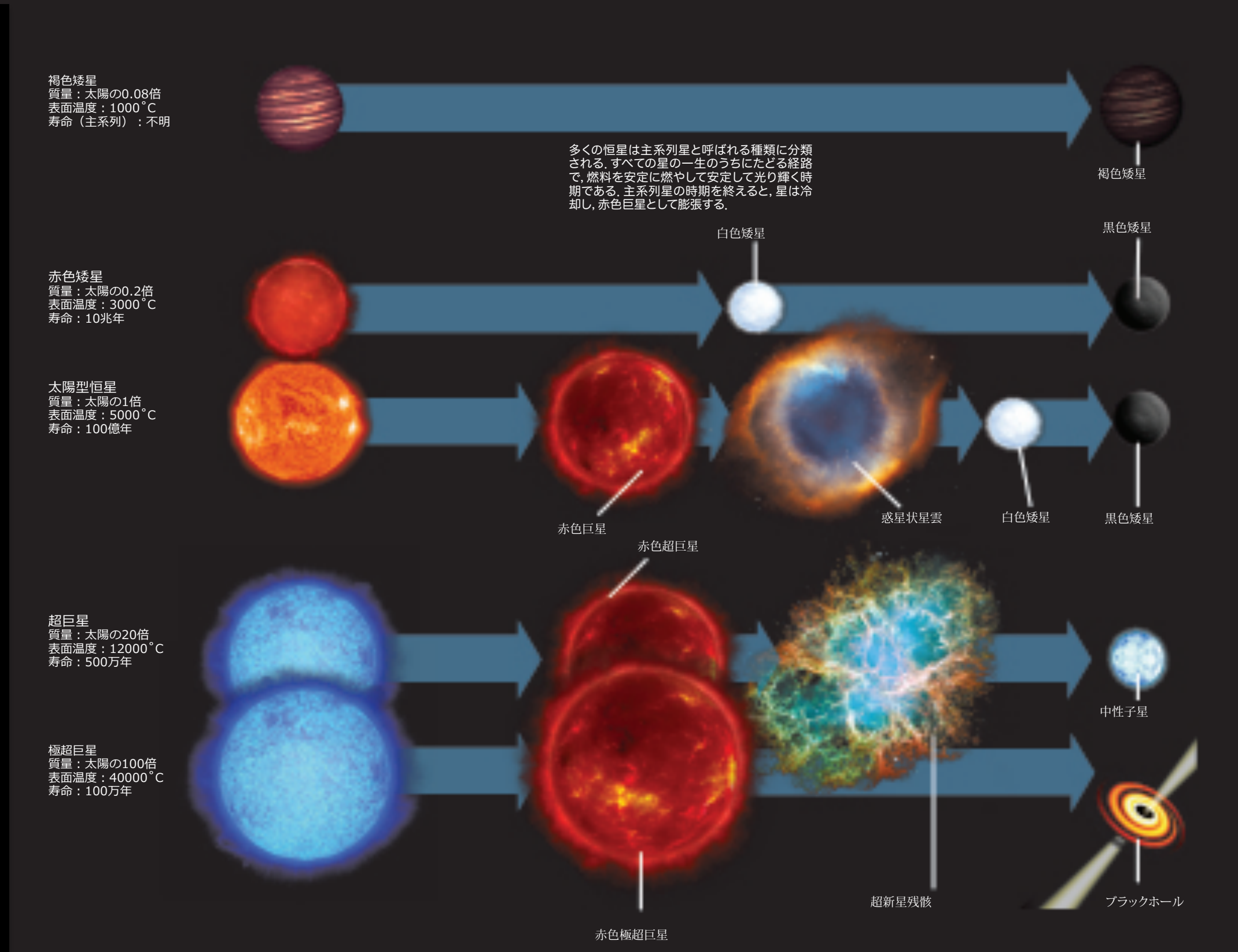
=因果的に隔離される領域

境界=地平面

(ホライズン)



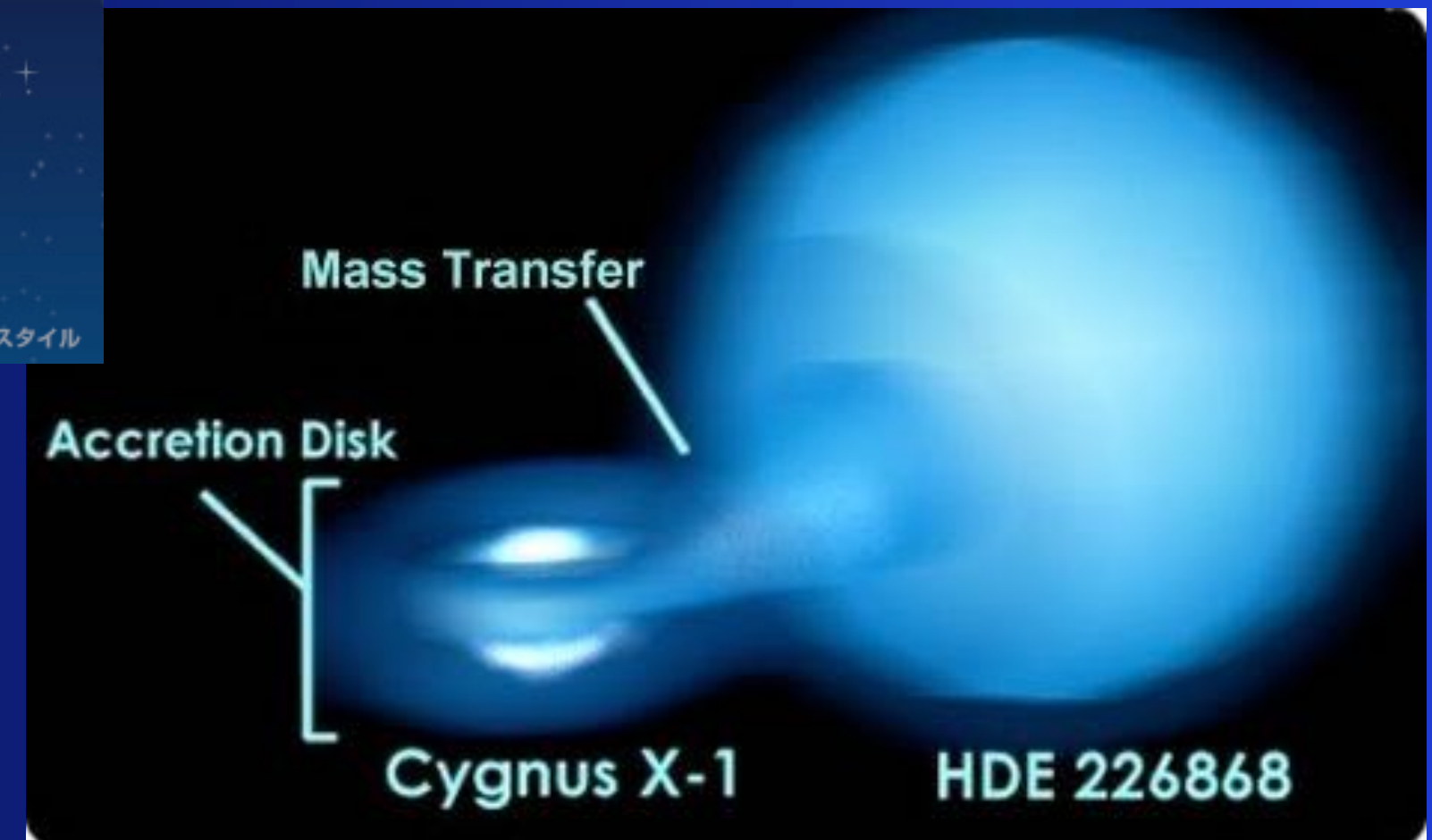
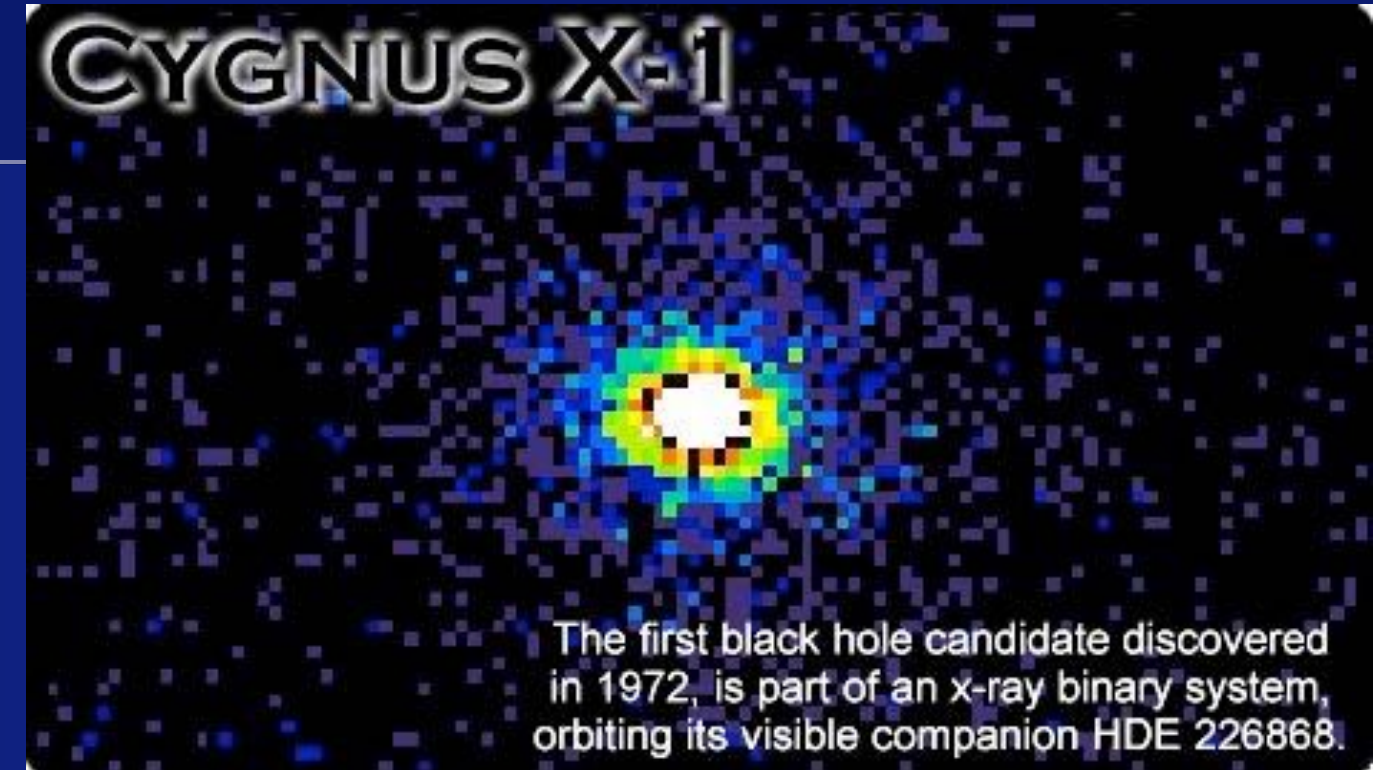
# 重い星が燃え尽きると 中性子星やブラックホールに



# はくちょう座 X-1 はブラックホール



6000光年先



はくちょう座



こと座



へびつかい座



わし座



いて座



さそり座

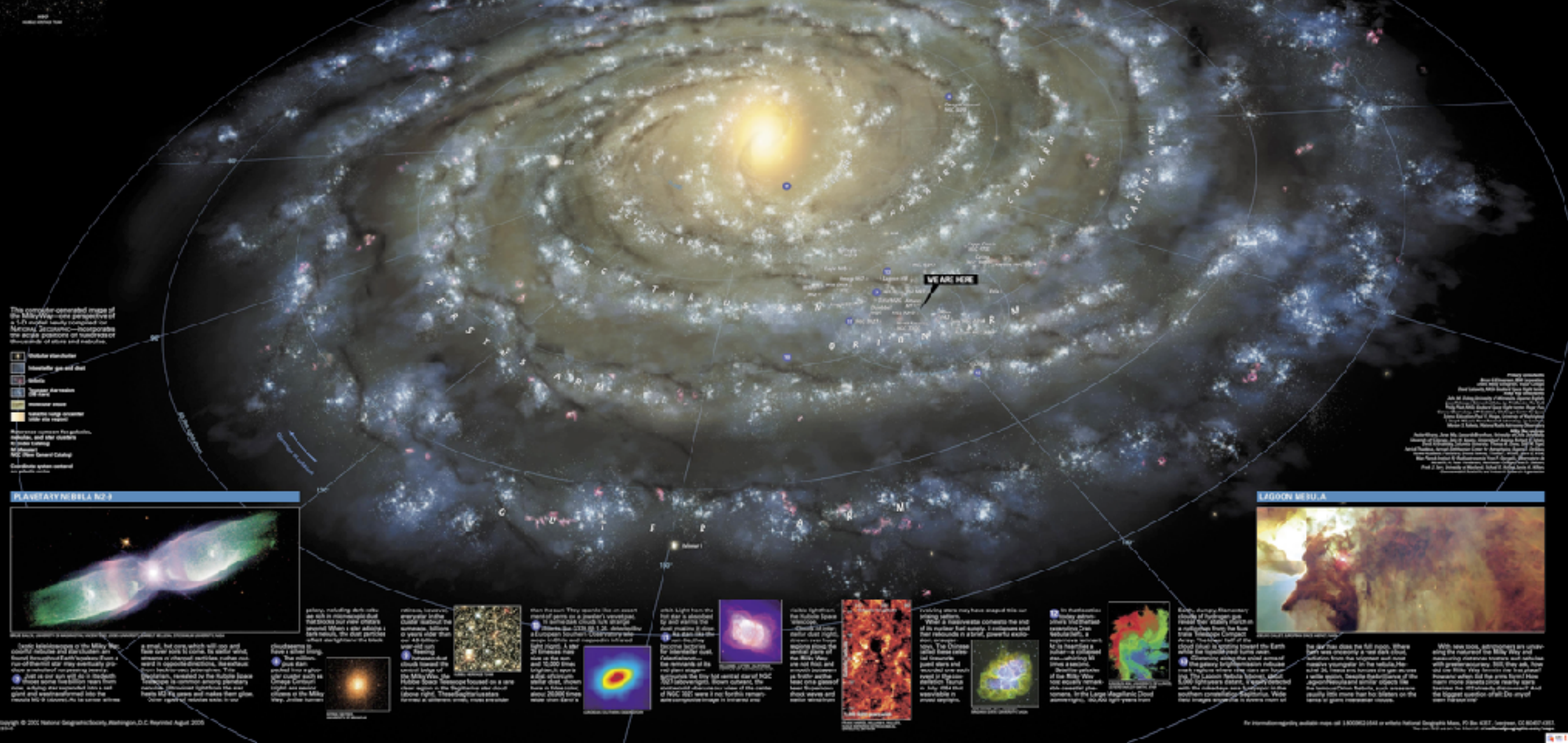


# 天の川銀河 (our Galaxy)

## THE MILKY WAY



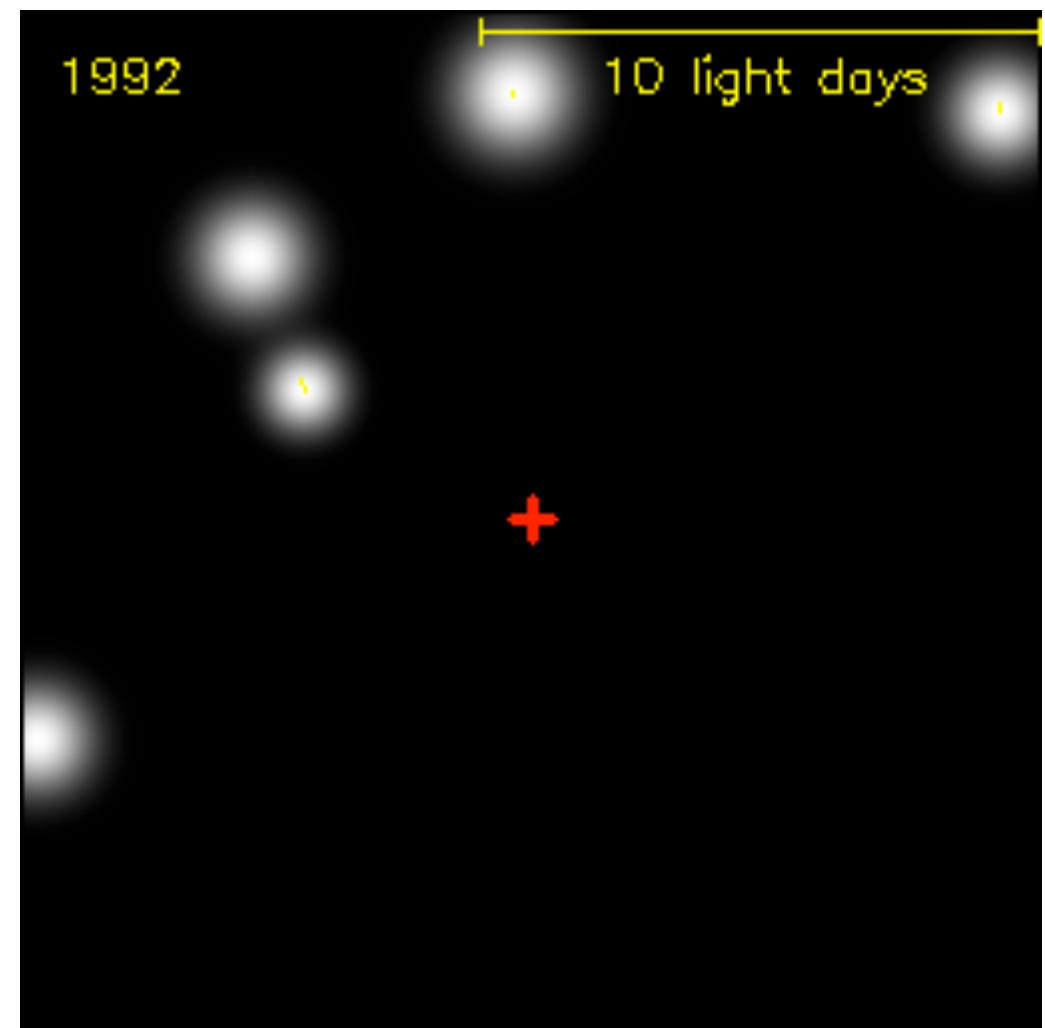
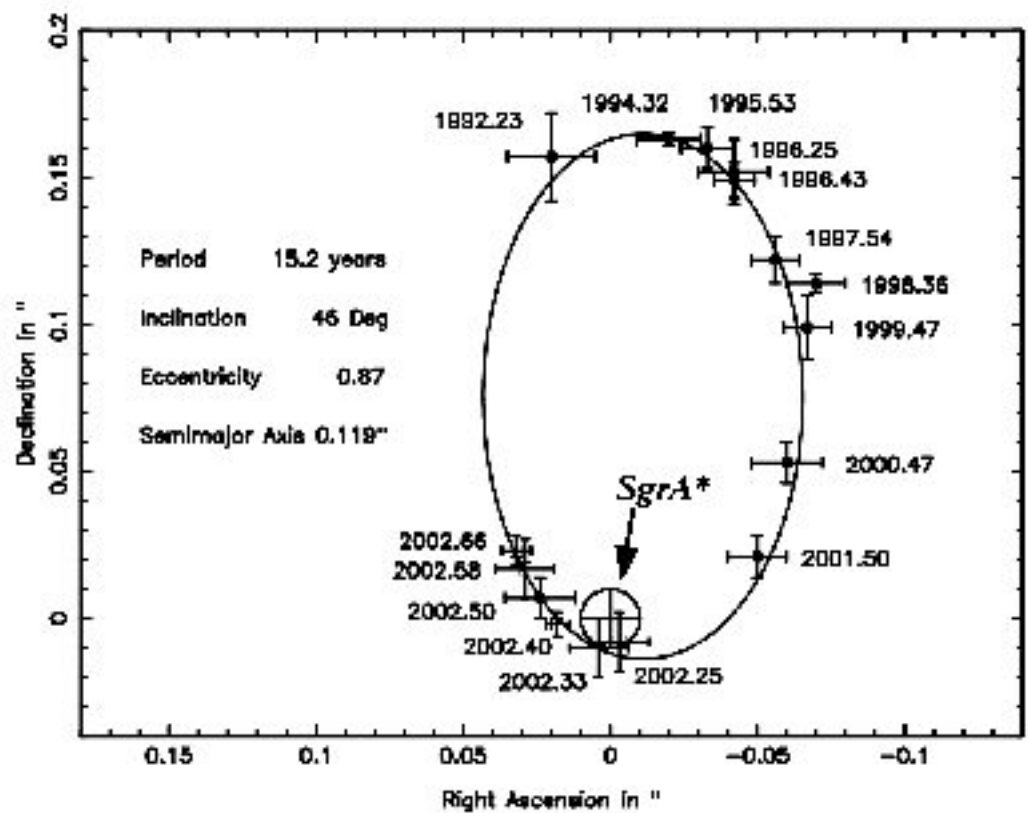
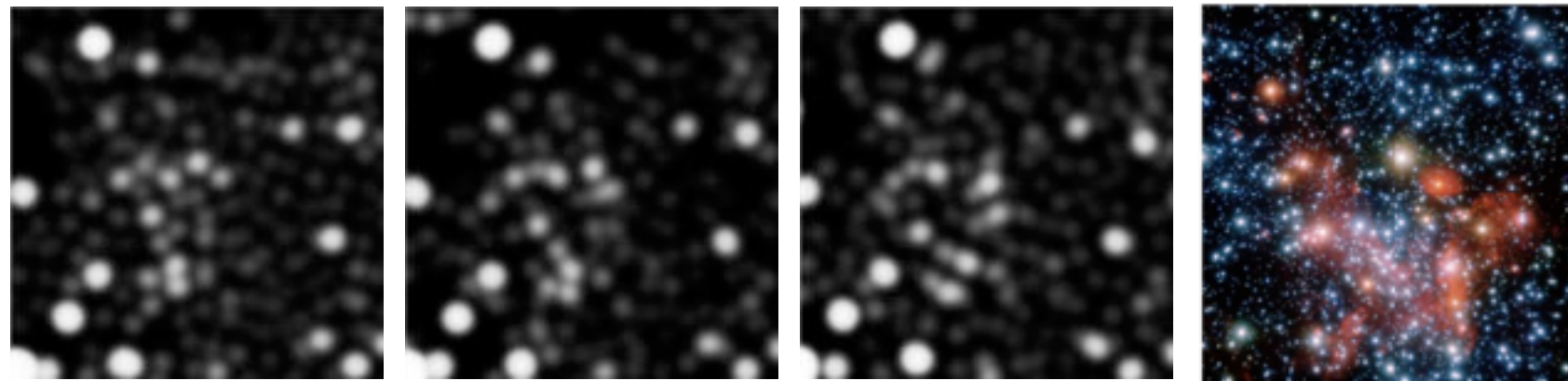
**H**ome galaxy of Earth, the Milky Way is a spiral-shaped system of a few hundred billion stars. Bright regions of recently formed stars highlight its arms, while older, more spherical nuclei contain layers of beautiful planetary nebulae, then fade away into disk. A thick, dense band of orange and red stars marks the galactic bulge, containing the over-packed galactic center, an area that's a black hole region so dense that no even light can escape its gravitational pull. All objects in the Milky Way orbit the galactic center, which our planet and its solar system revolve around the sun and the scale is staggering: Light from a star at one edge of the galaxy takes about 100,000 years to reach the opposite side.



<http://shop.nationalgeographic.com/ngs/product/maps/wall-maps/space-maps/the-milky-way-map%2C-laminated>

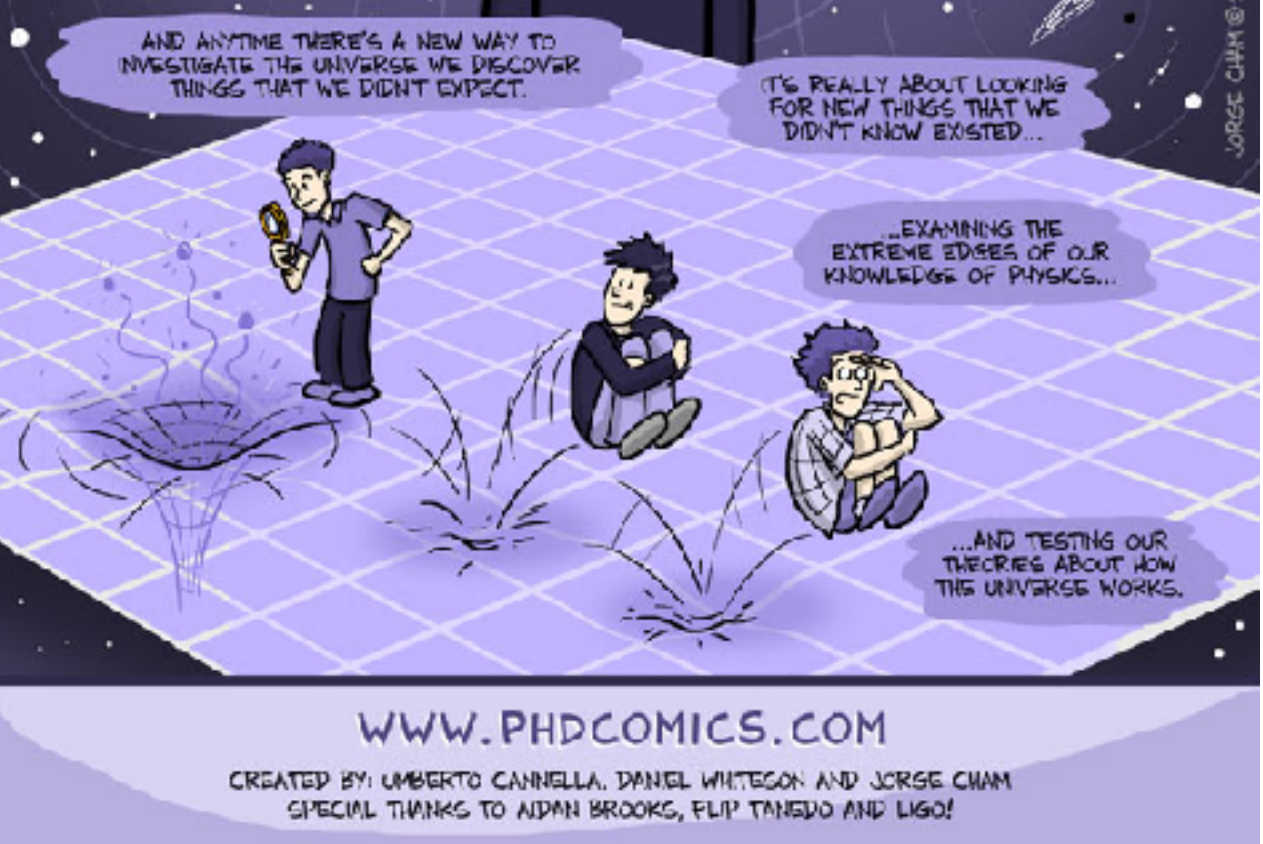
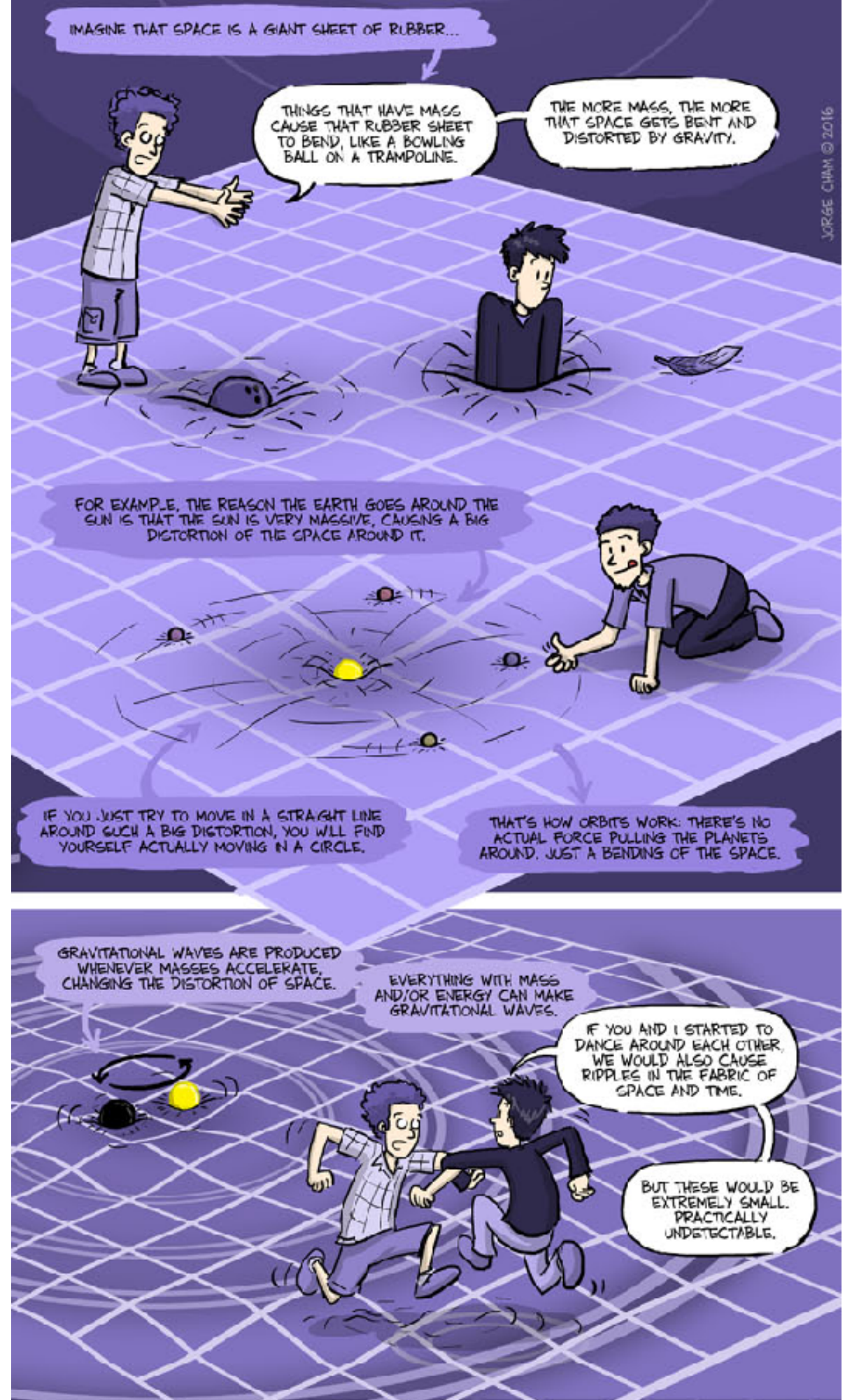
<http://ernstgraphics.wordpress.com/page/2/>

# S2 orbit around Sgr A\*

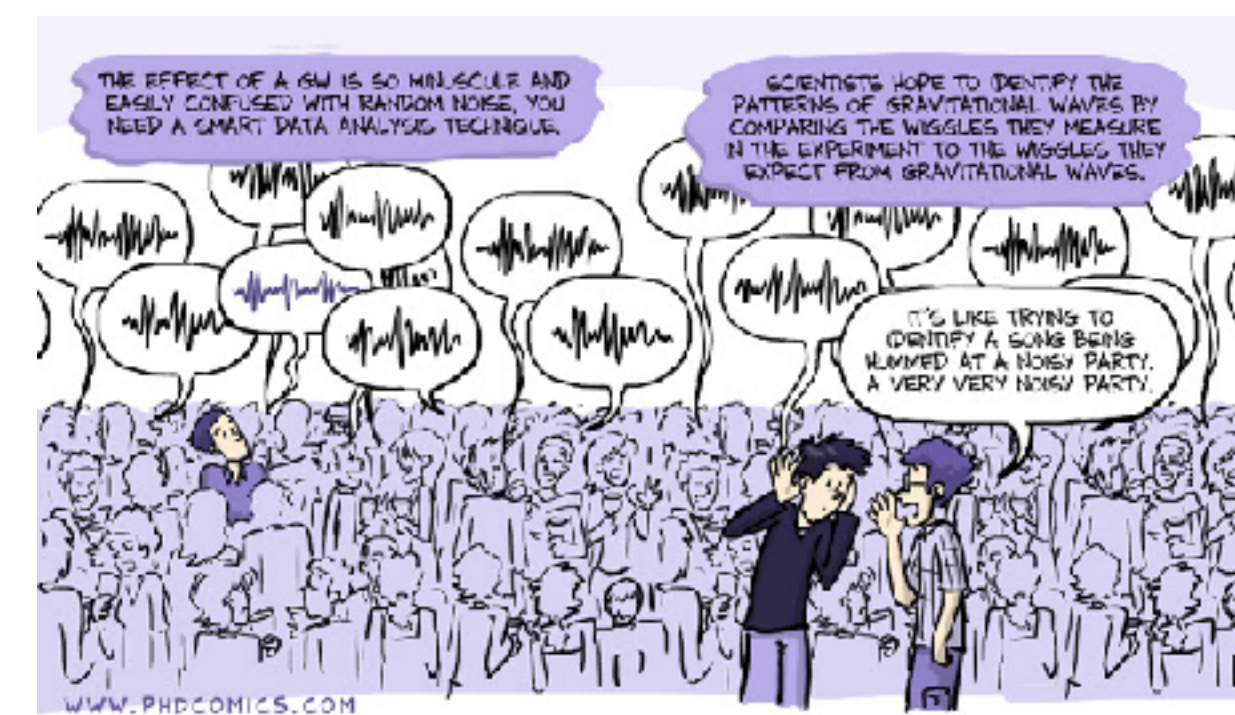


我々の銀河中心には、  
太陽の420万倍の質量の  
ブラックホール！

<http://www.extinctionshift.com/SignificantFindings08.htm>  
<http://www.brighthub.com/science/space/articles/13435.aspx#>



www.phdcomics.com  
“gravitational waves explained”

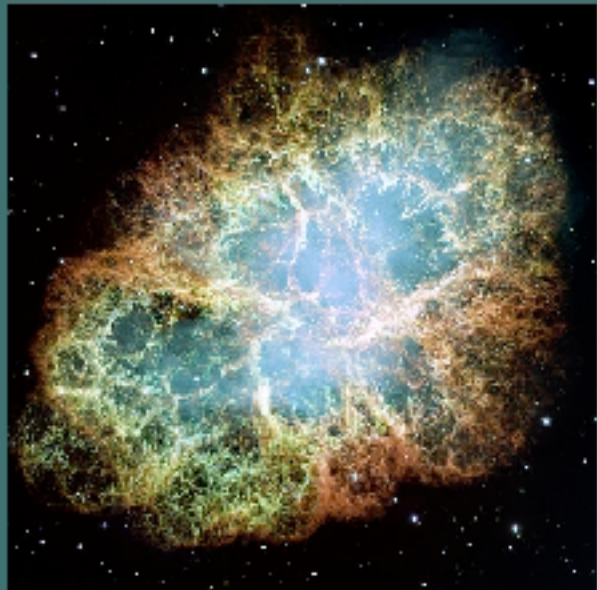


# 重力波の波源

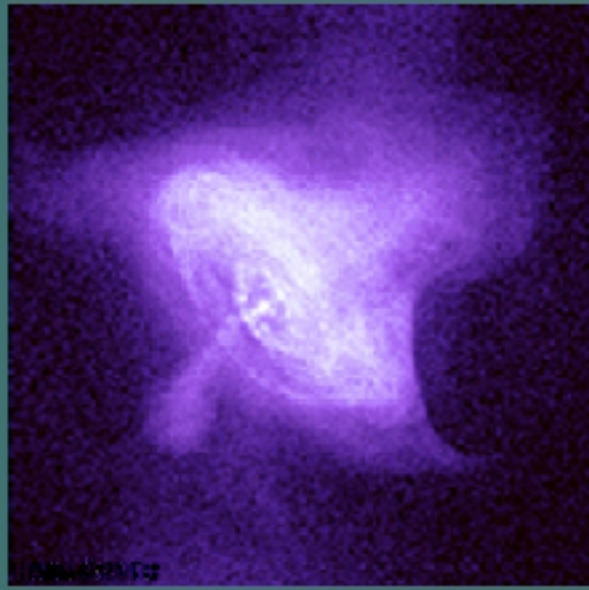
sources of gravitational wave

<http://gwcenter.icrr.u-tokyo.ac.jp/>

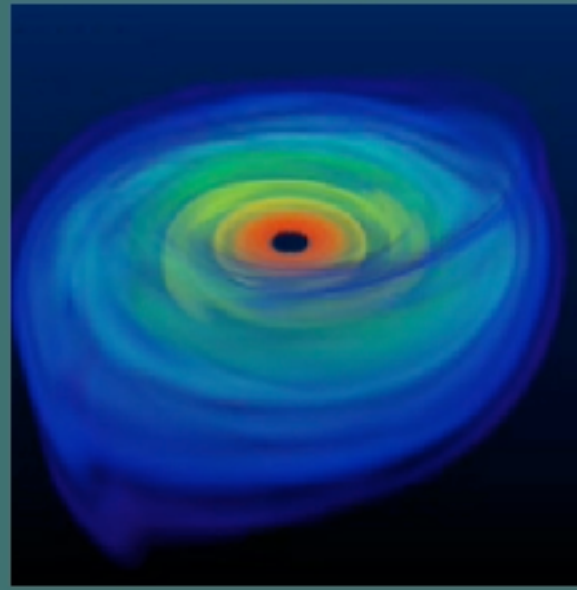
超新星爆発 (写真出典: NASA)



パルサー (写真出典: NASA)



ブラックホール  
(想像図)



連星中性子星合体  
(想像図)



予測が難しい

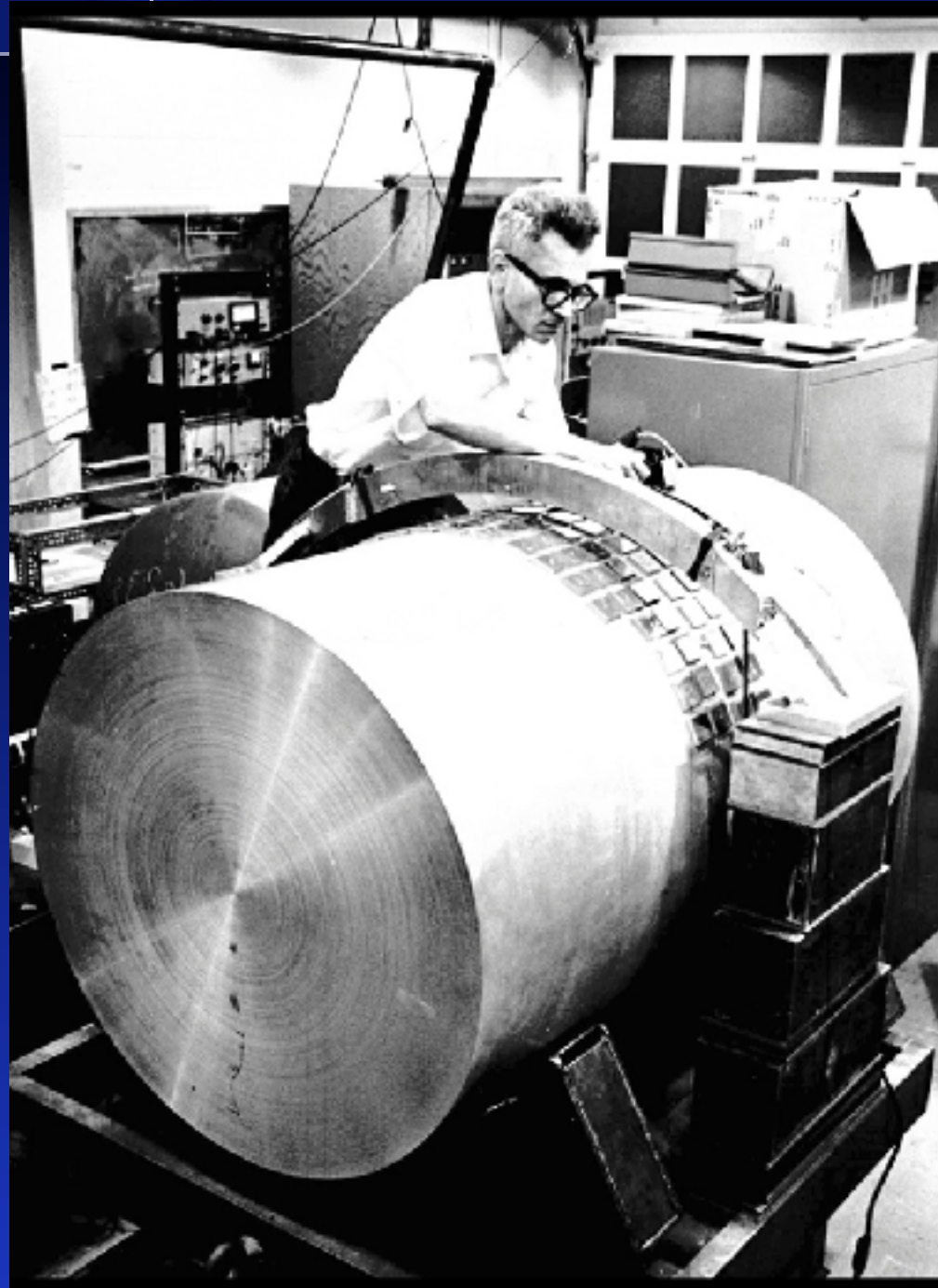
振幅が小さい

振幅が小さい

連星合体を  
ターゲットに

重力波は弱いのであらかじめ、波形の予測が必要  
ノイズにまみれたデータに、予測した波形があるか探す

# 重力波 幻の発見 (1968/70)



Joseph Weber (**pictured**), a physicist at the University of Maryland in College Park, believed that gravitational waves were real. In 1969, he announced that he had found them with a detector of his own invention: an aluminium cylinder, about 2 metres long and 1 metre in diameter, that 'rang' when it was struck by such a wave<sup>2</sup>. His result was never replicated, and was eventually rejected by nearly everyone except Weber himself. Nonetheless, his work drew many other researchers into the gravitational wave field.

68年に「2台の装置で同時に重力波信号を検出」

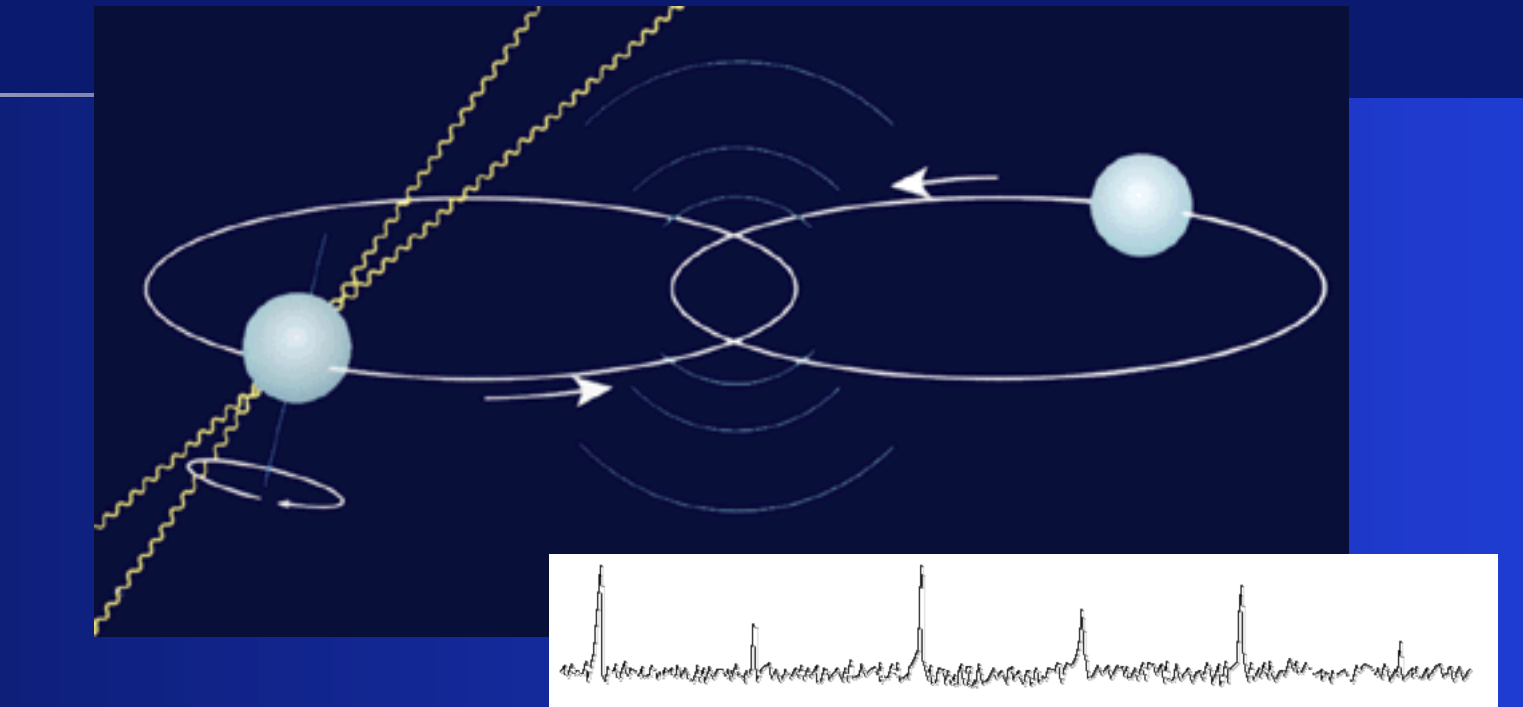
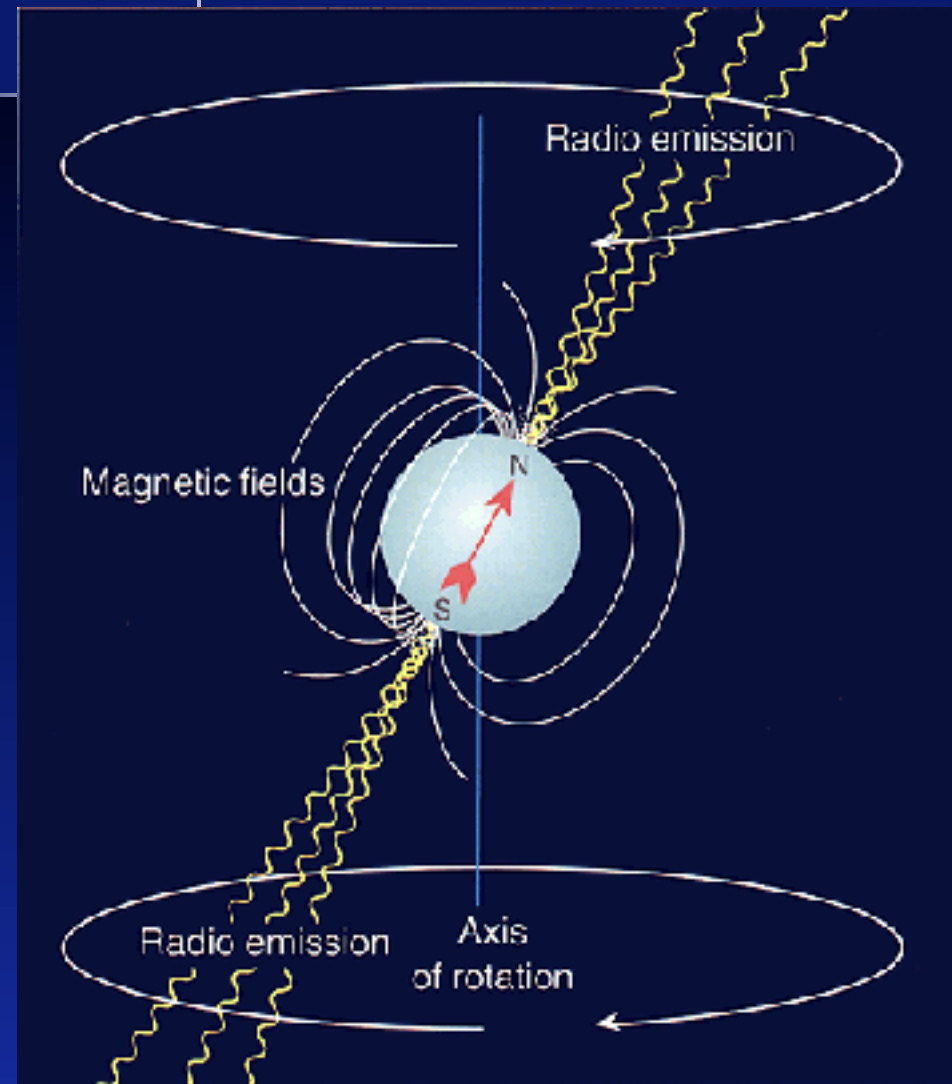
70年に「重力波信号はおよそ一日に三回の頻度で検出され、検出装置が銀河の中心に対して垂直方向に向いているときに検出率が高い」

と発表したが、他のグループで追試されず。

ウェーバー

Joseph Weber

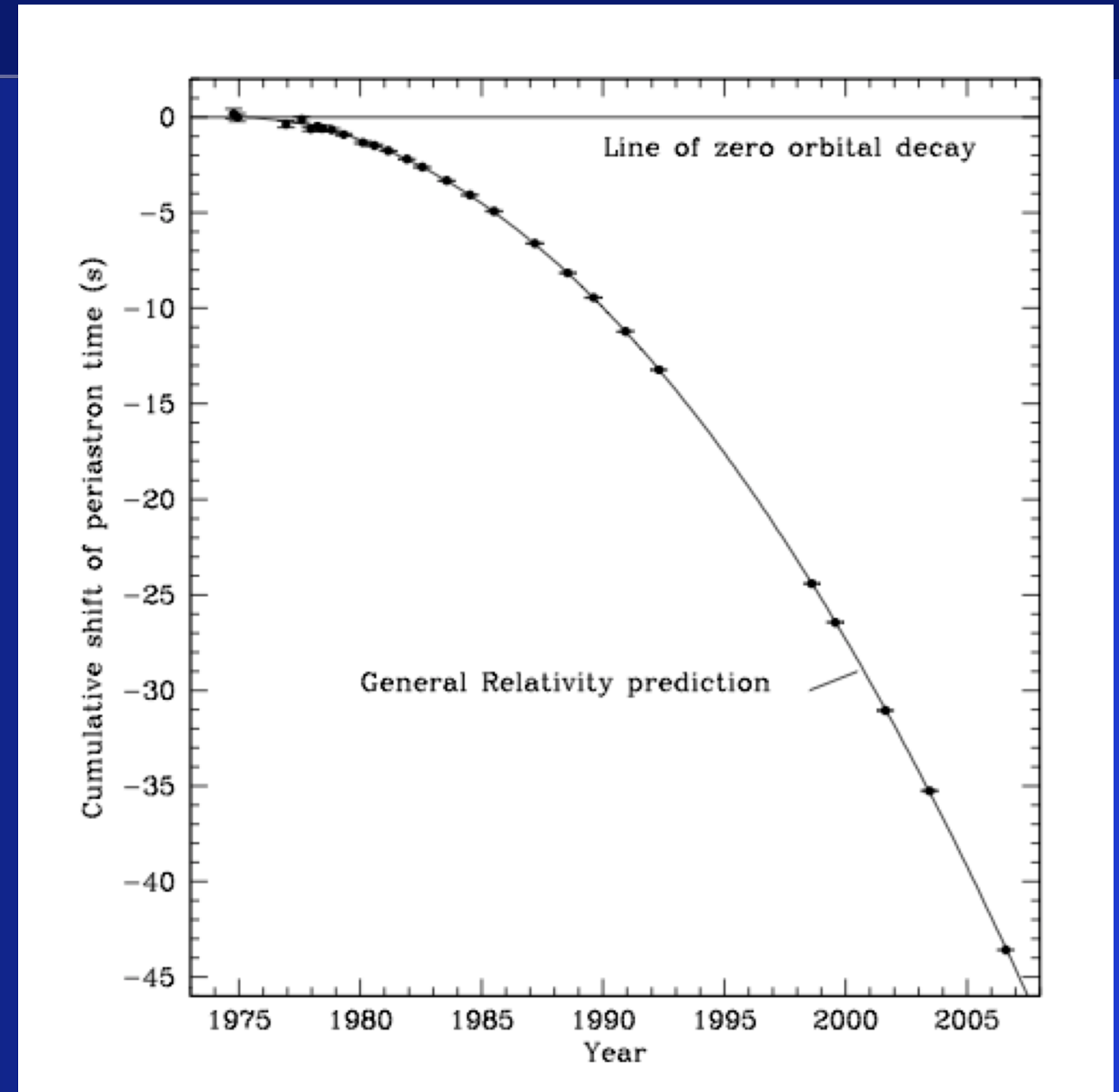
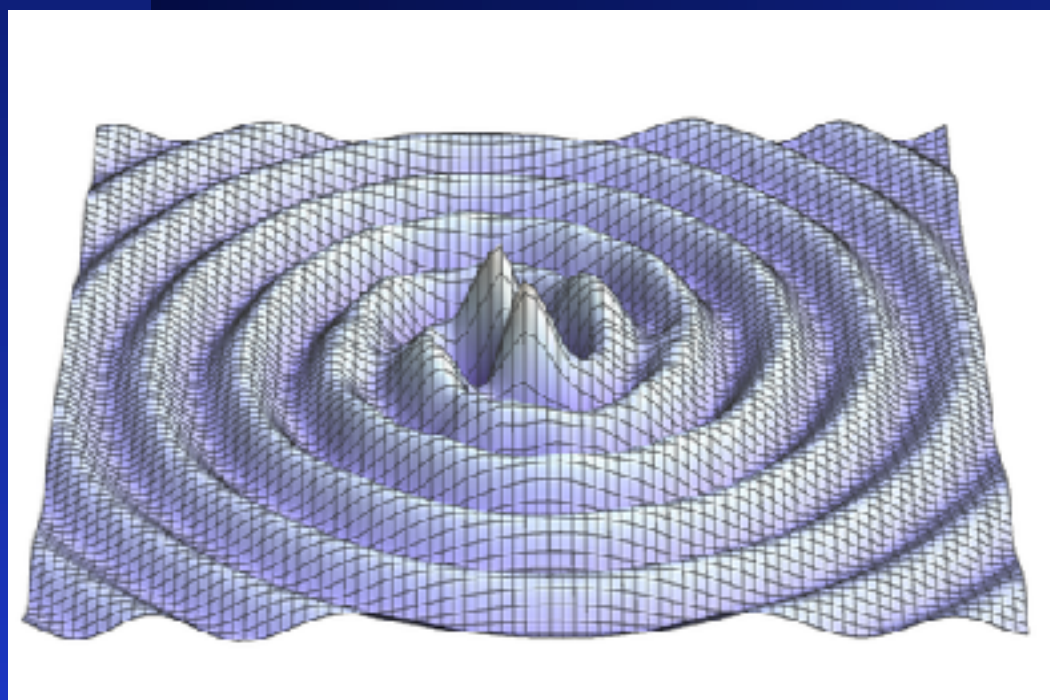
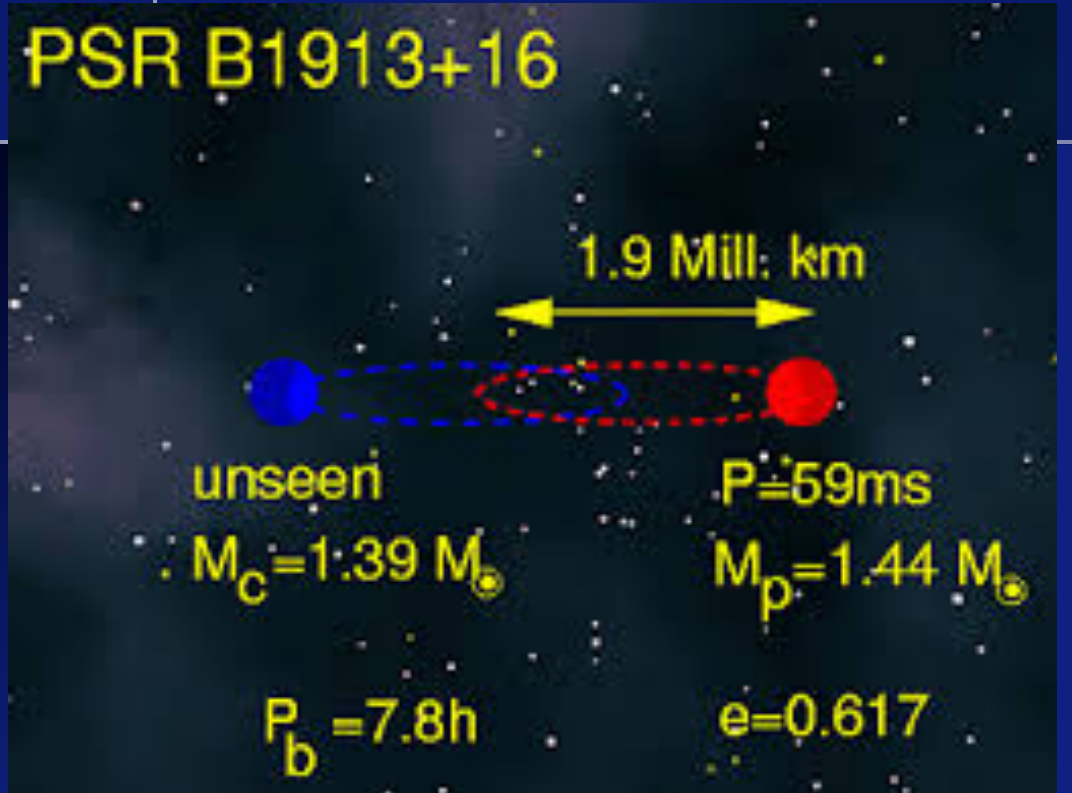
# 連星中性子星の発見 (1974)



Arecibo, Puerto Rico

パルサー＝中性子星  
半径 10km位  
質量 1.4x太陽

# 連星中性子星の発見 (1974)



重力波を放出してエネルギーを失うので、星が近づいてゆく。

重力波の存在が間接的に確かめられた。

# 連星中性子星の発見 (1974)

The Nobel Prize in Physics 1993  
Russell A. Hulse, Joseph H. Taylor Jr.

Share this: 25

## The Nobel Prize in Physics 1993

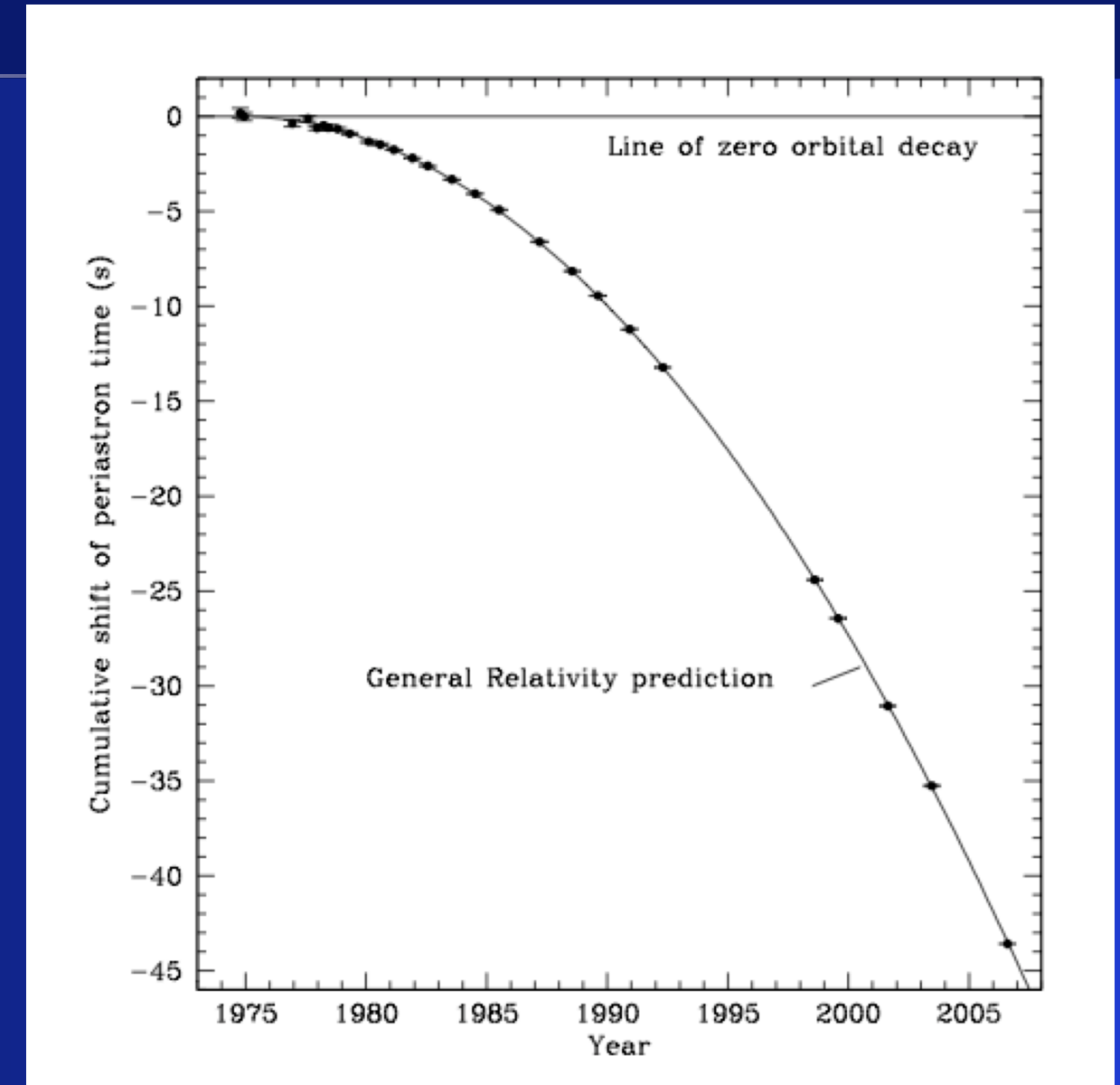


Russell A. Hulse  
Prize share: 1/2

Joseph H. Taylor Jr.  
Prize share: 1/2

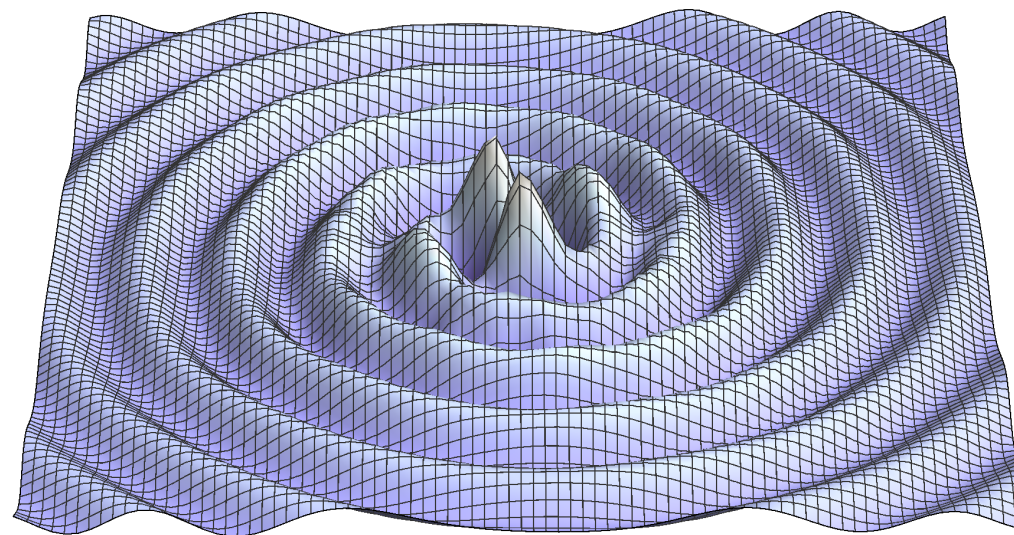
"for the discovery of a new type of pulsar, a discovery that has opened up new possibilities for the study of gravitation"

"重力についての新しい研究を開いた、新種のパルサーの発見に対して"



重力波の存在が間接的に確かめられた。

重力波の存在が間接的に確かめられた。

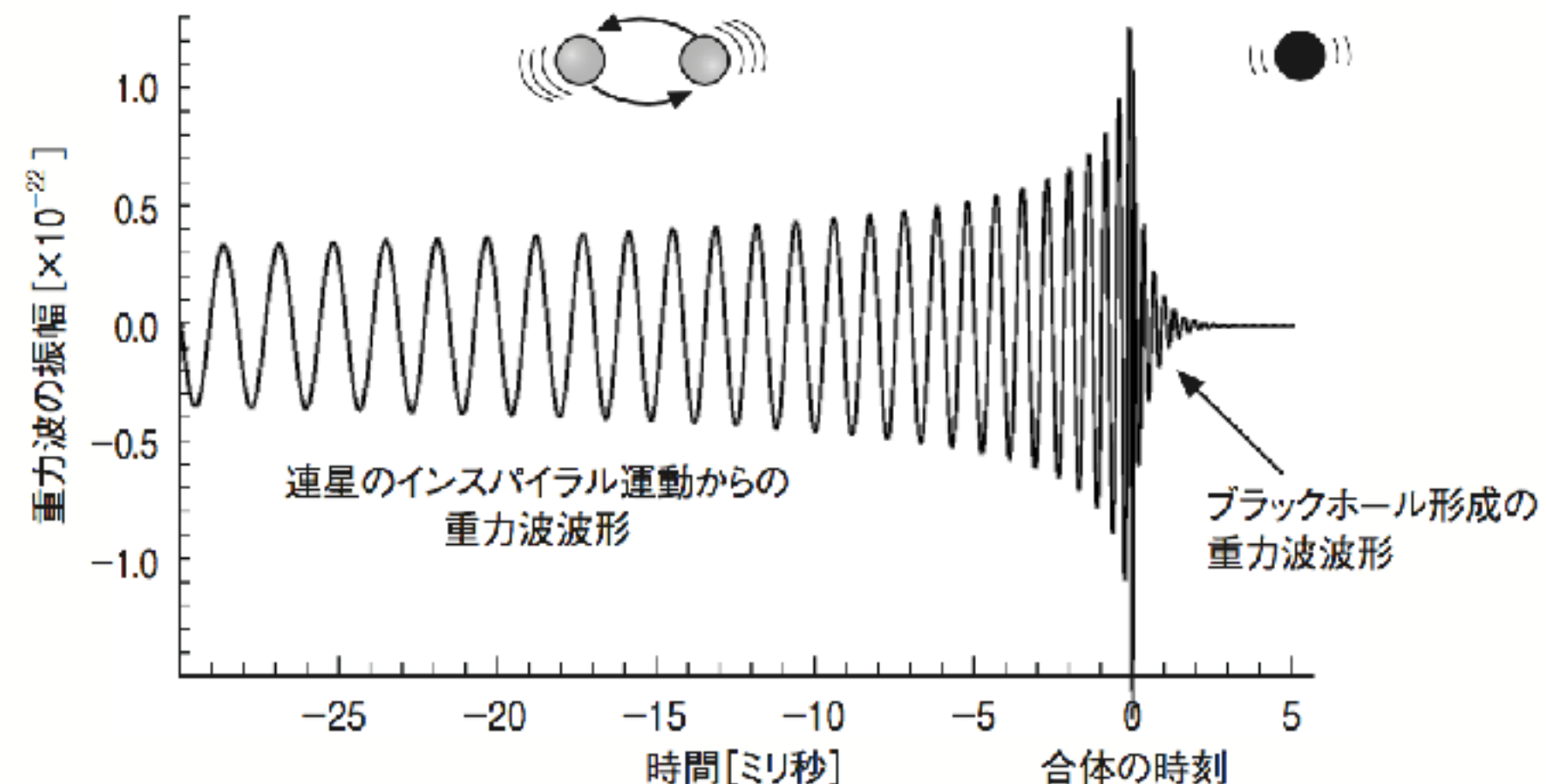


重力波の直接観測をしたい！

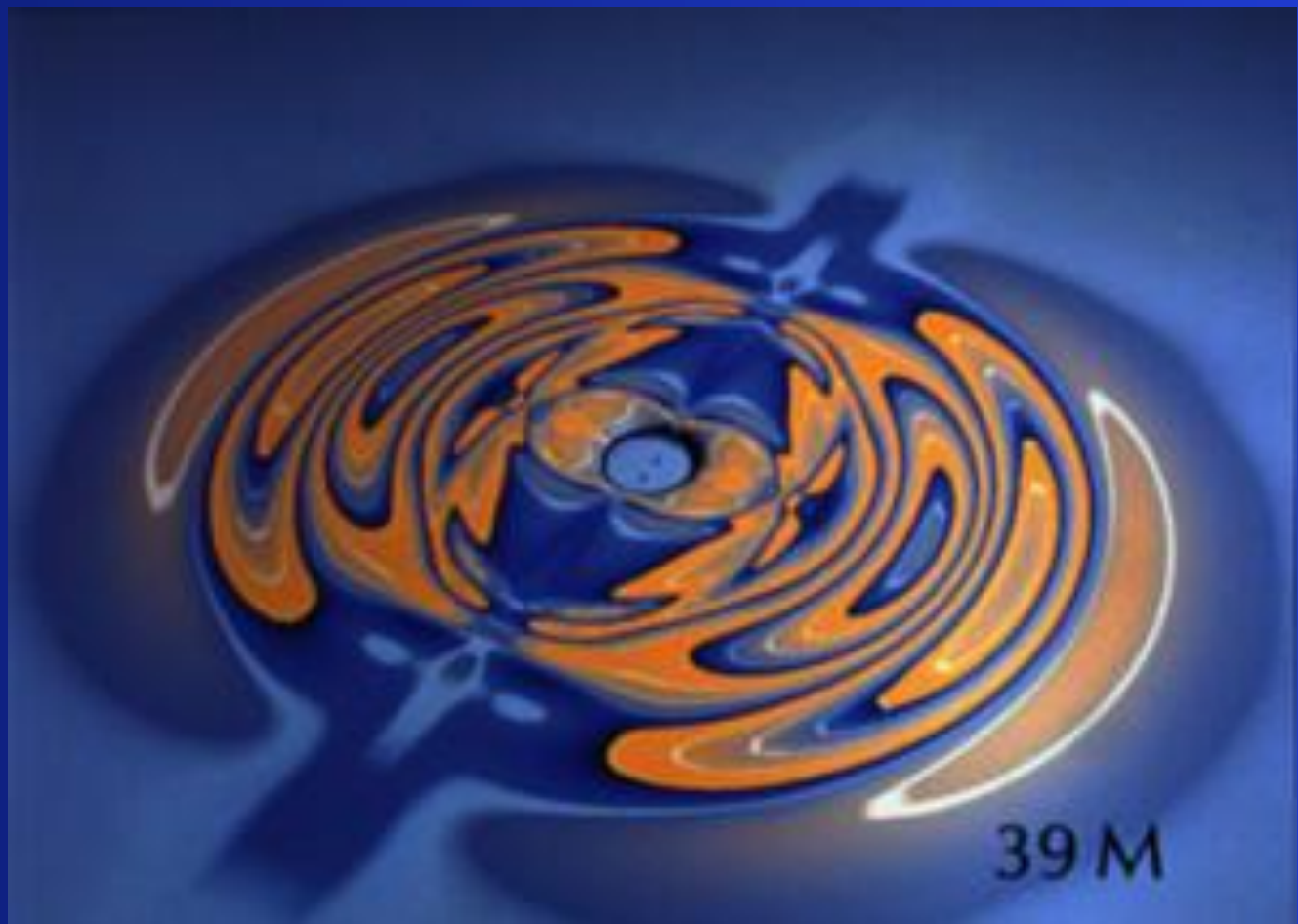
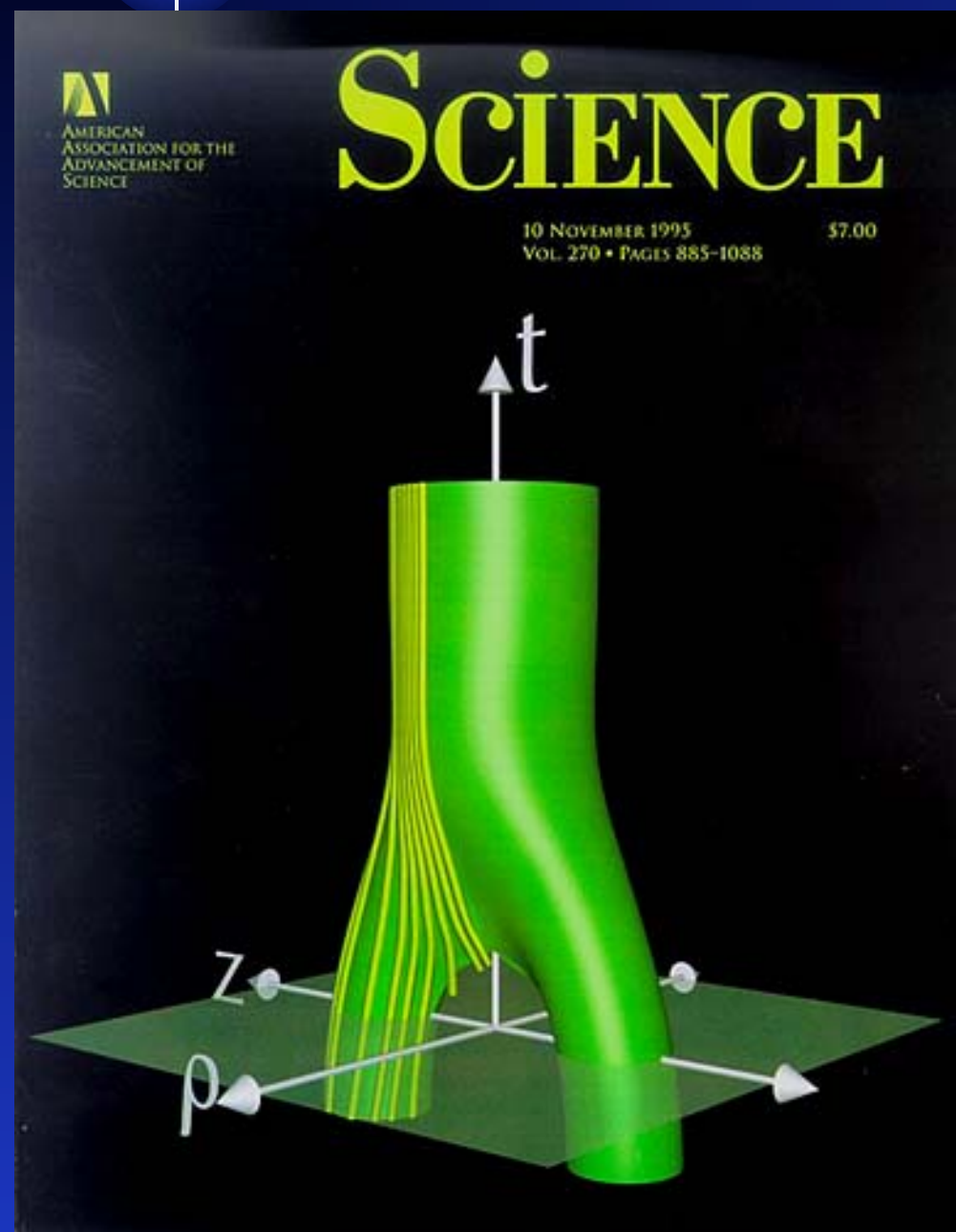
連星中性子星  
連星ブラックホール

Inspiral

Merger Ringdown

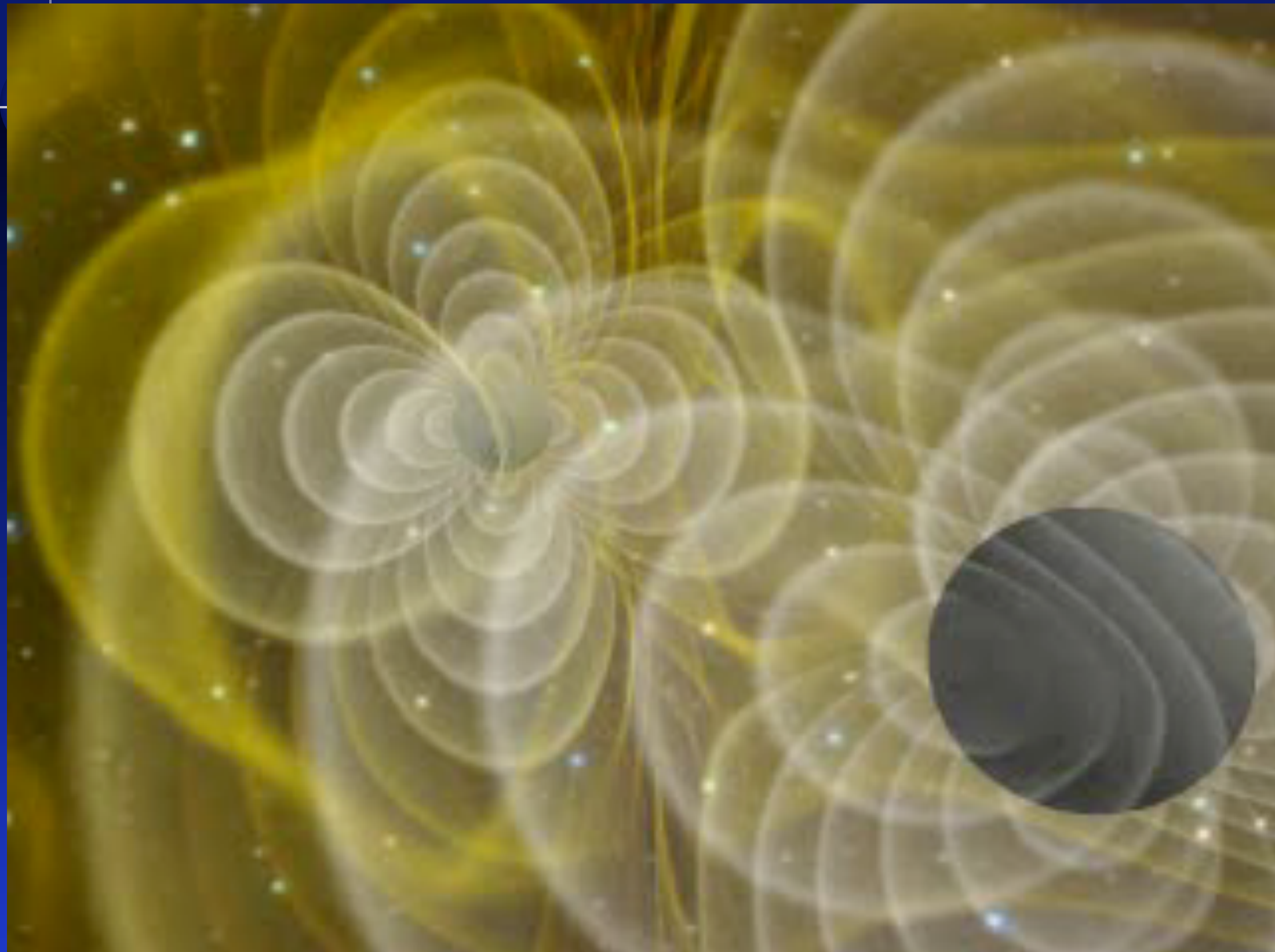


# ブラックホールの合体シミュレーション



2つのブラックホールの合体と重力波放出  
(90年代, NCSAグループ)

# ブラックホールの合体シミュレーション



NCSA-AEI group (1998)

# 本日の内容

## 1. 重力波とは

Einsteinが残した100年越しの宿題

重力波の発見まで

## 2. 直接観測された重力波

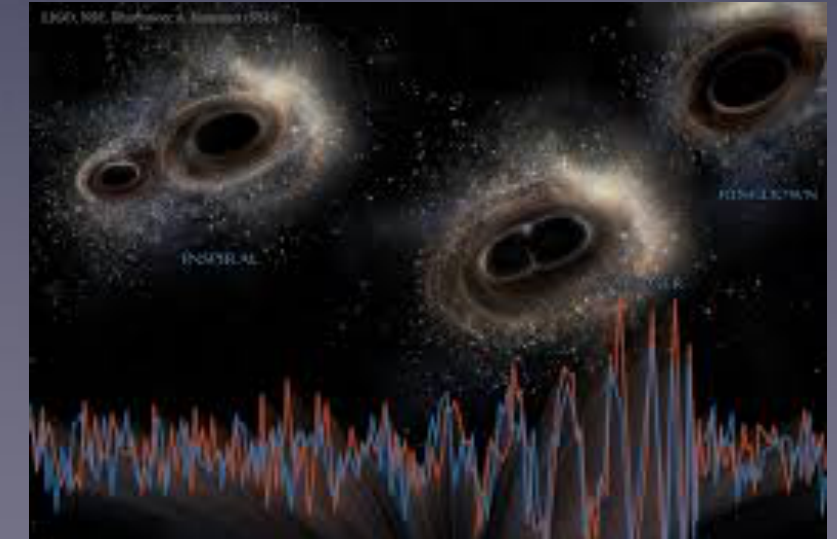
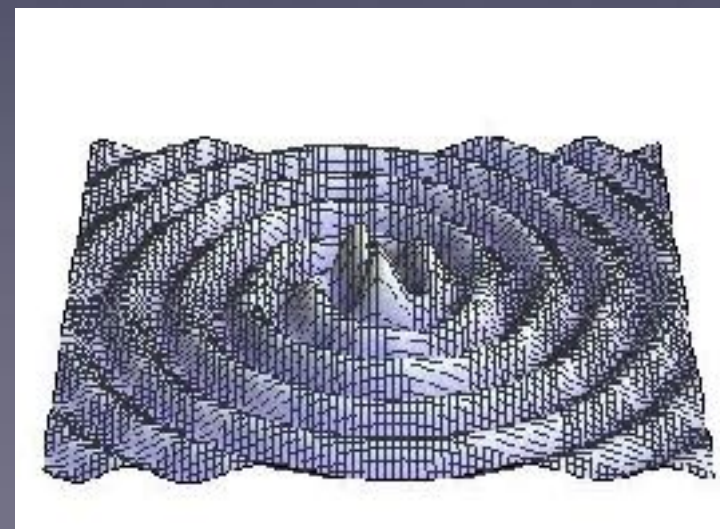
レーザー干渉計のしくみ

LIGOグループが発見した5つの重力波イベント

## 3. 重力波観測の将来

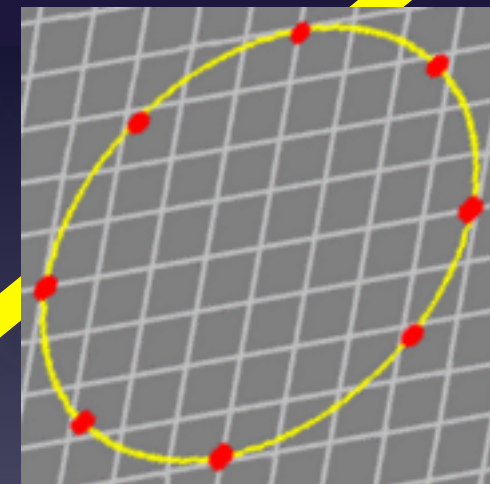
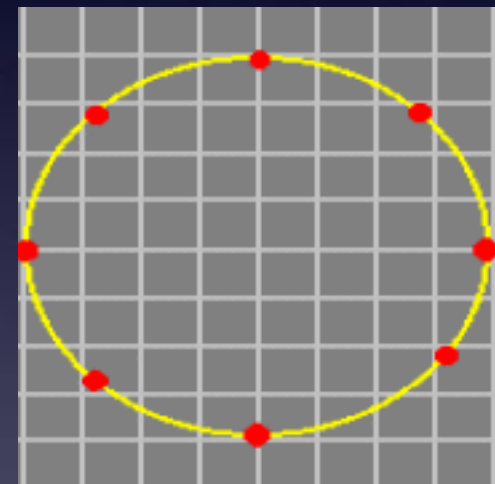
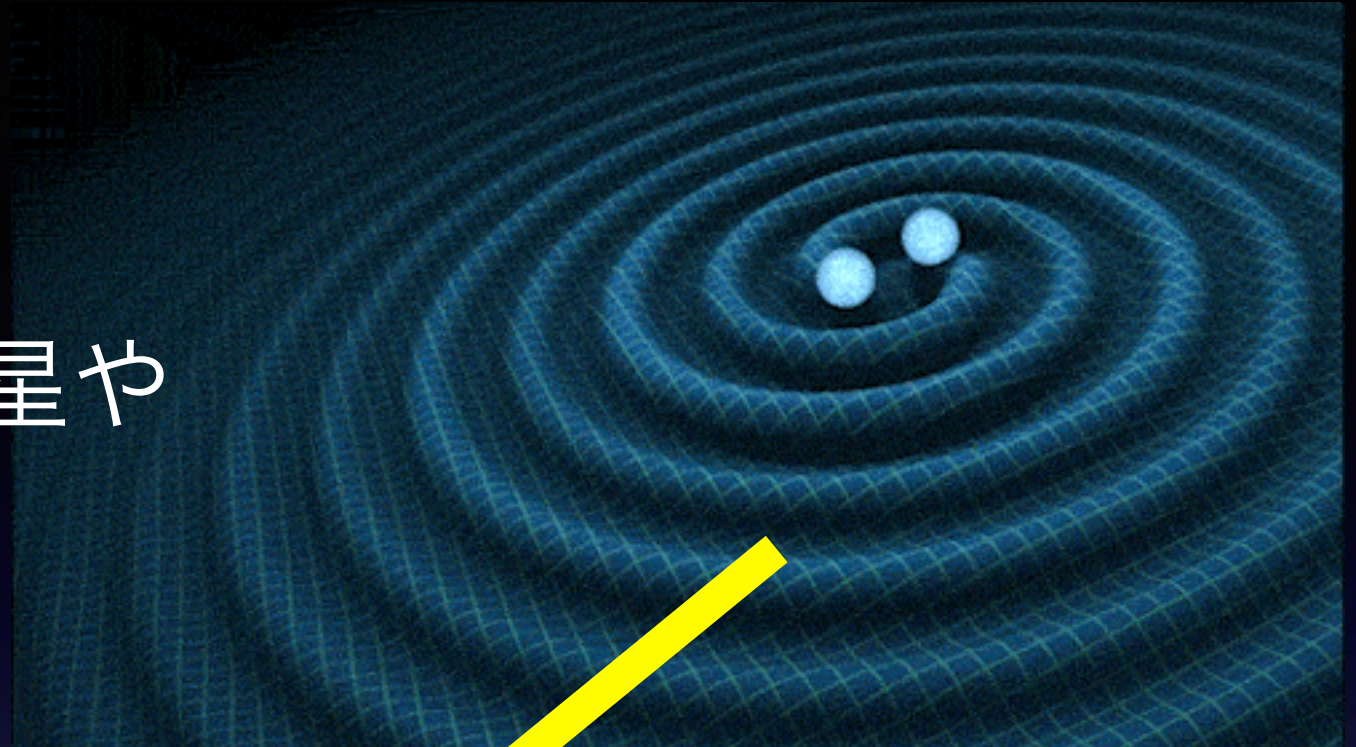
宇宙空間での重力波観測

重力波観測から何がわかるか



# 重力波の発生と伝播

ブラックホール連星や  
中性子星連星



レーザー干渉計

LIGO=Laser Interferometer

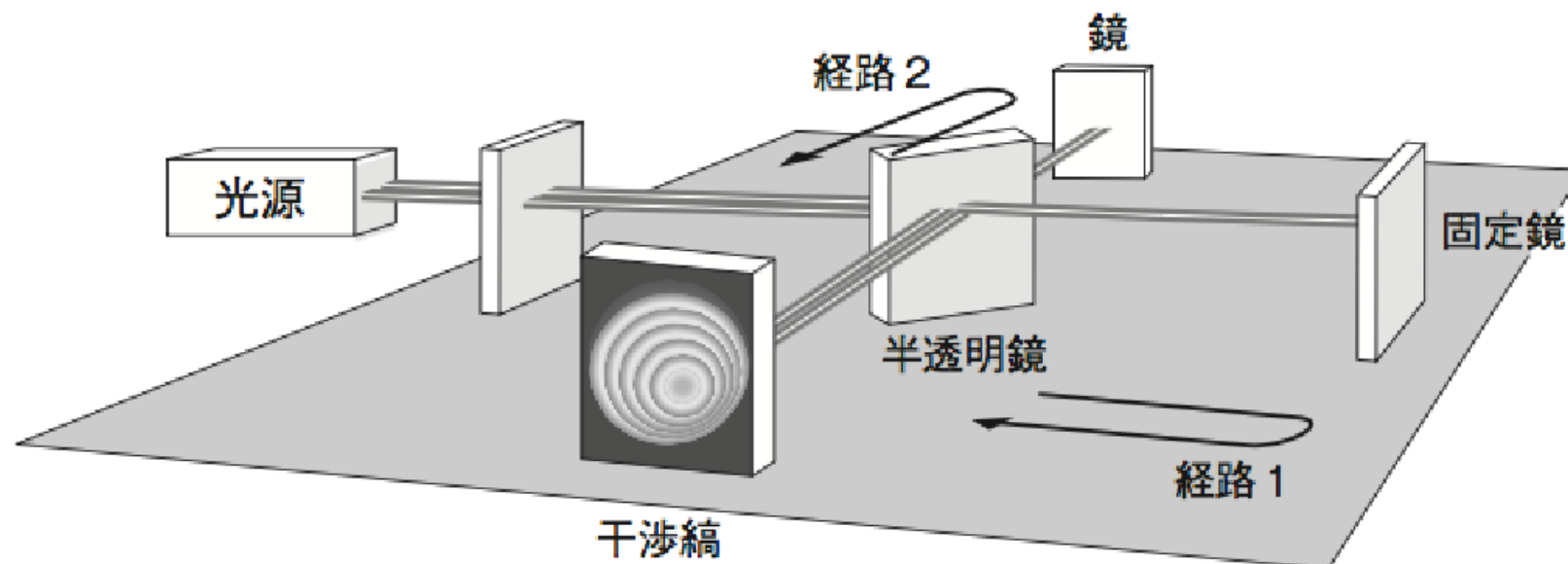
Gravitational-Wave Observatory

# LIGO (ライゴ：レーザー干渉計重力波天文台)

Laser Interferometer Gravitational-Wave Observatory (1992年予算承認)

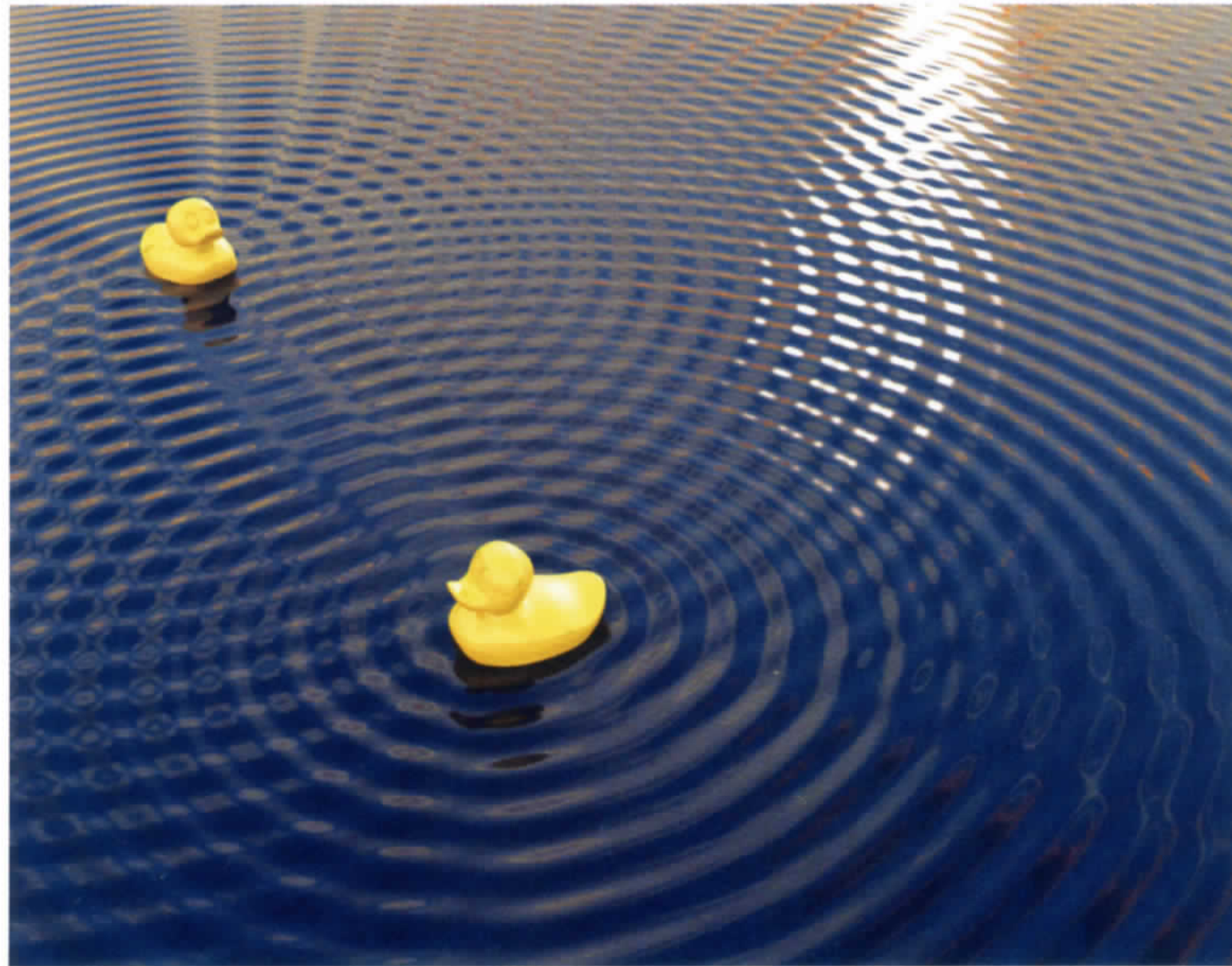


<https://mediaassets.caltech.edu/gwave>



# 干渉計のしくみを理解しよう

## 波の干渉



**Puddle Interference** The concept of interference shows up in everyday life in bodies of water, from puddles to oceans.

# 重ね合わせ (superposition)

- 同じ位相の波を重ね合わせるとき 波は強め合う。

山+山=強め合う

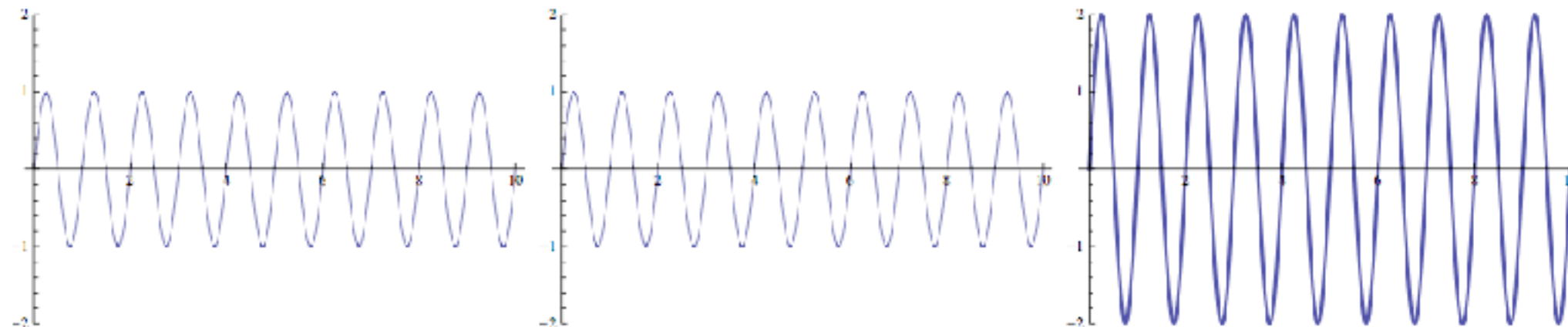


図 31: 左 2 つの波を足すと右の波になる。 $y_1(t) = \sin(2\pi t)$ ,  $y_2(t) = y_1(t)$  としたときの,  $y(t) = y_1(t) + y_2(t)$  の図。

- 逆位相の波を重ね合わせるとき 波は弱め合う。

山+谷=弱め合う

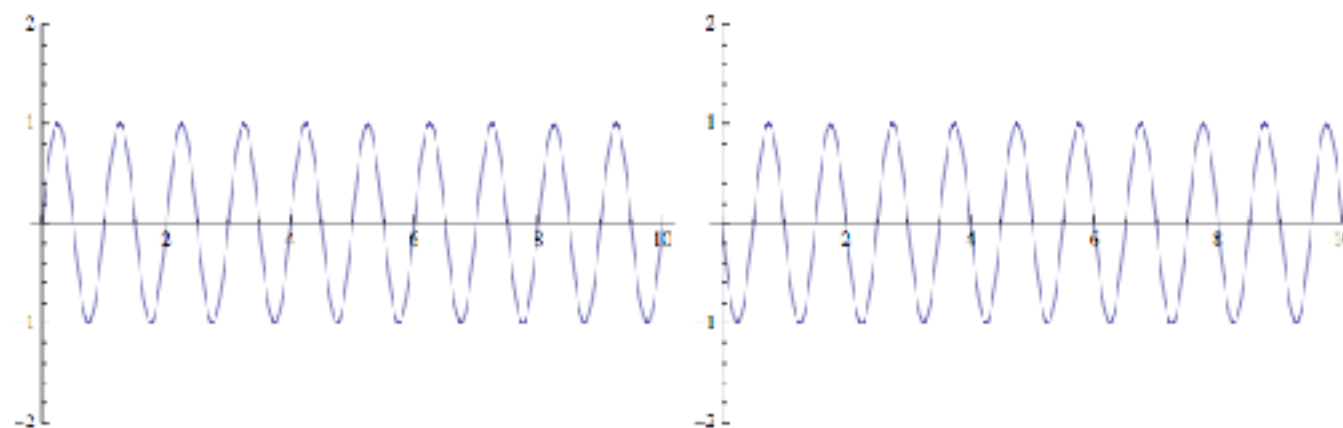
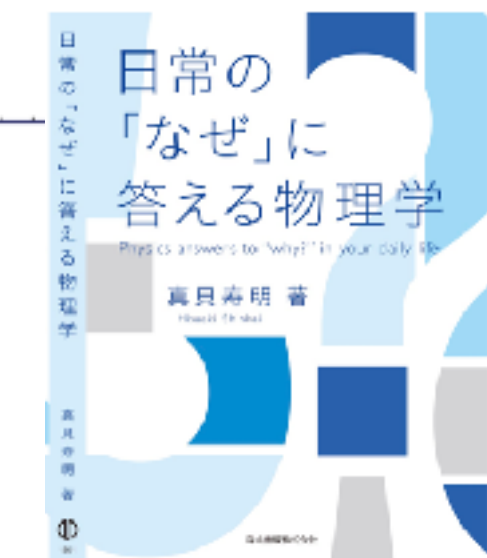
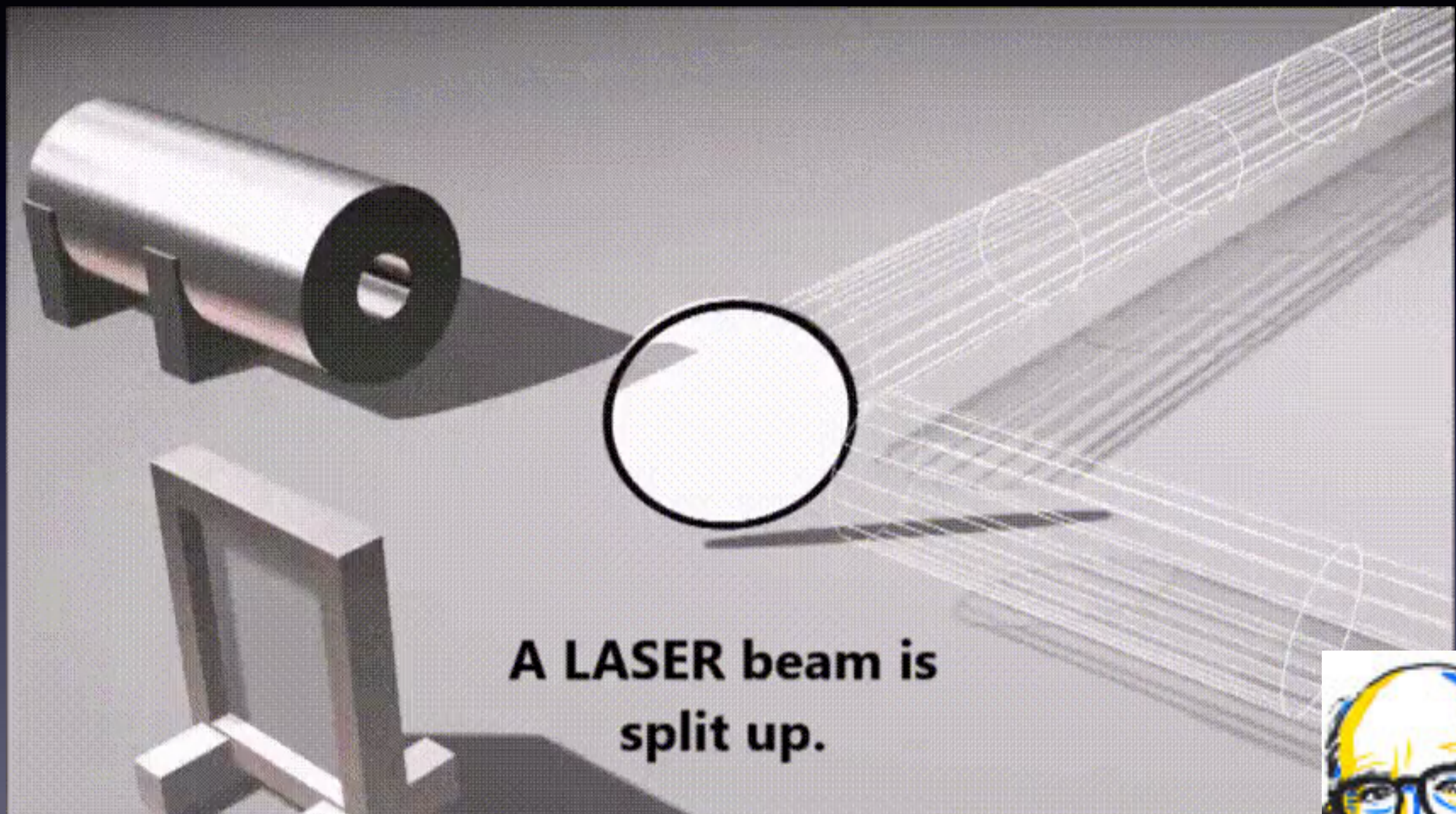


図 32: 左 2 つの波を足すと右の波になる。 $y_1(t) = \sin(2\pi t)$ ,  $y_2(t) = -\sin(2\pi t)$  としたときの,  $y(t) = y_1(t) + y_2(t)$  の図。



# レーザー干渉計による重力波検出のしくみ

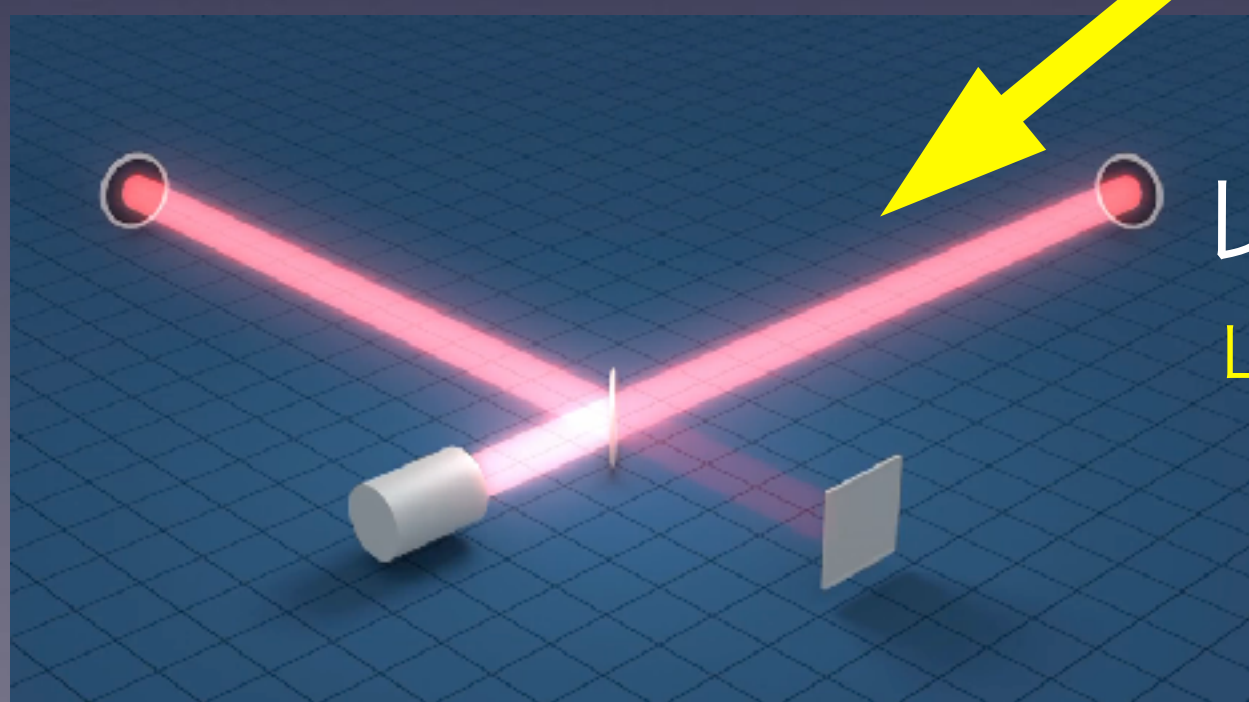
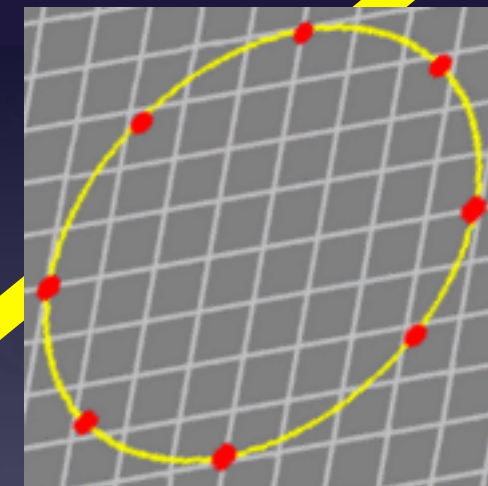
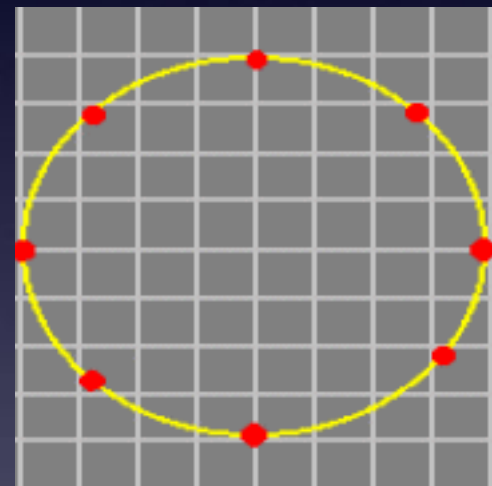
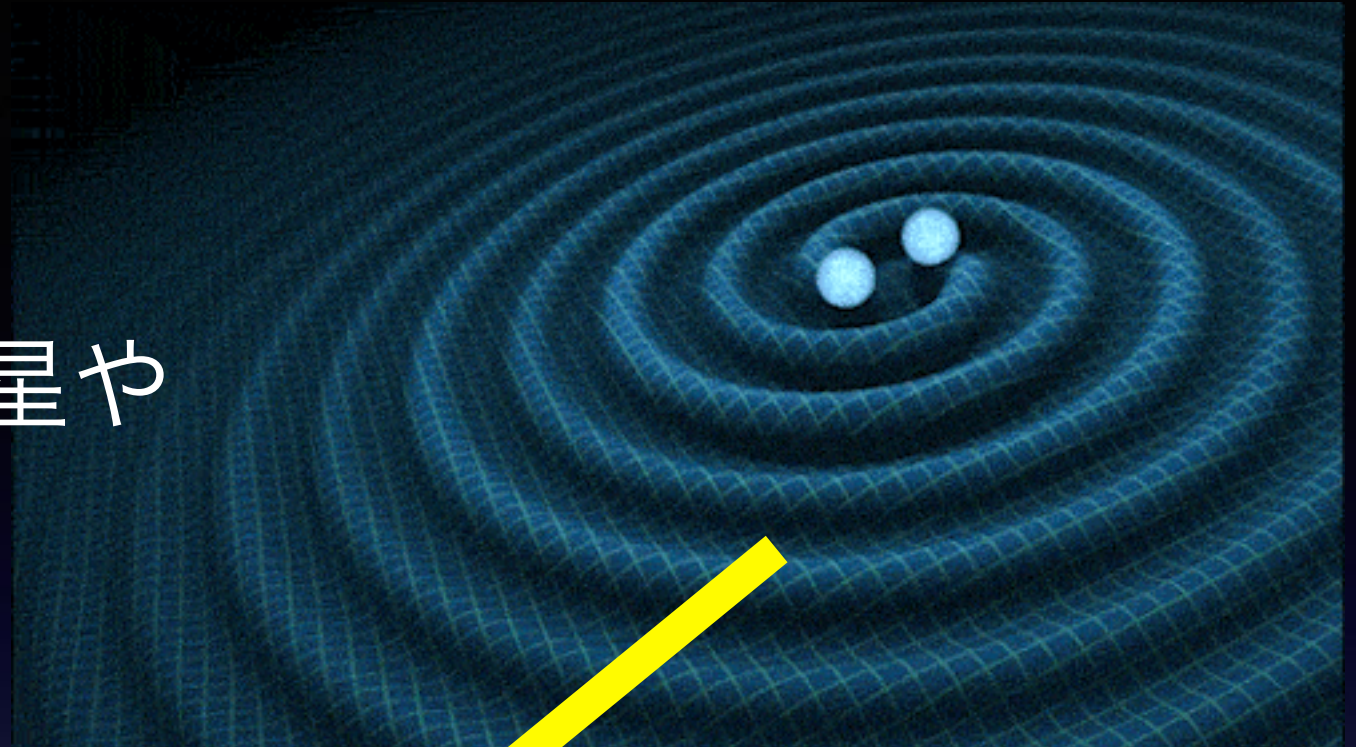


<https://imgur.com/gallery/0VhrXPV>



# 重力波の発生と伝播

ブラックホール連星や  
中性子星連星

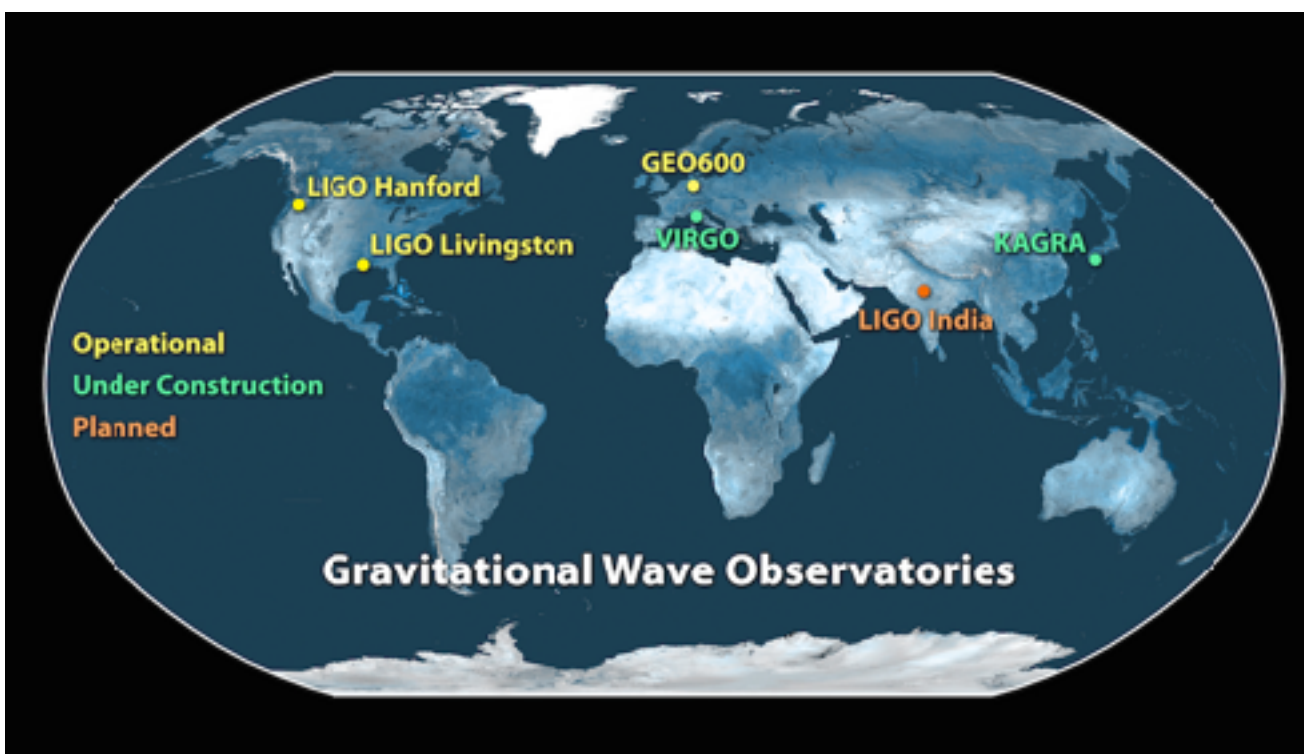


レーザー干渉計

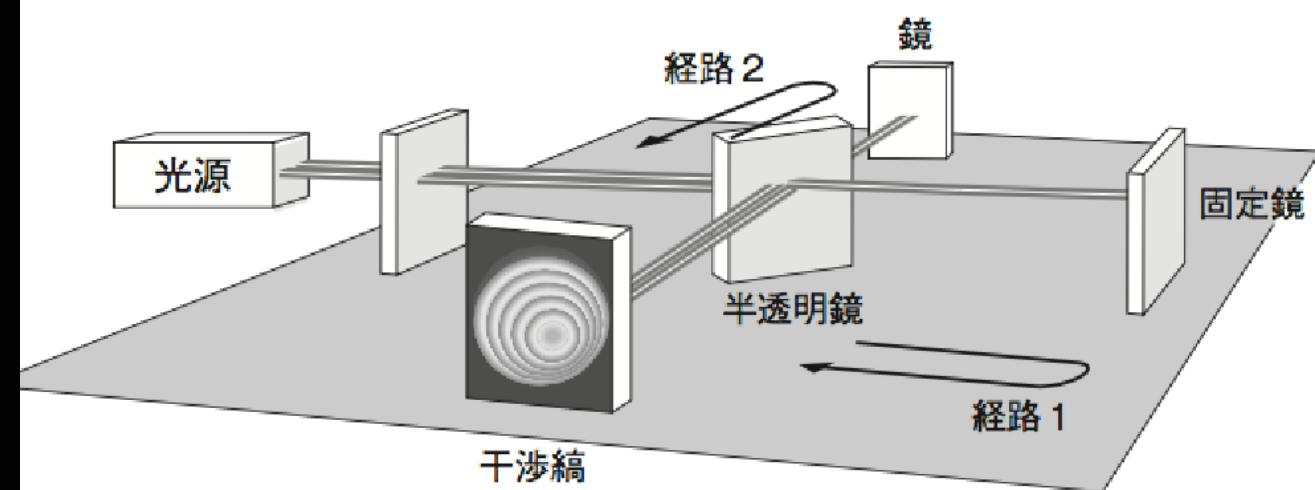
LIGO=Laser Interferometer  
Gravitational-Wave Observatory

# LIGO (ライゴ：レーザー干渉計重力波天文台)

Laser Interferometer Gravitational-Wave Observatory (1992年予算承認)



<https://mediaassets.caltech.edu/gwave>



# KAGRA (かぐら：大型低温重力波望遠鏡)

Kamioka Gravitational wave detector, (Large-scale Cryogenic Gravitational wave Telescope)

## 大型低温重力波望遠鏡



望遠鏡の大きさ：基線長 3km

望遠鏡を神岡鉱山内に建設

鏡をマイナス250度 (20K) まで  
冷却

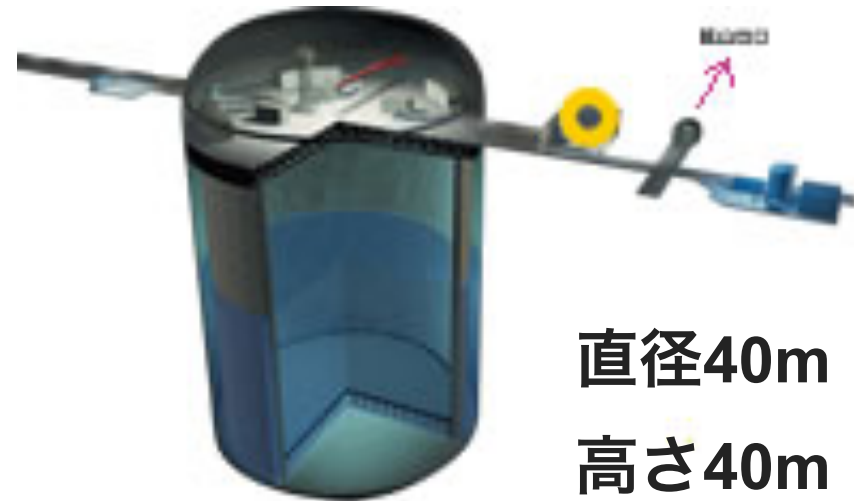
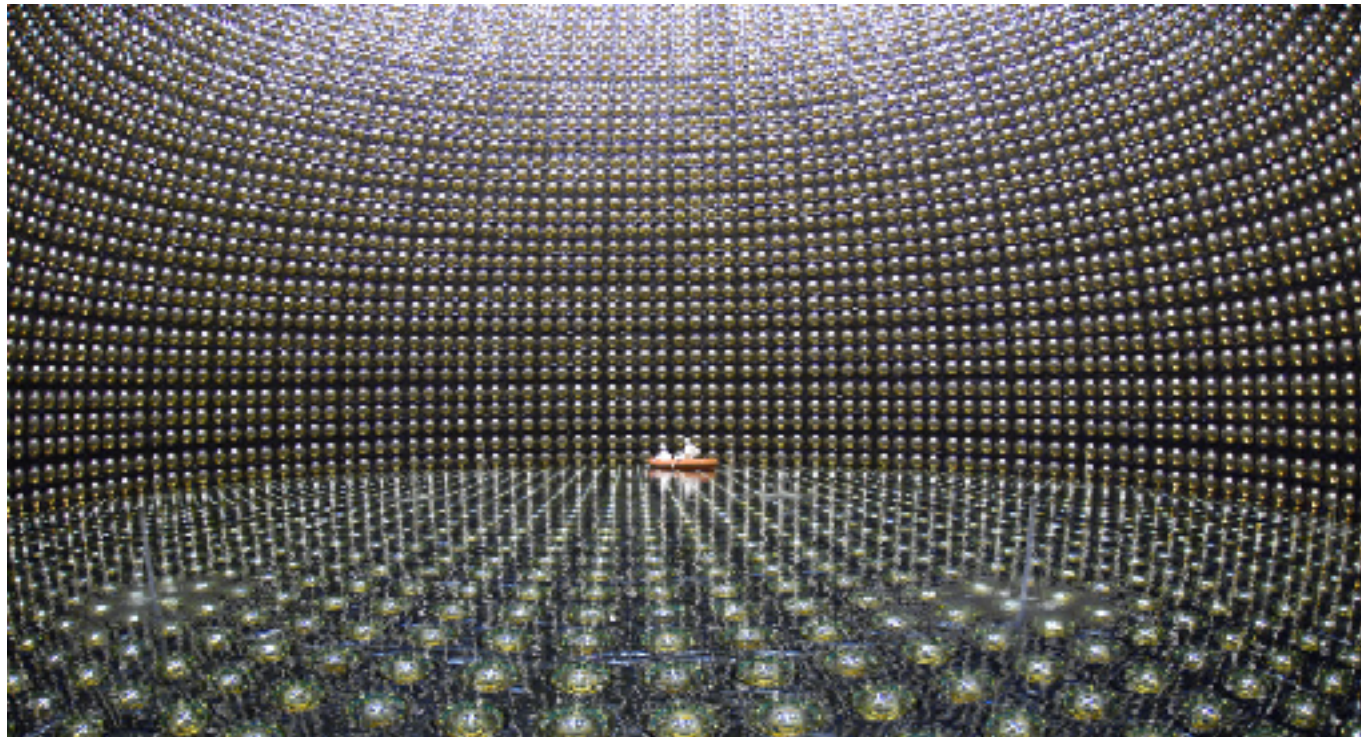
熱雑音を小さくするため

鏡の材質としてサファイア  
光学特性に優れ、低温に冷却すると熱伝導や機械的損失が少なくなる

# スーパー・カミオカンデ（ニュートリノ観測装置）

Super-Kamiokande

<http://www-sk.icrr.u-tokyo.ac.jp/sk/>



岐阜県・神岡の鉱山跡の空洞に巨大な水槽をつくり,  
宇宙から飛来するニュートリノを観測する。



ノーベル物理学賞を受賞

小柴昌俊 (2002年)

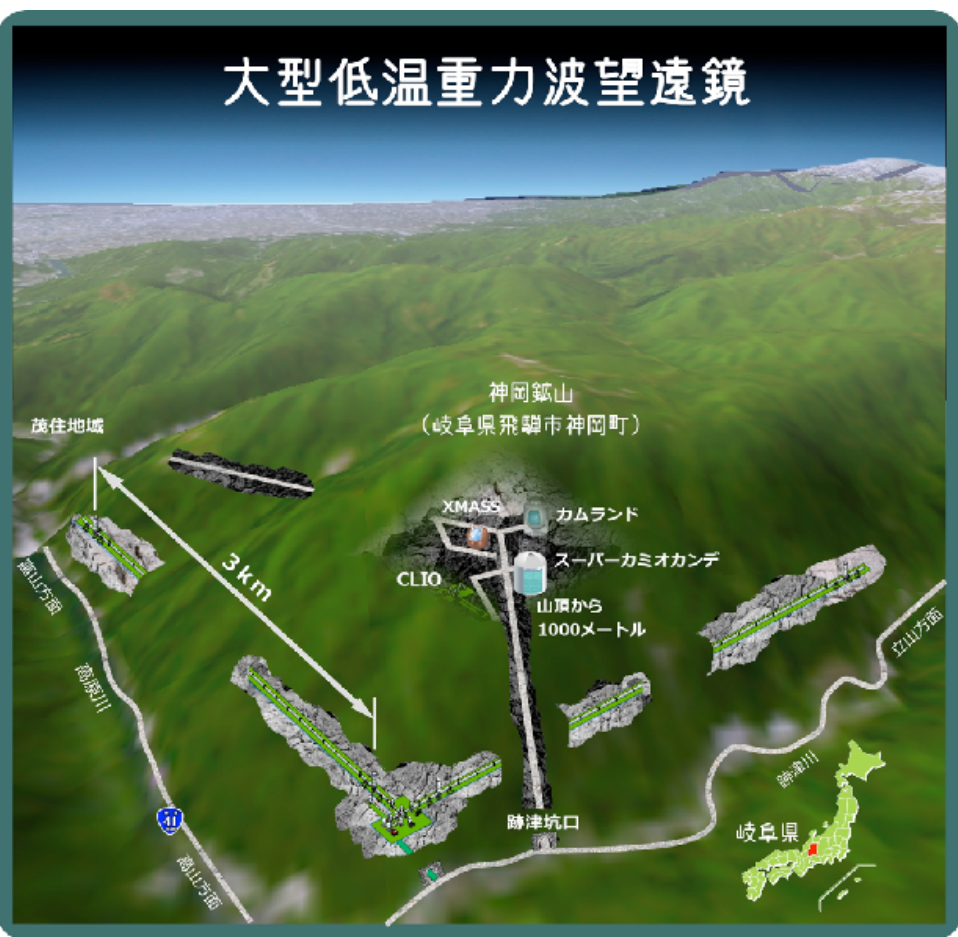


梶田隆章 (2015年)

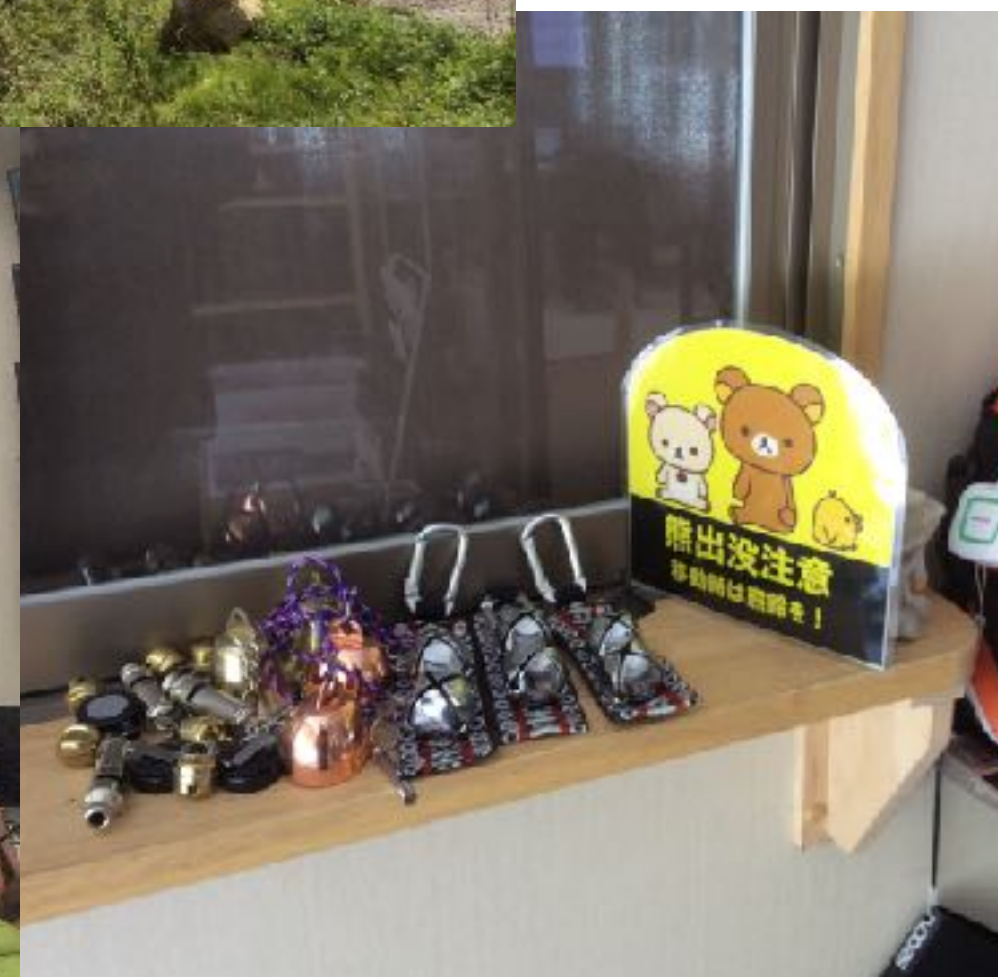


# KAGRA (かぐら：大型低温重力波望遠鏡)

大型低温重力波望遠鏡



2016年4月



# KAGRA (かぐら：大型低温重力波望遠鏡)



2015年8月



Hisaki Shinkai



Seiji Kawamura  
Kieran Craig  
Martynov Denis

# 重力波初検出を発表するライツィLIGO所長

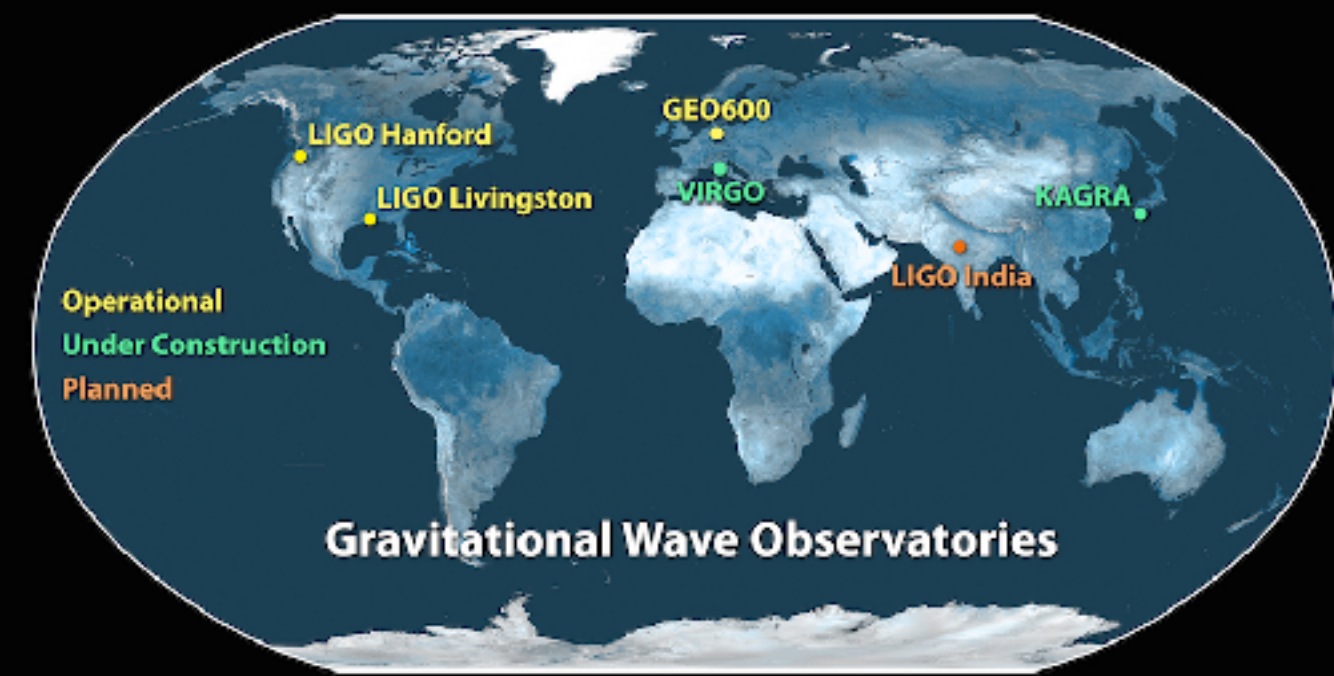
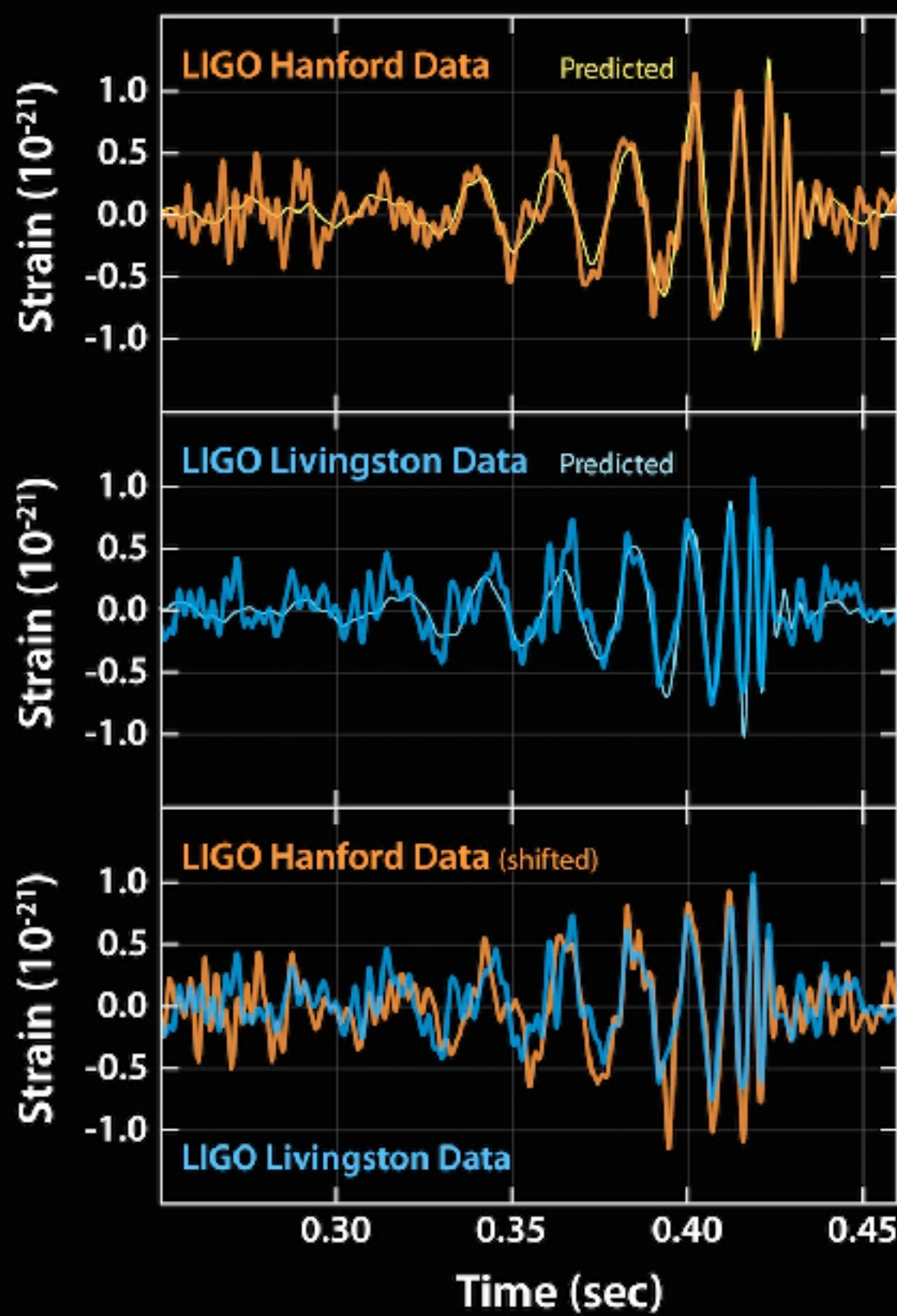
2016年2月11日



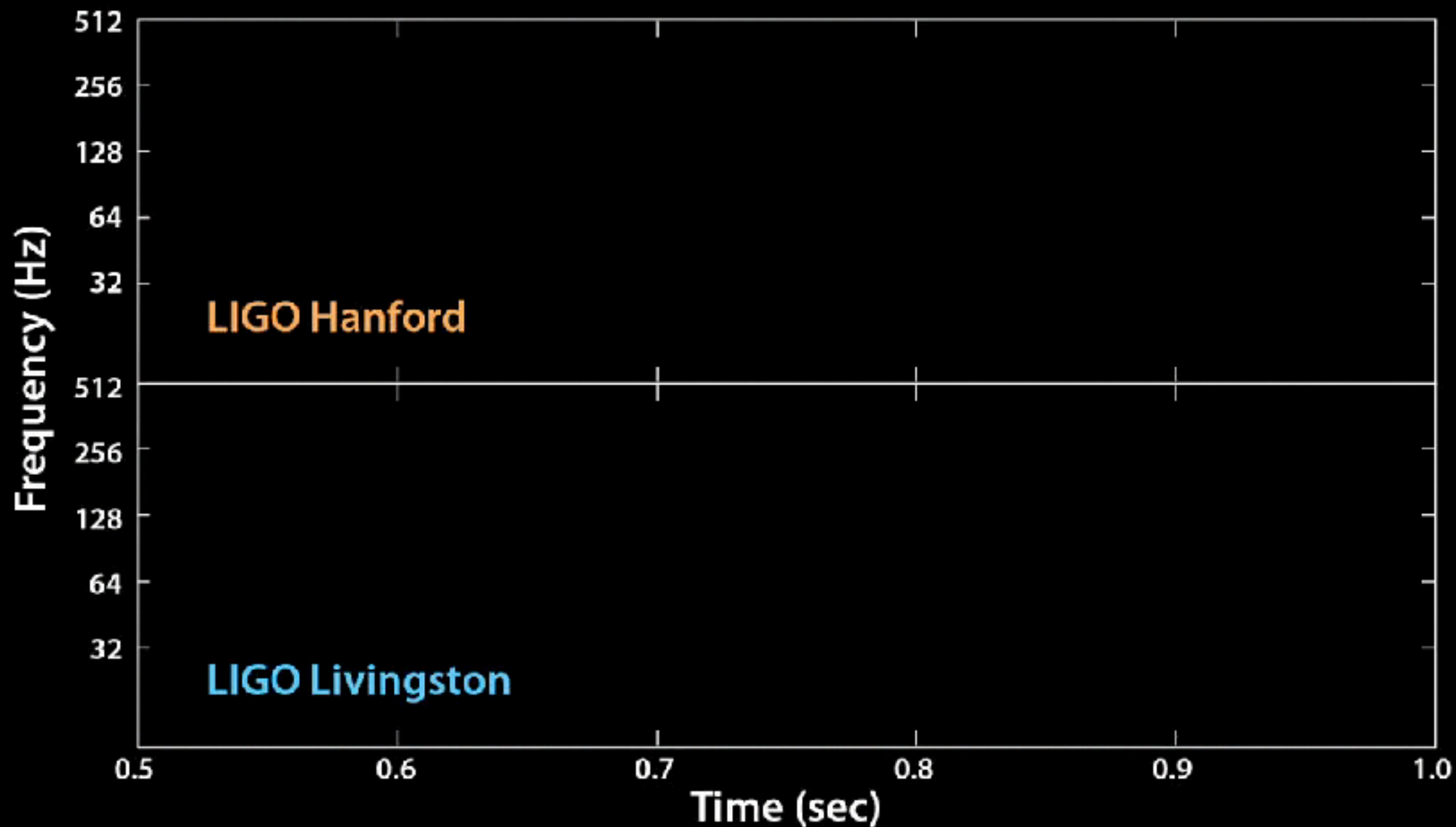
**“We had detected gravitational waves. We did it.”**

**“我々は、重力波を検出した。やり遂げたのだ。”**

# 2015年9月14日

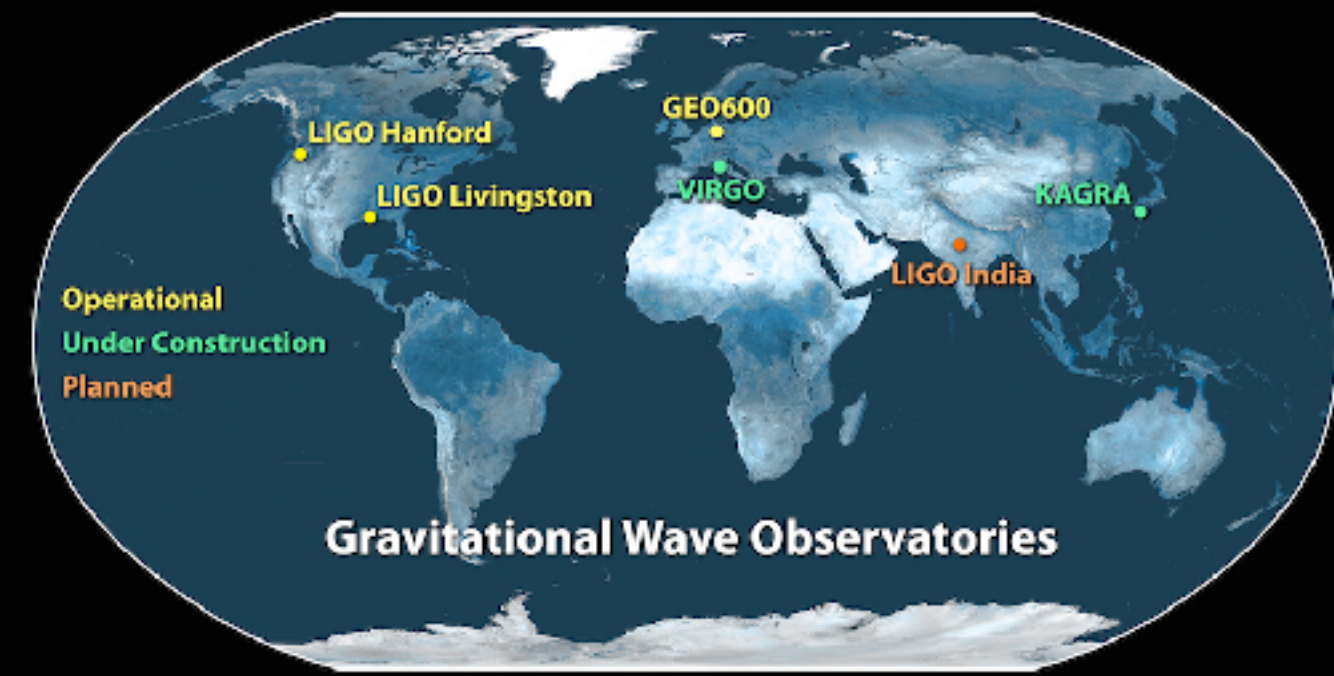
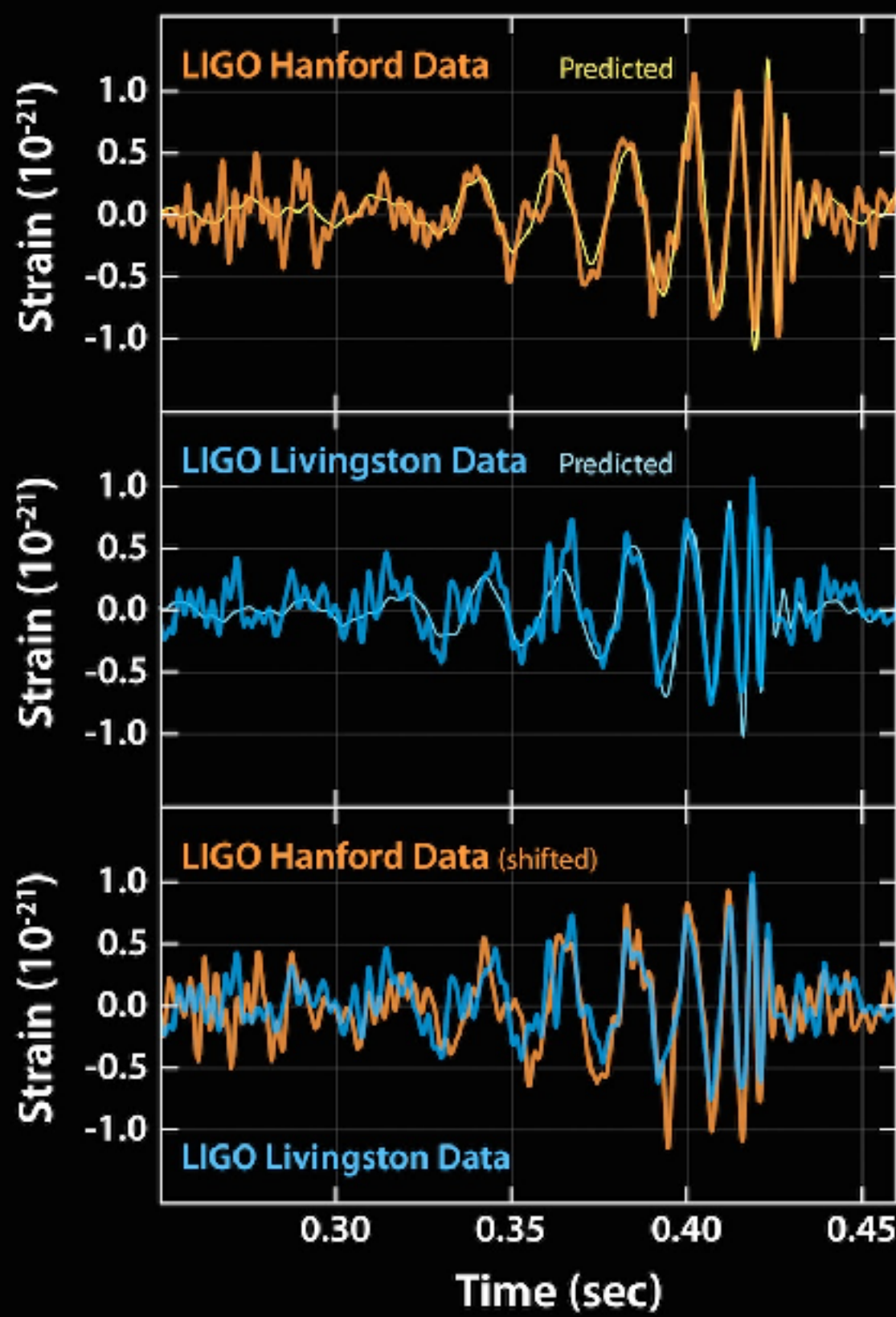


重力波波形を音にすると. . .



始め2回は実周波数、後の2回は聞えやすいように+400Hz

# 2015年9月14日



太陽の36倍と29倍のブラックホールが合体して、  
太陽の62倍のブラックホール  
になった。

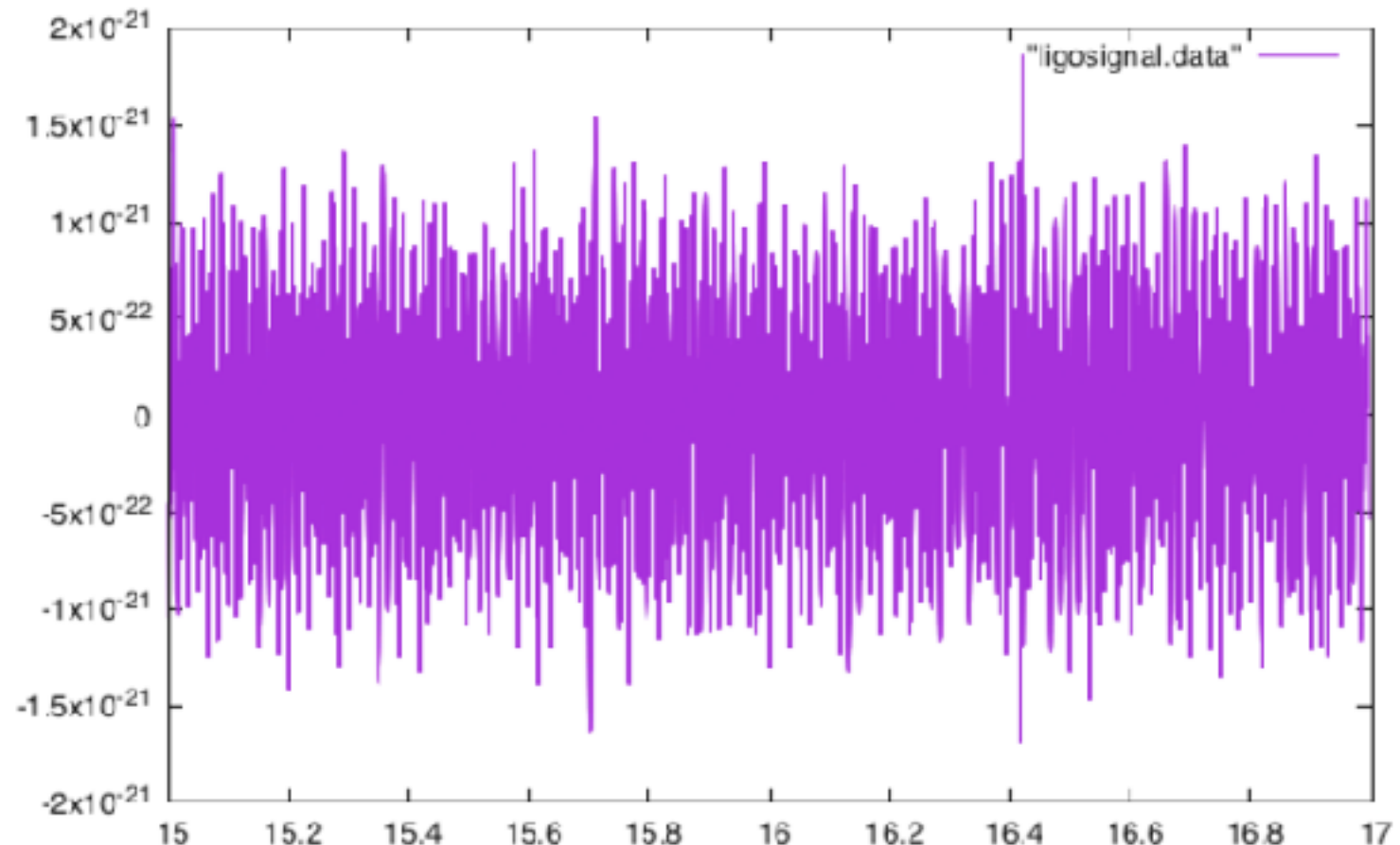
3倍の質量が消失

$$E = mc^2$$

13億光年先

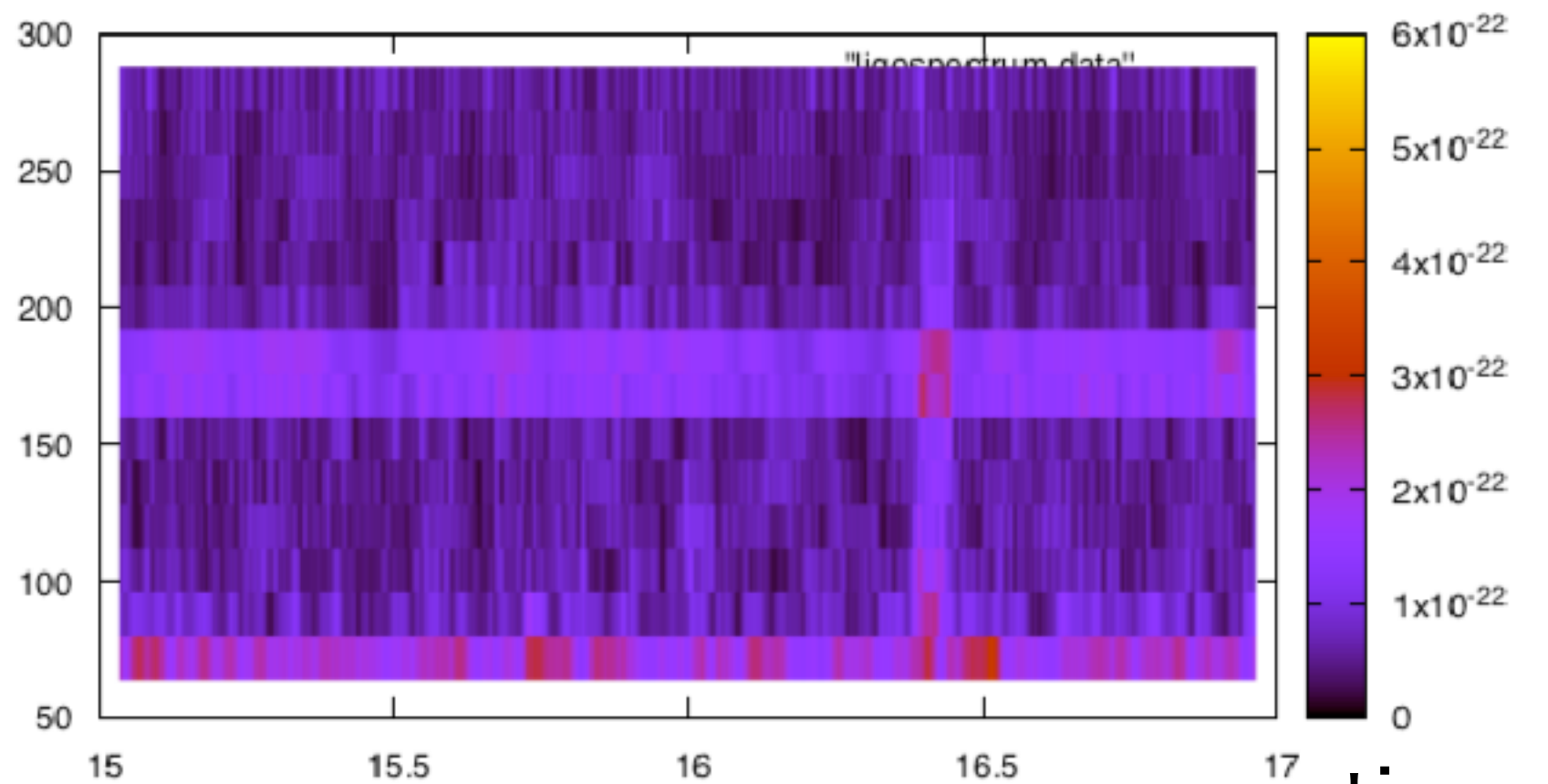
# GW150914

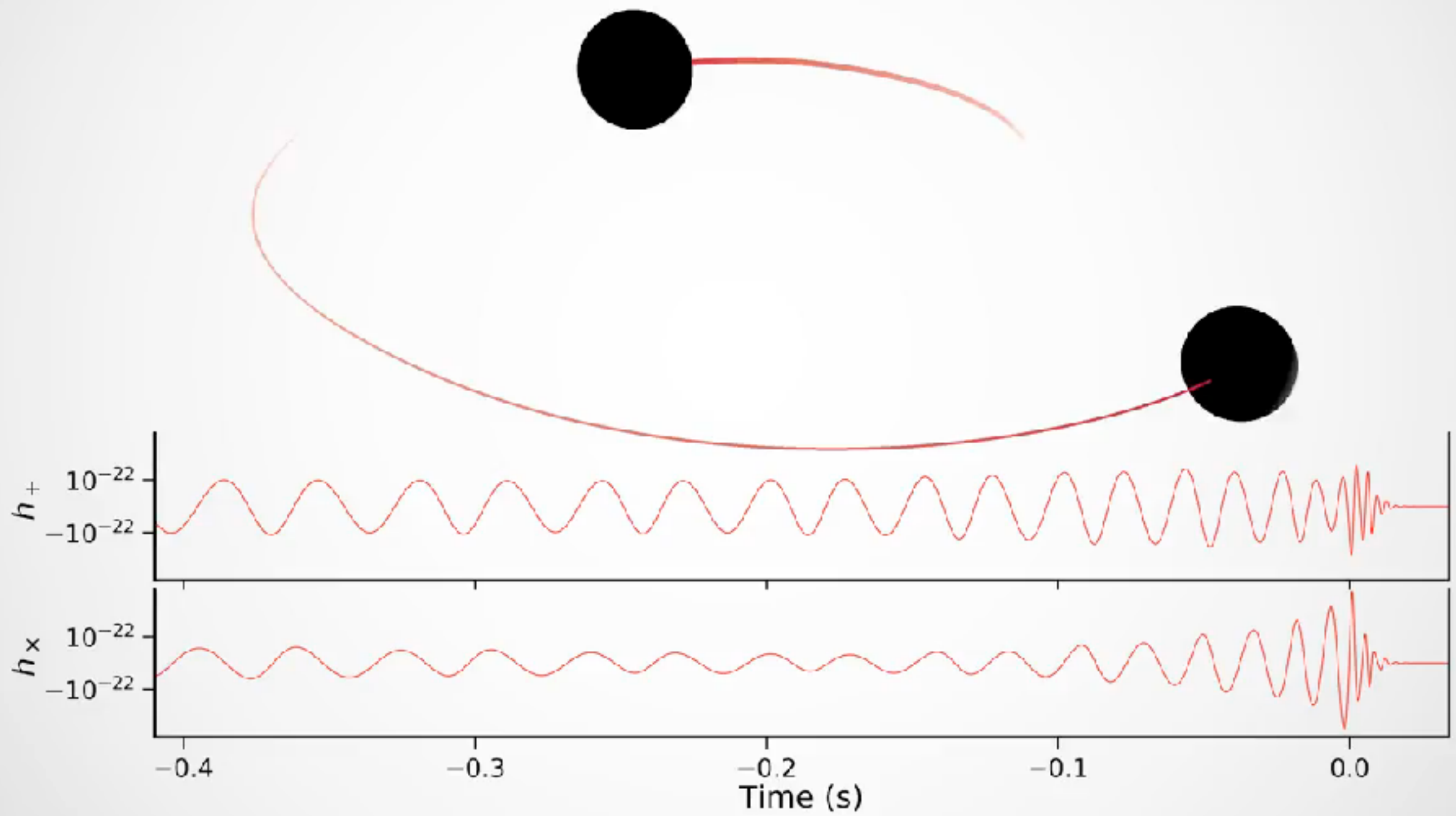
$h(t)$



freq

time





**Animation of the inspiral and collision of two black holes consistent with the masses and spins of GW170104.** The top part of the movie shows the black hole horizons (surfaces of "no return"). The initial two black holes orbit each other, until they merge and form one larger remnant black hole. The shown black holes are spinning, and angular momentum is exchanged among the two black holes and with the orbit. This results in a quite dramatic change in the orientation of the orbital plane, clearly visible in the movie. Furthermore, the spin-axes of the black holes change, as visible through the colored patch on each black hole horizon, which indicates the north pole.

The lower part of the movie shows the two distinct gravitational waves (called 'polarizations') that the merger is emitting into the direction of the camera. The modulations of the polarizations depend sensitively on the orientation of the orbital plane, and thus encode information about the orientation of the orbital plane and its change during the inspiral. Presently, LIGO can only measure one of the polarizations and therefore obtains only limited information about the orientation of the binary. This disadvantage will be remedied with the advent of additional gravitational wave detectors in Italy, Japan and India.

Finally, the slowed-down replay of the merger at the end of the movie makes it possible to observe the distortion of the newly formed remnant black hole, which decays quickly. Furthermore, the remnant black hole is "kicked" by the emitted gravitational waves, and moves upward. (Credit: A. Babul/H. Pfeiffer/CITA/SXS.) - See more at: <http://ligo.org/detections/GW170104.php#sthash.NZPaW2LT.dpu>



## Observation of Gravitational Waves from a Binary Black Hole Merger

B. P. Abbott *et al.*<sup>\*</sup>

(LIGO Scientific Collaboration and Virgo Collaboration)

(Received 21 January 2016; published 11 February 2016)

On September 14, 2015 at 09:50:45 UTC the two detectors of the Laser Interferometer Gravitational-Wave Observatory simultaneously observed a transient gravitational-wave signal. The signal sweeps upwards in frequency from 35 to 250 Hz with a peak gravitational-wave strain of  $1.0 \times 10^{-21}$ . It matches the waveform predicted by general relativity for the inspiral and merger of a pair of black holes and the ringdown of the resulting single black hole. The signal was observed with a matched-filter signal-to-noise ratio of 24 and a false alarm rate estimated to be less than 1 event per 203 000 years, equivalent to a significance greater than  $5.1\sigma$ . The source lies at a luminosity distance of  $410^{+160}_{-180}$  Mpc corresponding to a redshift  $z = 0.09^{+0.03}_{-0.04}$ . In the source frame, the initial black hole masses are  $36^{+5}_{-4} M_{\odot}$  and  $29^{+4}_{-4} M_{\odot}$ , and the final black hole mass is  $62^{+4}_{-4} M_{\odot}$ , with  $3.0^{+0.5}_{-0.5} M_{\odot}$  radiated in gravitational waves. All uncertainties define 90% credible intervals. These observations demonstrate the existence of binary stellar-mass black hole systems. This is the first direct detection of gravitational waves and the first observation of a binary black hole merger.

DOI: 10.1103/PhysRevLett.116.061102

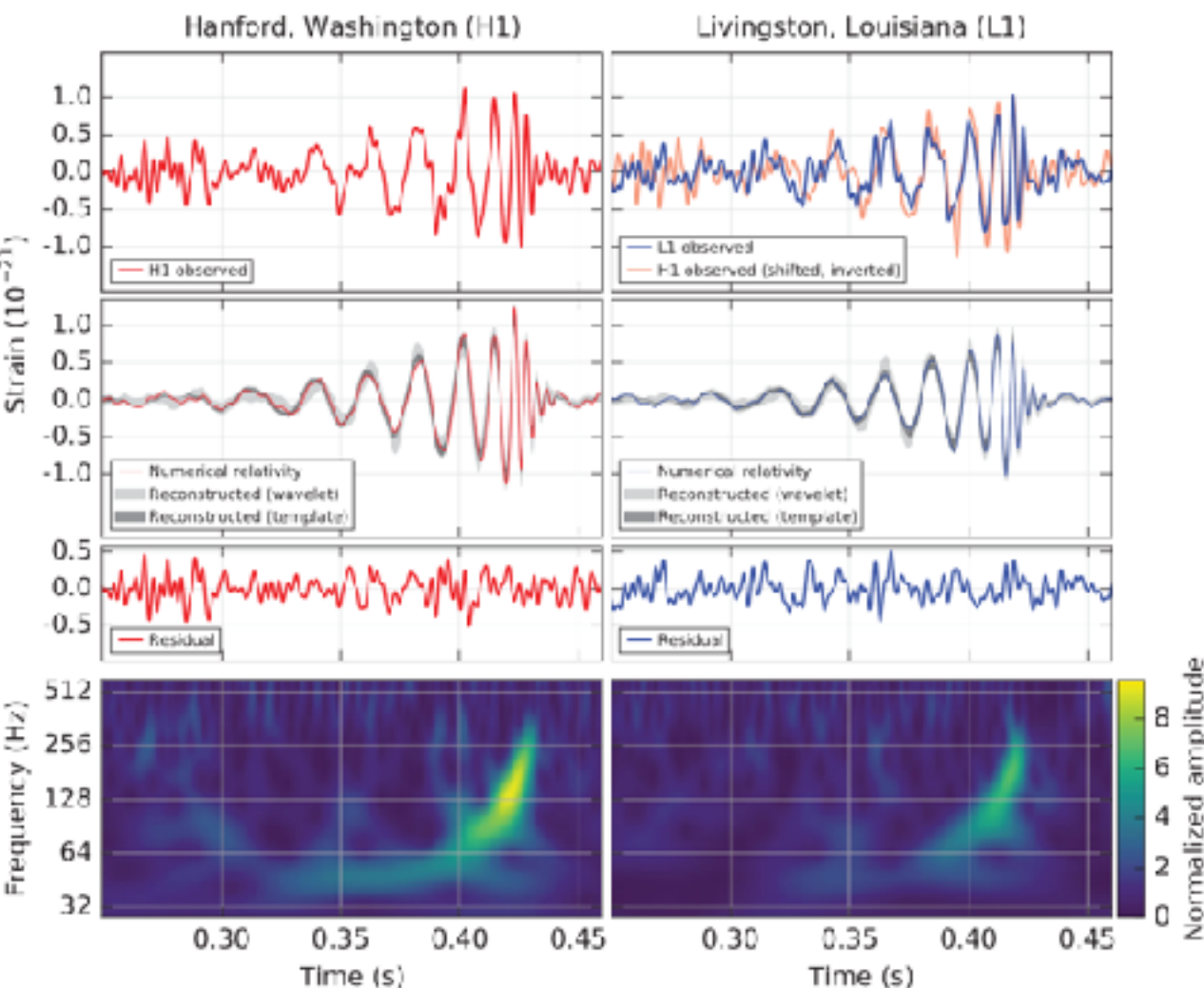


FIG. 1. The gravitational-wave event GW150914 observed by the LIGO Hanford (H1, left column panels) and Livingston (L1, right column panels) detectors. Times are shown relative to September 14, 2015 at 09:50:45 UTC. For visualization, all time series are filtered



# 2016年2月、LIGOが重力波を初めて検出した、と発表した

2016年(平成28年)2月12日(金曜日) 12版 総合 2

## 宇宙の謎解き 国際競争

### 「予想通りで驚いた」 —重力波初観測の報道に接して



真貝 寿明

12

本年（二〇一六年）は、アインシュタインが一般相対性理論の本論文を発表してちょうど一〇〇年になる。その一〇〇年を祝うかのように、二月一二日深夜（米国時間一日）、アメリカのLIGO（ライゴ、注1）のグループは、ブラックホールが衝突・合体して発生した重力波を捉えることに成功した、と発表した。重力波は、一般相対性理論が予言する物理現象だが、一世紀を経て、ようやく直接観測されたことになる。

私は、一般相対性理論の理論研究に関わって四半世紀になる。これまで重力波を研究の中心に据えてきたわけではないが、この瞬間を待ち望んでいた一人

## 重力波 初の直接観測

米国を中心とした国際研究チームが「重力波」を初めて直接観測したとの発表を受け、重力波の研究が専門の神田展行・大阪市立大学院教授（51）は12日、発表内容についての説明会を大阪市住吉区の同大杉本キャンパスで開いた。成果を詳しく理解してもらう狙い。学生ら約100人が参加し、真剣な表情で聴き入った。

【畠山哲郎】

神田教授は、岐阜県飛騨市の大型低溫重力波望遠鏡「KAGRA」のプロジェクトでもデータ管理グループのリーダーを務める。説明会では観測されたデータの見方などを解説し、「我々にどつても勇気づけられるものだつた」と語った。発表を受けて、研究室の学生たちを締め切り間際の論文を慌てて書き換えたエピソードを披露するビゾードを披露する」と、会場は笑いに包まれた。

同大阪大学院理学研究科2年の和知慎吾さん（23）は「重力波だけでなく、ブラックホールも直接観測したことになると分かり、ためになつた」と話していく。

重力波は、質量を持つ物体が動いた時に周囲の時空にゆがみが生じ、そのゆがみが光速でさき波のように手

### 大阪工大「予想通りで驚いた」

大阪工業大情報科学部の真貝寿明教授（一般相対性理論）は「祝・重力波の直接検出」と題して、研究室のウェブページに

一般向けの緊急解説記事を掲載した。昨年には一般向けの解説書「ブラックホール・膨張宇宙・重力波 一般相対性理論の

100年と展開」を出版している。「こんなにも予想通りのものが見つかるのかと驚いた。素晴らしい発見だ」と感想を語った。今後の研究については「日本でもKAGRAを

使い、改めて重力波を確認したり、海外のチームと協力して重力波がどこから来たものなのかを調べたりしていくことが重要だ」と話した。

【畠山哲郎】

毎日新聞 2016/2/13

## 「研究者勇気づけた」

大阪市大院・神田教授 学生らに解説



重力波観測について解説する大阪市立大学大学院理学研究科の神田展行教授（大阪市住吉区）で、川平愛撮影

# 2017年1月センター試験 国語 小林博司「科学コミュニケーション」

## 第1問

の都合で本文の段落に [1] ～ [13] の番号を付してある。また、表記を一部改めている。(配点 50)

[1] 現代社会は科学技術に依存した社会である。近代科学の成立期とされる十六世紀、十七世紀においては、そもそも「科学」という名称で認知されるような知的活動は存在せず、伝統的な自然哲学の一環としての、一部の好事家による楽しみの側面が強かつた。しかし、十九世紀になると、科学研究は「科学者」という職業的専門家によって各種高等教育機関で営まれる知識生産へと変容し始める。既存の知識の改訂と拡大のみを生業とする集団を社会に組み込むことになったのである。さらに二十世紀になり、国際国家の競争の時代になると、科学は技術的な威力と結びついて、この競争の重要な戦力としての力を發揮し始める。二度にわたる世界大戦が科学・技術の社会における位置づけを決定的にしていったのである。

[2] 第二次世界大戦以後、科学技術という営みの存在は膨張を続ける。<sup>(注1)</sup> ブライスによれば、科学技術という営みは十七世紀以来、十五年で<sup>(ア)</sup>バイソウするという速度で膨張しており、二十世紀後半の科学技術の存在はGNPの二バーセント強の投資を要求するまでになつてきているのである。現代の科学技術は、かつてのような思弁的、宇宙論的伝統に基づく自然哲学的性格を失い、A 先進国の社会体制を維持する重要な装置となつてきている。

[3] 十九世紀から二十世紀前半にかけては科学という営みの規模は小さく、にもかかわらず技術と結びつき始めた科学・技術は社会の諸問題を解決する能力を持つていた。「もっと科学を」というスローガンが説得力を持ち得た<sup>(注2)</sup>のである。しかし二十世紀後半の科学・技術は両面価値的存在になり始める。現代の科学・技術では、自然の仕組みを解明<sup>(注3)</sup>、宇宙を説明するという営みの比重が下がり、実験室の中に天然では生じない条件を作り出し、そのもとでさまざまな人工物を作り出すなど、自然に入介入し、操作する能力の開発に重点が移動している。その結果、永らく人類を苦しめてきた病や災害といった自然の脅威を制御できるようになつてきたが、同時に、科学・技術の作り出した人工物が人類にさまざまな災いをもたらし始めているのである。科学・技術が恐るべき速度で生み出す新知識が、われわれの日々の生活に商品や製品として放出されてくる。い

わゆる「環境ホルモン」や地球環境問題、先端医療、情報技術などがその例である。B <sup>(注4)</sup>として「もっと科学を」というスローガンの説得力は低下し始め、「科学が問題ではないか」という新たな意識が社会に生まれ始めているのである。

[4] しかし、科学者は依然として「もっと科学を」という発想になじんでおり、このような「科学が問題ではないか」という問い合わせを、科学に対する無知や誤解から生まれた情緒的反発とみなしがちである。ここからは、素人の一般市民への科学教育の充実や、科学啓蒙プログラムの展開という発想しか生まれないのである。

[5] このような状況に一石を投じたのが科学社会学者のコリンズとビンチの『ゴレム』<sup>(注5)</sup>である。ゴレムとはユダヤの神話に登場する怪物である。人間が水と土から創り出した怪物で、魔術的力量を備え、日々その力を増加させつつ成長する。人間の命令に従い、人間の代わりに仕事をし、外敵から守ってくれる。しかしこの怪物は不器用で危険な存在であり、適切に制御しなければ主人を破壊する威力を持つている。コリンズとビンチは、現代では、科学が、全面的に善なる存在か全面的に悪なる存在かのどちらかのイメージに引き裂かれているという。そして、このような分裂したイメージを生んだ理由は、科学が実在と直結した無謬の知識という神のイメージで捉えられており、科学が自らを実態以上に美化することによって過大な約束をし、それが必ずしも実現しないことが幻滅を生み出したからだという。つまり、全面的に善なる存在というイメージが科学者から振りまかれ、他方、チエルノブイリ事故や狂牛病に象徴されるような事件によって科学への幻滅が生じ、一転して全面的に悪なる存在というイメージに変わったのである。

[6] コリンズとビンチの処方箋は、科学者が振りまいだ当初の「実在と直結した無謬の知識」という神のイメージを科学の実態に即した「不確実で失敗しがちな向こう見ずでへまをする巨人のイメージ」、つまりC 「ゴレムのイメージに取りかえることを主張したのである。そして、科学史から七つの具体的な実験をめぐる論争を取り上げ、近年の科学社会学研究に基づくケーススタディーを提示し、科学上の論争の終結がおよそ科学哲学者が想定するような論理的、方法論的決着ではなく、さまざまなコウインが絡んで生じていることを明かにしたのである。

[7] 彼らが挙つたケーススタディーの一例を挙げよう。一九六九年にウェーバーが、十二年の歳月をかけて開発した実験装置を

# 2017年1月センター試験 国語 小林博司「科学コミュニケーション」

(イ)

- 3 ウエーバーの結論を否定する  
ヤツカイ

① ヨリヤクがある

② ツウヤクの資格を取得する

③ ヤクドシを乗り切る

④ ヤツキになって反対する

⑤ ヤツコウがある野草を探す

(ロ)

4 センコク

- 4 コクソウ地帯

① 上級裁判所へのヨウコク

② コクメイな描写

③ コクビヤクのつけにくい議論

④ 筆跡がコクジした署名

7

ウエーバー——ジョセフ・ウエーバー(一九一九—二〇〇〇)。物理学者。

8

重力波——時空のゆがみが波となつて光速で伝わる現象。一九一六年にアインシュタインがその存在を予言していた。

9

重力波の存在は明確に否定された——ウエーバーによる検出の事実は証明されなかつたが、二〇一六年、アメリカの研究チ

ムが直接検出に成功したと発表した。

10

コリンズとビンチは、このようなケーススタディーをもとに、「もっと科学を」路線を批判するのである。民主主義国家の一

用いて、重力波<sup>(注8)</sup>の測定に成功したと発表した。これをきっかけに、追試をする研究者があらわれ、重力波の存在をめぐつて論争となつたのである。この論争において、実験はどのような役割を果たしていたかという点が興味深い。追試実験から、ウエーバーの結論を否定する<sup>(注9)</sup>ようなデータを手に入れた科学者は、それを発表するかいなかという選択の際に<sup>(ウ)</sup>ヤツカイな問題を抱え込むのである。否定的な結果を発表することは、ウエーバーの実験が誤りであり、このような大きな値の重力波は存在しないという主張をすることになる。しかし、実は批判者の追試実験の方に不備があり、本当はウエーバーの検出した重力波が存在するということが明らかになれば、この追試実験の結果によって彼は自らの実験能力の低さを公表することになる。

8

学生実験の場合には、実験をする前におもよそのような結果になるかがわかつており、それと食い違えば実験の失敗がセン<sup>(エ)</sup>コクされる。しかし現実の科学では必ずしもそうは<sup>(ウ)</sup>ことが進まない。重力波の場合、どのような結果になれば実験は成功といえるかがわからないのである。重力波が検出されれば、実験は成功なのか、それとも重力波が検出されなければ、実験は成功なのか。しかしまさに争点は、重力波が存在するかどうかであり、そのための実験なのである。何が実験の成功といえる結果なのかを、前もつて知ることはできない。重力波が存在するかどうかを知るために、「優れた検出装置を作らなければならぬ。しかし、その装置を使って適切な結果を手に入れなければ、装置が優れたものであつたかどうかはわからない。しかし、優れた装置がなければ、何が適切な結果かということはわからない……」。コリンズとビンチはこのような循環を「実験家の悪循環」と呼んでいる。

9

重力波の論争に関しては、このような悪循環が生じ、その存在を完全に否定する実験的研究は不可能であるにもかかわらず

「存在、非存在の可能性がある」、結局、有力科学者の否定的発言をきっかけにして、科学者の意見が衝突を打つて否定論に傾き、それ以後、重力波の存在は明確に否定されたのであつた。つまり、論理的には重力波の存在もしくは非存在を実験によつて決着をつけられていなかつたが、科学者共同体の判断は、非存在の方向で収束した<sup>(ウ)</sup>ことである。

ウイ<sup>(イ)</sup>ンが絡んで生じていることを明らかにしたのである。

7 彼らが扱つたケーススタディーの一例を挙げよう。一九六九年にウエーバーが、十二年の歳月をかけて開発した実験装置を

活<sup>(カ)</sup>

sport

2016/4/21

## Cameron McEvoy wears his passion on his swimming cap

Swimmer and physics student Cameron McEvoy is sporting the signature of a gravitational wave on his cap.



Cameron McEvoy wins a 100m heat with the gravitational wave on his Bond University club cap. Source:AAP

The discovery has made a big impression on McEvoy, 21, whose heroes tend to be scientists rather than swimmers.

"It's the 100th anniversary of Einstein's general theory of relativity, which is his theory of gravity and coincidentally, physicists at Advanced LIGO (observatory) discovered gravitational waves, which is the stretching and contraction of space-time itself — everything we move in and pretty much what the universe is," he said.



2017/10



shenovafashion.com

Gravitational Waves Dress | Shenova Fashion | Shenova

SIGN IN

SHENOVA

COLLECTIONS ABOUT BLOG HELP CONTACT

GRAVITATIONAL WAVES DRESS

★★★★★ 6 reviews

\$179.00

SIZE

X-SMALL SMALL MEDIUM L  
XX-LARGE X-SMALL WITH 15° SLEEVES  
SMALL WITH 15° SLEEVES MEDIUM  
LARGE WITH 15° SLEEVES X-LARGE  
XX-LARGE WITH 15° SLEEVES

ADD TO CART

Want to wear the fabric of space time?  
Celebrate the discovery of gravitational waves first glances, you can plaid. Look a bit further down from the LIGO detectors. It's a closely examined twist.

MATCHING PLAID TIE AND ACCESSORIES

Gravitational Waves Dress

Laura Cadonati  
10月11日 1:22 ·

Posting for a bit of comic relief: "It's like a better version of Ms Frizzle!!"  
Thanks to Gabriela Gonzalez for the dress, a rite of passage of sort?

Instagram post by Georgia Tech • Oct 4, 2017 at 7:14pm UTC

INSTAGRAM

いいね! コメントする シェアする

あなた、Jorge Pullinさん、Deirdre Shoemakerさん、他83人

Gravitational Waves Tie | Zazzle.com

Search for products

100% Satisfaction | Sell on Zazzle | Sign in |

Create Your Own | Invitations & Cards | Clothing & Accessories | Home & Living | Electronics | Office | Baby & Kids | Art | Weddings | Gifts

LAST DAY Up to 50% Off Greeting Cards, Custom Postage, Stickers & More | 15% Off Sitewide | Use Code: CREATIVEDEAL | See Details

Accessories > Ties

## Gravitational Waves Tie

★★★★★ 4.4 (1254)

\$44.30

per tie  
Qty: 1 ▾

Add to Cart

15% Off with code CREATIVEDEAL



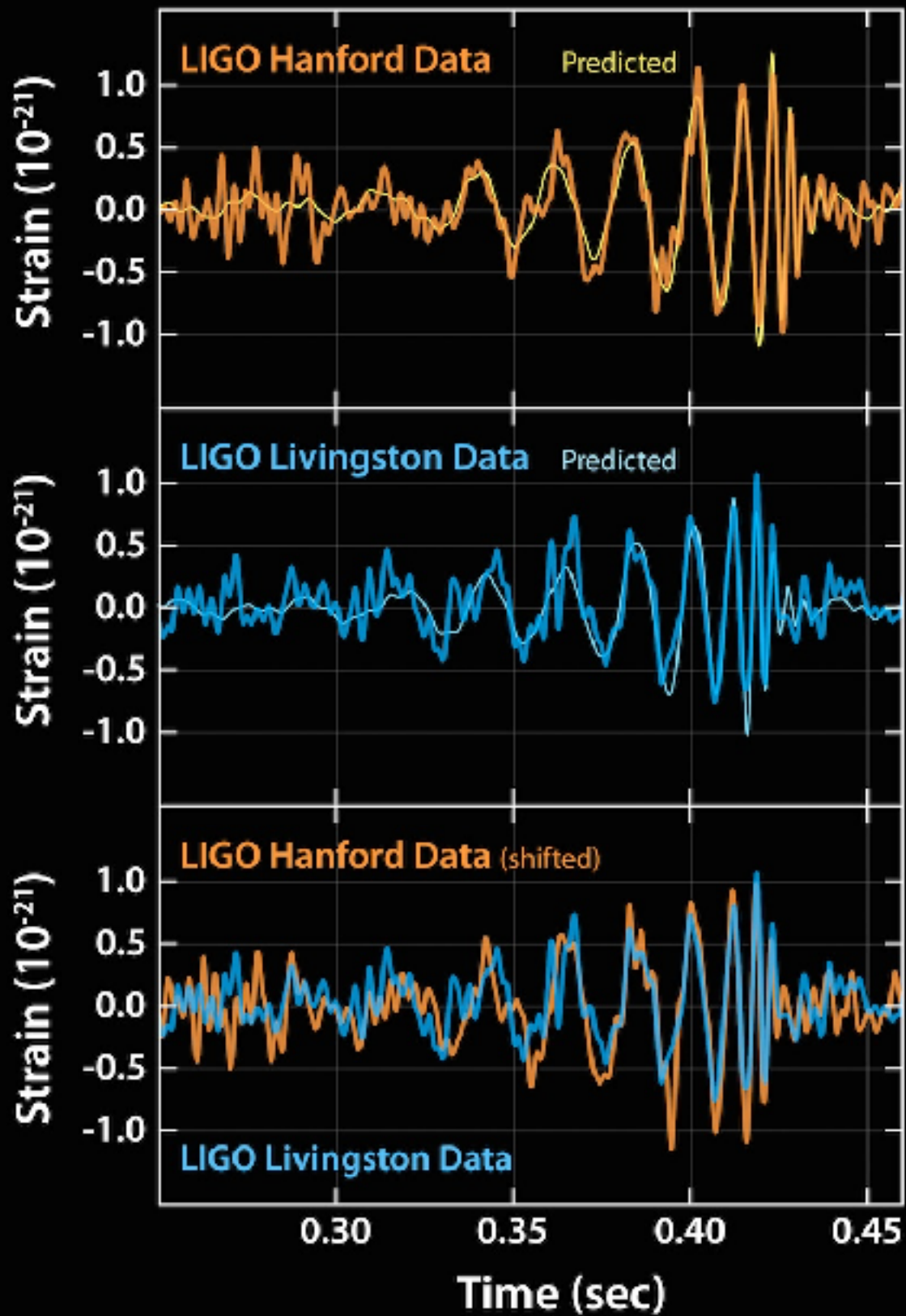
Designed for you  
by Shenova by Zazzle

Customize



Independent artist's content may not match model depicted. RealView™ technology. Illustrates fit and usage only.

# GW150914



# GW150914: FACTSHEET

BACKGROUND IMAGES: TIME-FREQUENCY TRACE (TOP) AND TIME-SERIES (BOTTOM) IN THE TWO LIGO DETECTORS; SIMULATION OF BLACK HOLE HORIZONS (MIDDLE-TOP), BEST FIT WAVEFORM (MIDDLE-BOTTOM)

first direct detection of gravitational waves (GW) and first direct observation of a black hole binary

observed by	LIGO L1, H1	duration from 30 Hz	$\sim 200$ ms
source type	black hole (BH) binary	# cycles from 30 Hz	$\sim 10$
date	14 Sept 2015	peak GW strain	$1 \times 10^{-21}$
time	09:50:45 UTC	peak displacement of interferometers arms	$\pm 0.002$ fm
likely distance	0.75 to 1.9 Gly 230 to 570 Mpc	frequency/wavelength at peak GW strain	150 Hz, 2000 km
redshift	0.054 to 0.136	peak speed of BHs	$\sim 0.6$ c
signal-to-noise ratio	24	peak GW luminosity	$3.6 \times 10^{56}$ erg s $^{-1}$
false alarm prob.	< 1 in 5 million	radiated GW energy	$2.5\text{--}3.5 M_\odot$
false alarm rate	< 1 in 200,000 yr	remnant ringdown freq.	$\sim 250$ Hz
Source Masses $M_\odot$		remnant damping time	$\sim 4$ ms
total mass	60 to 70	remnant size, area	180 km, $3.5 \times 10^5$ km $^2$
primary BH	32 to 41	consistent with general relativity?	passes all tests performed
secondary BH	25 to 33	graviton mass bound	< $1.2 \times 10^{-22}$ eV
remnant BH	58 to 67	coalescence rate of binary black holes	2 to 400 Gpc $^{-3}$ yr $^{-1}$
mass ratio	0.6 to 1	online trigger latency	$\sim 3$ min
primary BH spin	< 0.7	# offline analysis pipelines	5
secondary BH spin	< 0.9	CPU hours consumed	$\sim 50$ million (=20,000 PCs run for 100 days)
remnant BH spin	0.57 to 0.72	papers on Feb 11, 2016	13
signal arrival time delay	arrived in L1 7 ms before H1	# researchers	$\sim 1000$ , 80 institutions in 15 countries
likely sky position	Southern Hemisphere		
likely orientation resolved to	face-on/off $\sim 600$ sq. deg.		

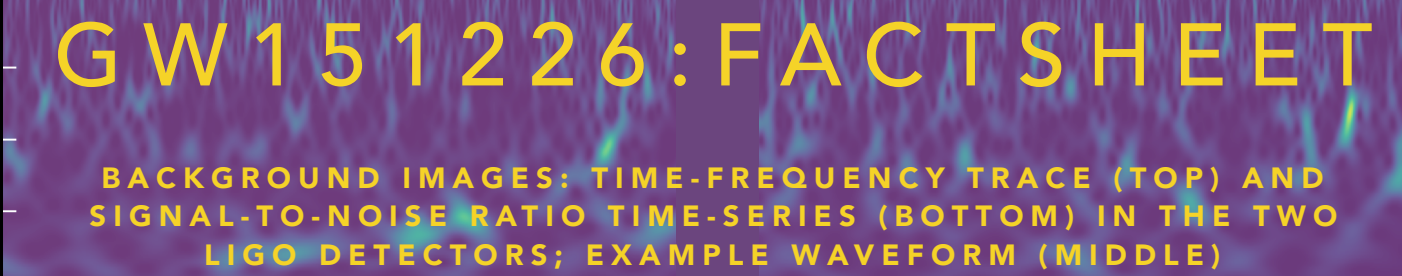
Detector noise introduces errors in measurement. Parameter ranges correspond to 90% credible bounds.

Acronyms: L1=LIGO Livingston, H1=LIGO Hanford; Gly=giga lightyear= $9.46 \times 10^{12}$  km; Mpc=mega parsec=3.2 million lightyear, Gpc= $10^3$  Mpc, fm=femtometer= $10^{-15}$  m,  $M_\odot$ =1 solar mass= $2 \times 10^{30}$  kg

# GW151226

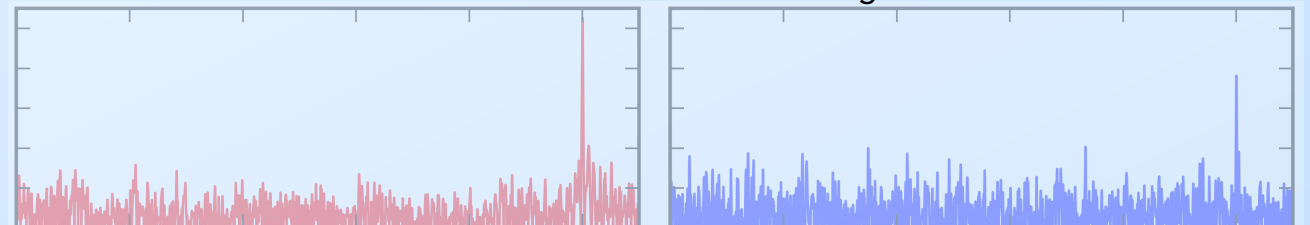
14Msun + 7.5 Msun  
のBHが合体して 21 Msun  
(1 Msun分の質量が消失)

15億光年先  
( $440 \pm 190$  Mpc)  
( $z=0.05$ — $0.13$ )



observed by	LIGO L1, H1	duration from 35 Hz	$\sim 1$ s
source type	black hole (BH) binary	# cycles from 35 Hz	$\sim 55$
date	26 Dec 2015	signal arrival time delay	arrived in H1 1 ms after L1
time	03:38:53 UTC		
distance	250 to 620 Mpc	peak GW strain	$\sim 3.4 \times 10^{-22}$
redshift	0.05 to 0.13	peak displacement of interferometers arms	$\sim \pm 0.7$ am
signal-to-noise ratio	13	frequency/wavelength at peak GW strain	420 Hz, 710 km
false alarm prob.	$\sim 1$ in 10 million	peak speed of BHs	$\sim 0.6$ c
Source Masses $M_\odot$		peak GW luminosity	$2$ to $4 \times 10^{56}$ erg s $^{-1}$
total mass	20 to 28	radiated GW energy	$0.8$ – $1.1$ $M_\odot$
primary BH	11 to 23	remnant ringdown freq.	$\sim 750$ Hz
secondary BH	5 to 10	remnant damping time	$0.00$ – $\sim 1.3$ ms
remnant BH	19 to 27	remnant size, area	$60$ km, $3.5 \times 10^4$ km $^2$
(Reconstructed (template))		online trigger latency	$\sim 67$ s
mass ratio	> 0.28	# offline analysis pipelines	2
spin of one of the black holes	> 0.2		
remnant BH spin	0.7 to 0.8		
resolved to	~850 sq. deg.		

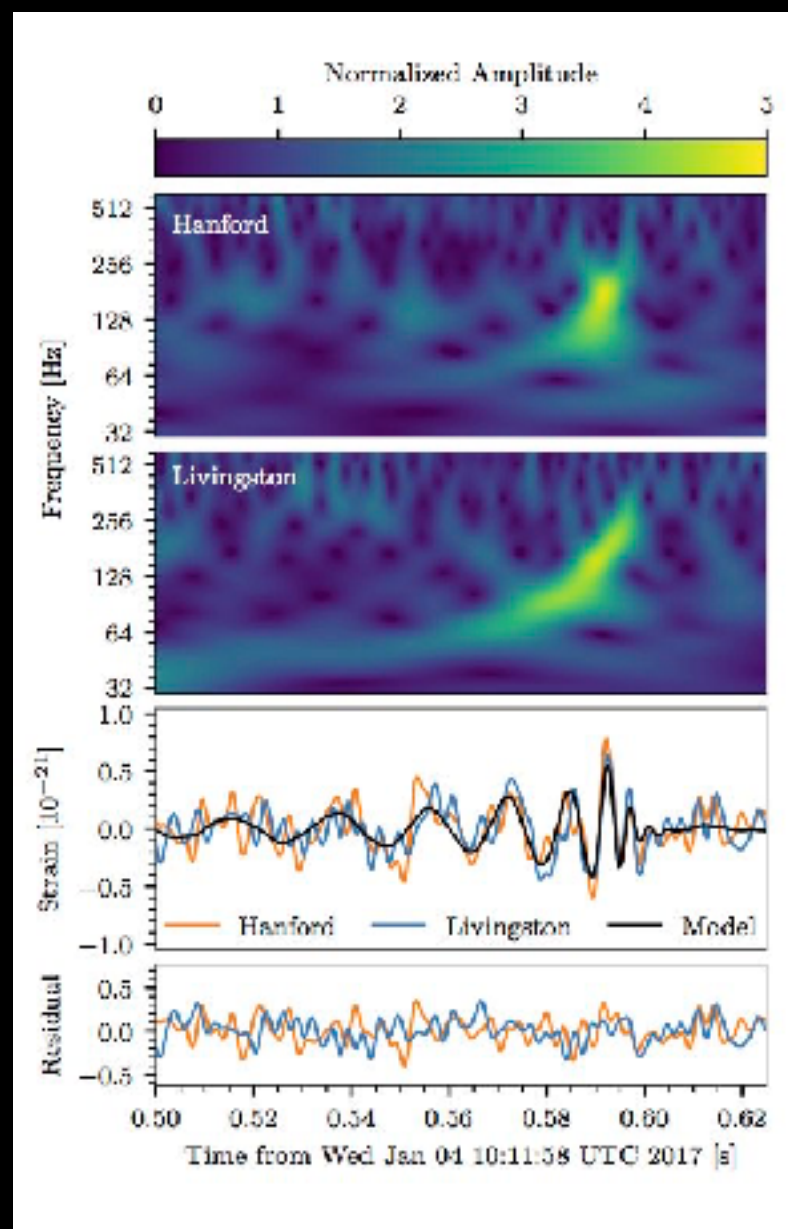
Parameter ranges correspond to 90% credible bounds. Acronyms: L1/H1=LIGO Livingston/Hanford; Mpc=mega parsec=3.2 million lightyear, am=attometer= $10^{-18}$  m,  $M_\odot$ =1 solar mass= $2 \times 10^{30}$  kg



# GW170104

# GW170104: FACTSHEET

Background Images: time-frequency trace (top), H1 and L1 time series and maximum-likelihood binary black hole model (middle top), residuals between data and best-fit model (middle bottom), reconstructed waveforms from wavelet and binary black hole analyses (bottom)



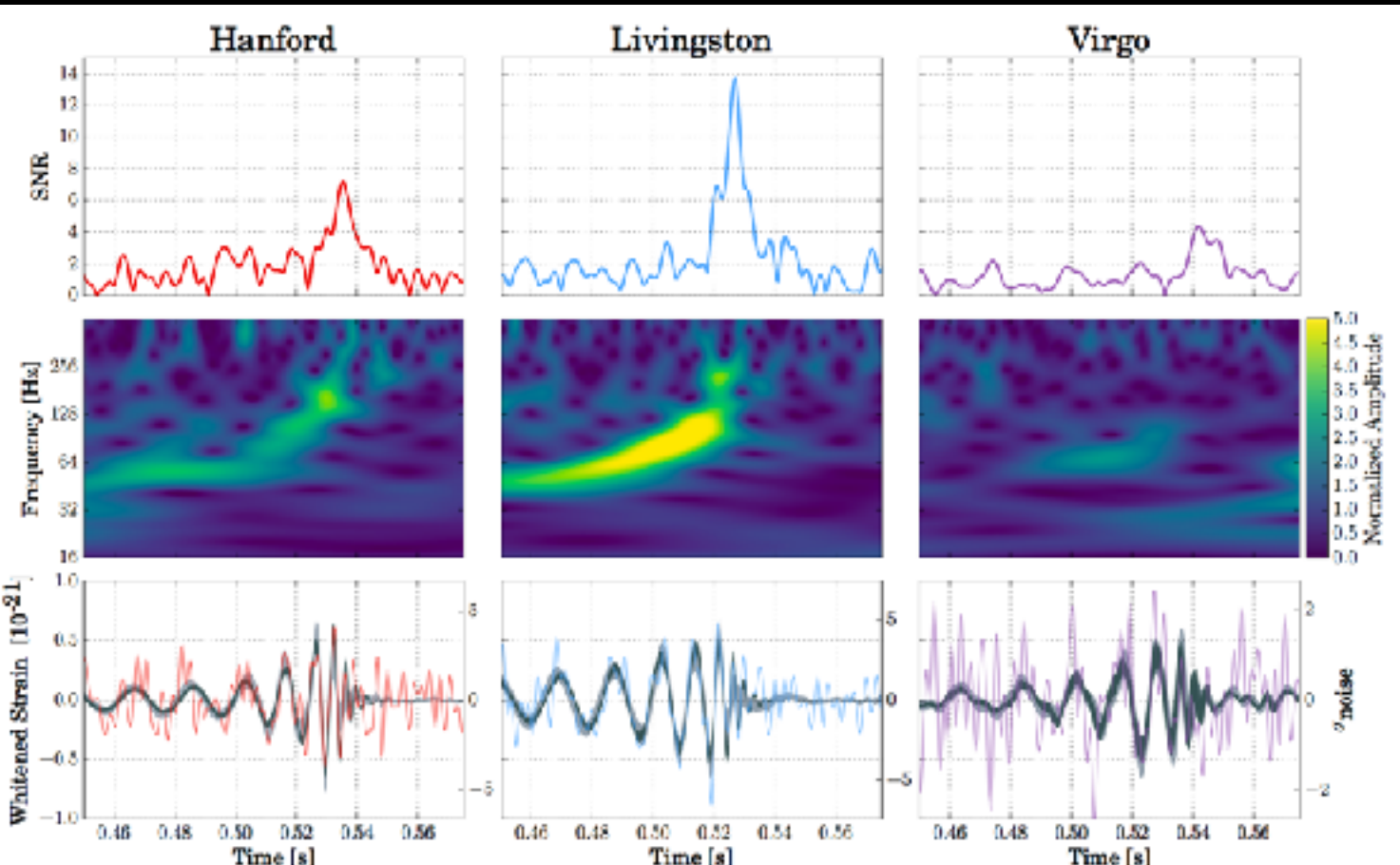
observed by	LIGO L1, H1	duration from 30 Hz	$\sim 0.25$ to $0.31$ s
source type	black hole (BH) binary	# of cycles from 30 Hz	$\sim 14$ to $16$
date	04 Jan 2017	signal arrival time delay	arrived at H1 3 ms before L1
time	10:11:58.6 UTC	credible region sky area	1200 sq. deg.
signal-to-noise ratio	13	peak GW strain	$\sim 5 \times 10^{-22}$
false alarm rate	< 1 in 70,000 years	peak displacement of interferometer arm	$\sim \pm 1$ am
probability of astrophysical origin	> 0.99997	frequency at peak GW strain	160 to 199 Hz
distance	1.6 to 4.3 billion light-years	wavelength at peak GW strain	1510 to 1880 km
redshift	0.10 to 0.25	peak GW luminosity	$1.8$ to $3.8 \times 10^{56}$ erg s $^{-1}$
total mass	46 to 57 $M_{\odot}$	radiated GW energy	1.3 to 2.6 $M_{\odot}$
primary BH mass	25 to 40 $M_{\odot}$	remnant ringdown freq.	297 to 373 Hz
secondary BH mass	13 to 25 $M_{\odot}$	remnant damping time	2.5 to 3.2 ms
mass ratio	0.36 to 0.94	consistent with general relativity?	passes all tests performed
remnant BH mass	44 to 54 $M_{\odot}$	graviton mass combined bound	$\leq 7.7 \times 10^{-23}$ eV/c $^2$
remnant BH spin	0.39 to 0.7	evidence for dispersion of GWs	none
remnant size (effective radius)	123 to 150 km		
remnant area	$1.9$ to $2.8 \times 10^5$ km $^2$		
effective spin parameter	-0.42 to 0.09		
effective precession spin parameter	unconstrained		

Parameter ranges correspond to 90% credible intervals.

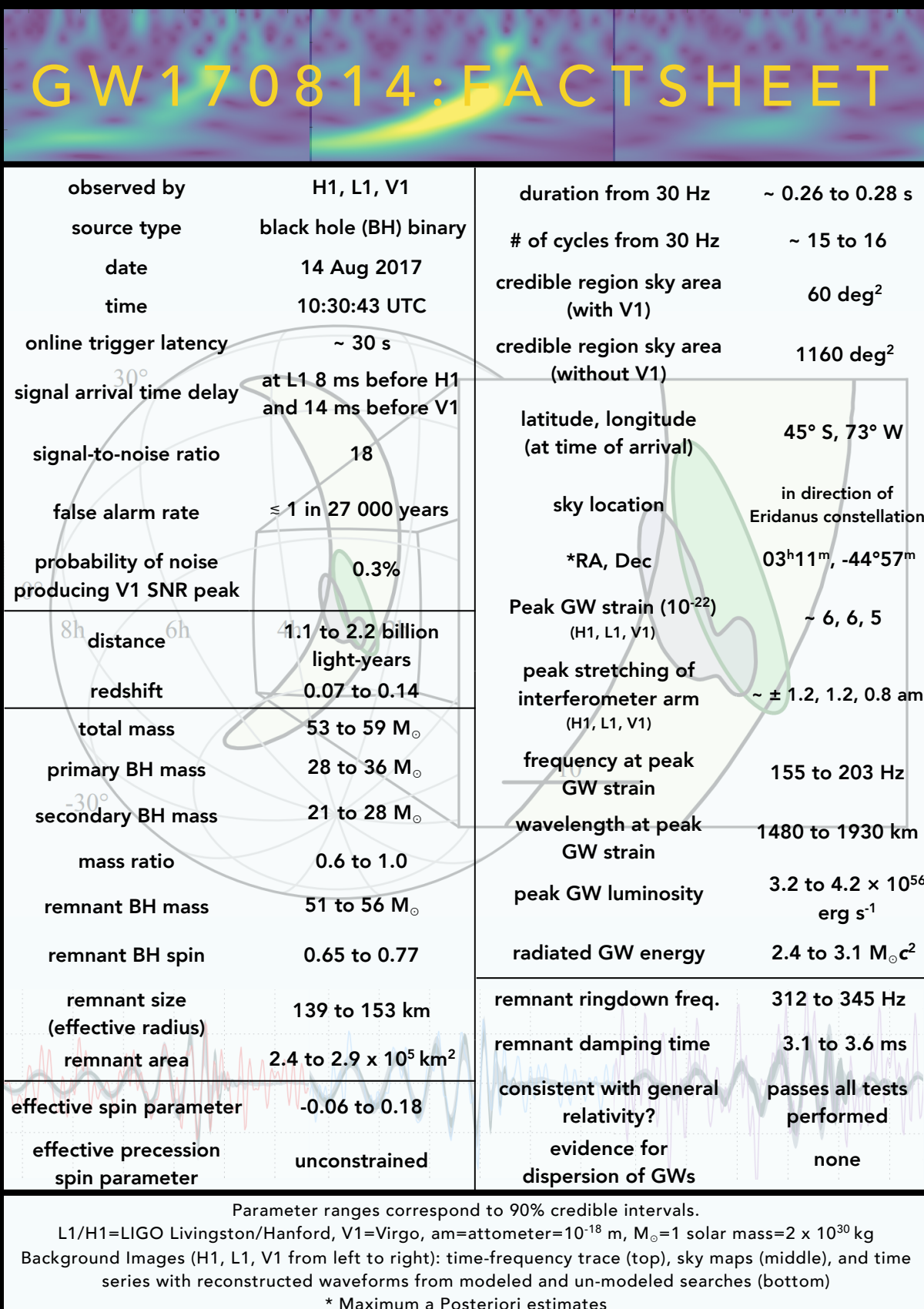
Acronyms:

L1/H1=LIGO Livingston/Hanford, am=attometer= $10^{-18}$  m,  $M_{\odot}$ =1 solar mass= $2 \times 10^{30}$  kg

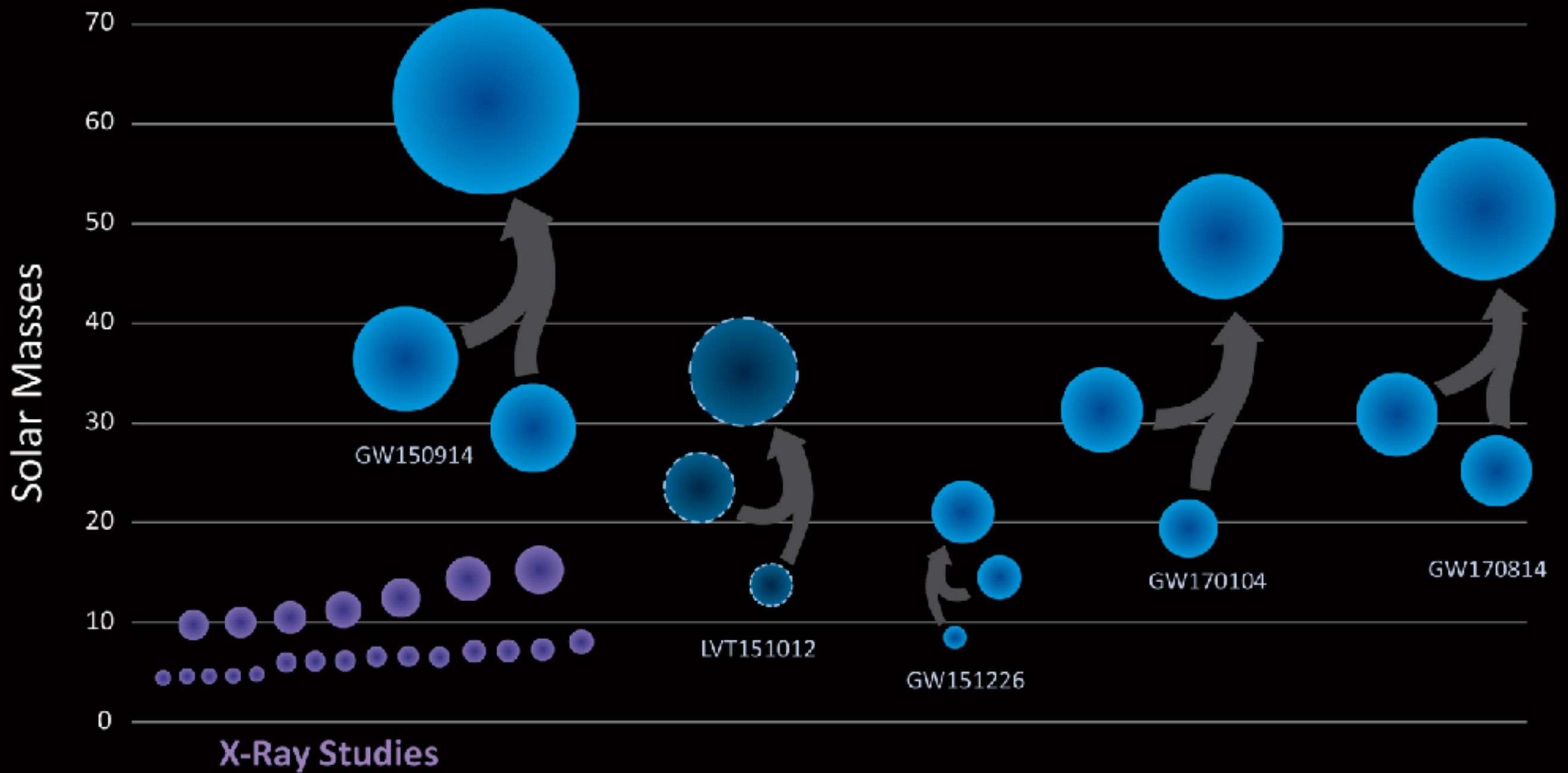
# GW170814



アメリカ LIGO 2台と、  
ヨーロッパ Virgoの3台の  
同時観測に成功



# Black Holes of Known Mass

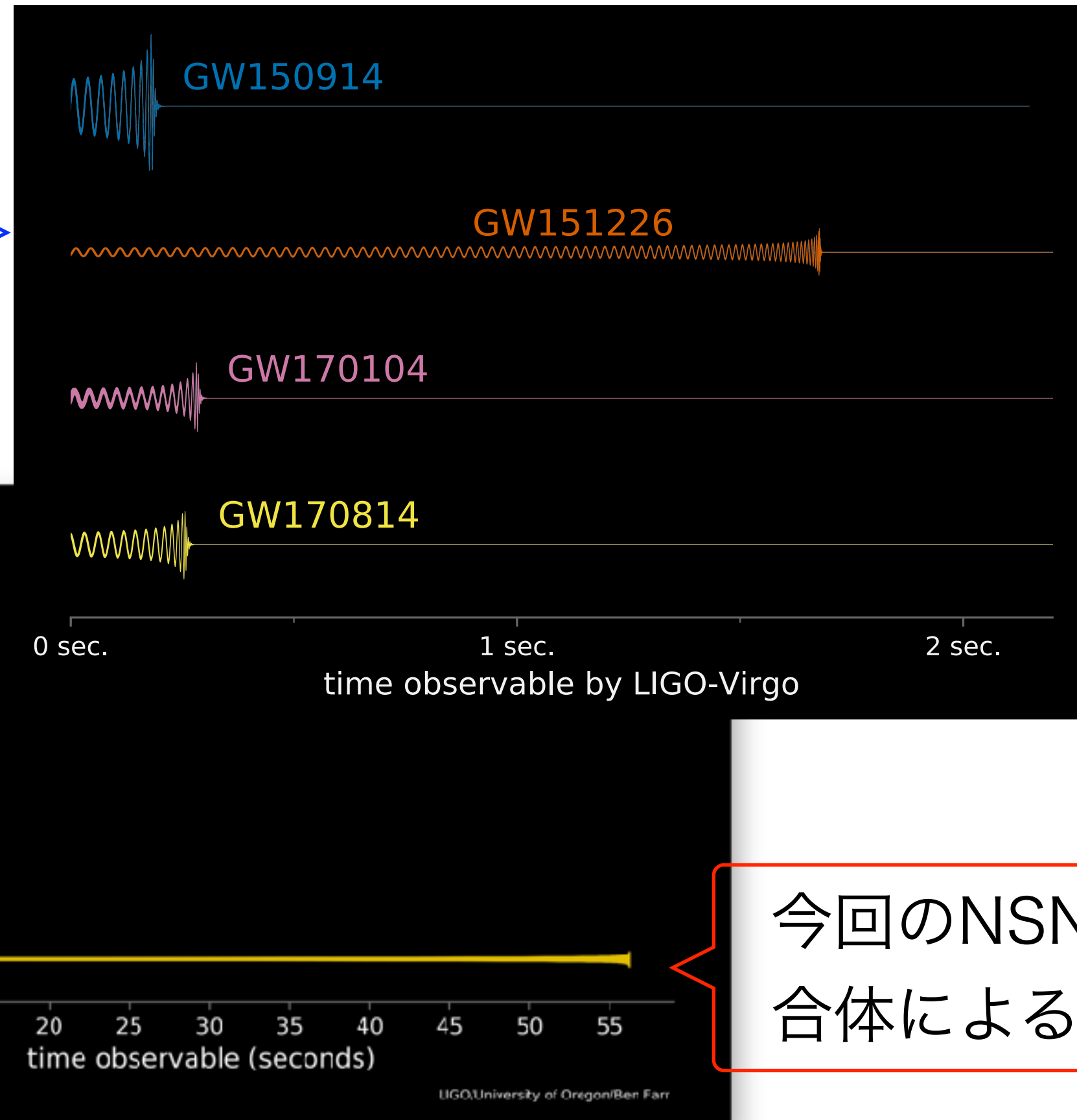


LIGO/VIRGO

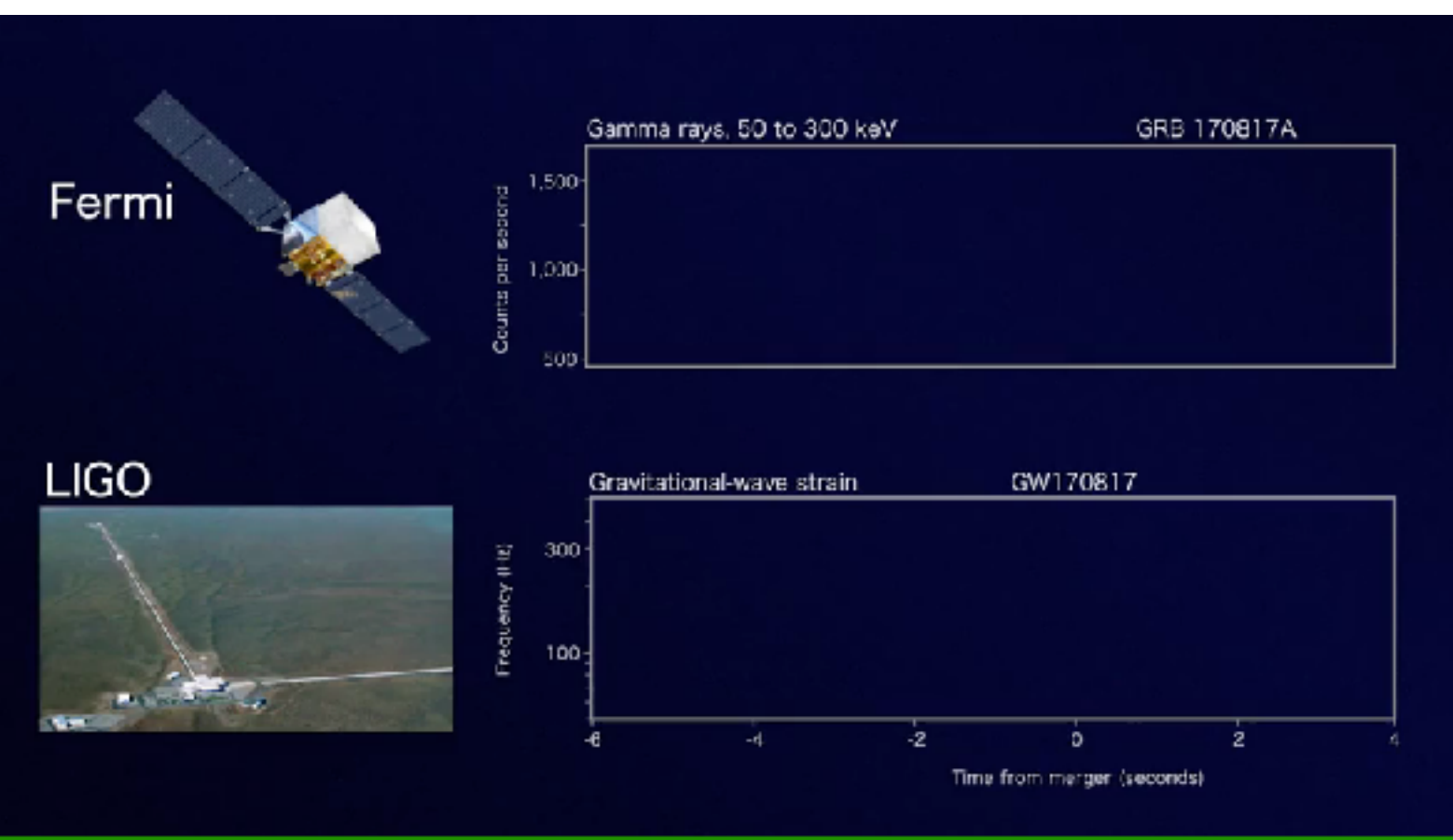
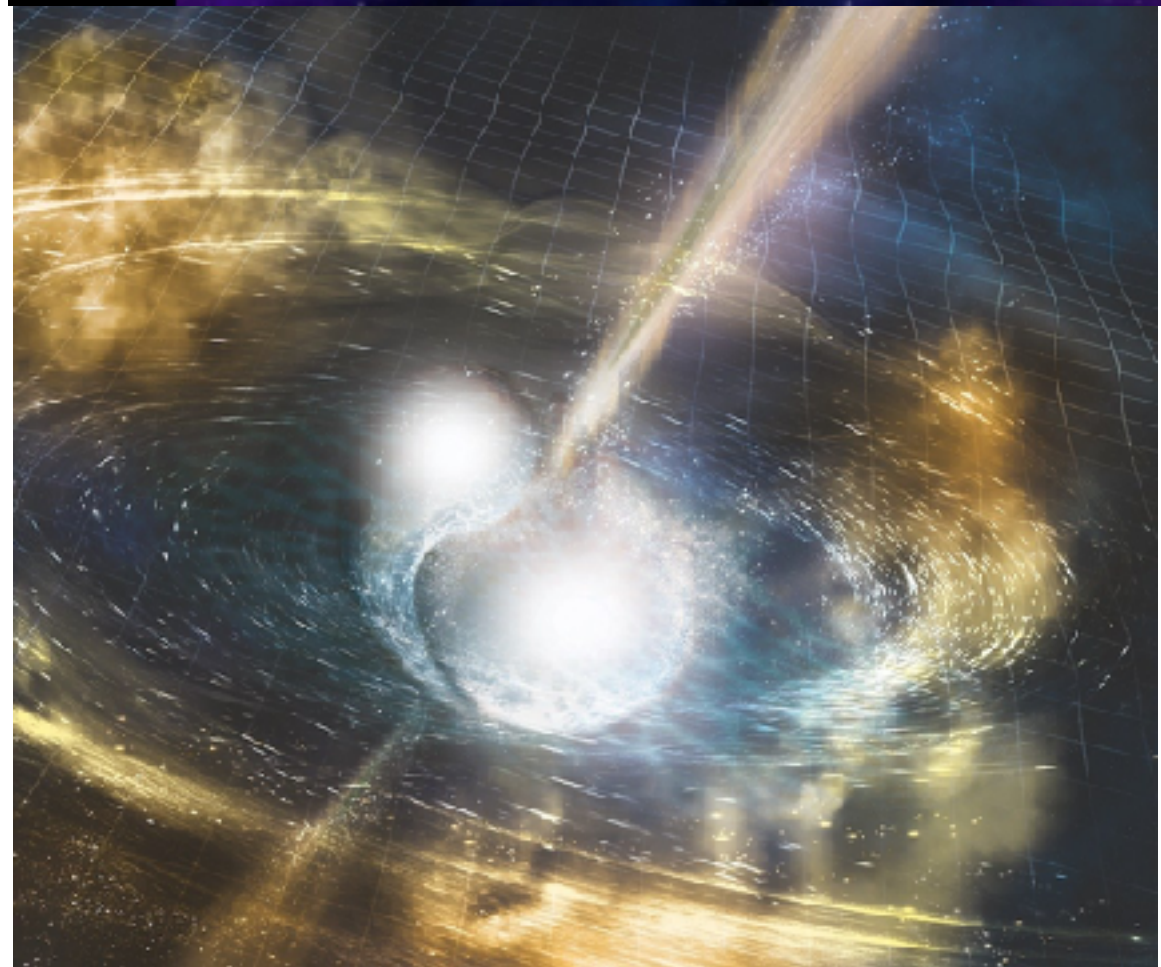
# 連星中性子星合体 重力波検出、多くの天文台が同時観測

GW170817

これまでの  
BHBH合体  
による重力波



# 連星中性子星合体 重力波検出、多くの天文台が同時観測 GW170817



# 連星中性子星合体 重力波検出、多くの天文台が同時観測 GW170817

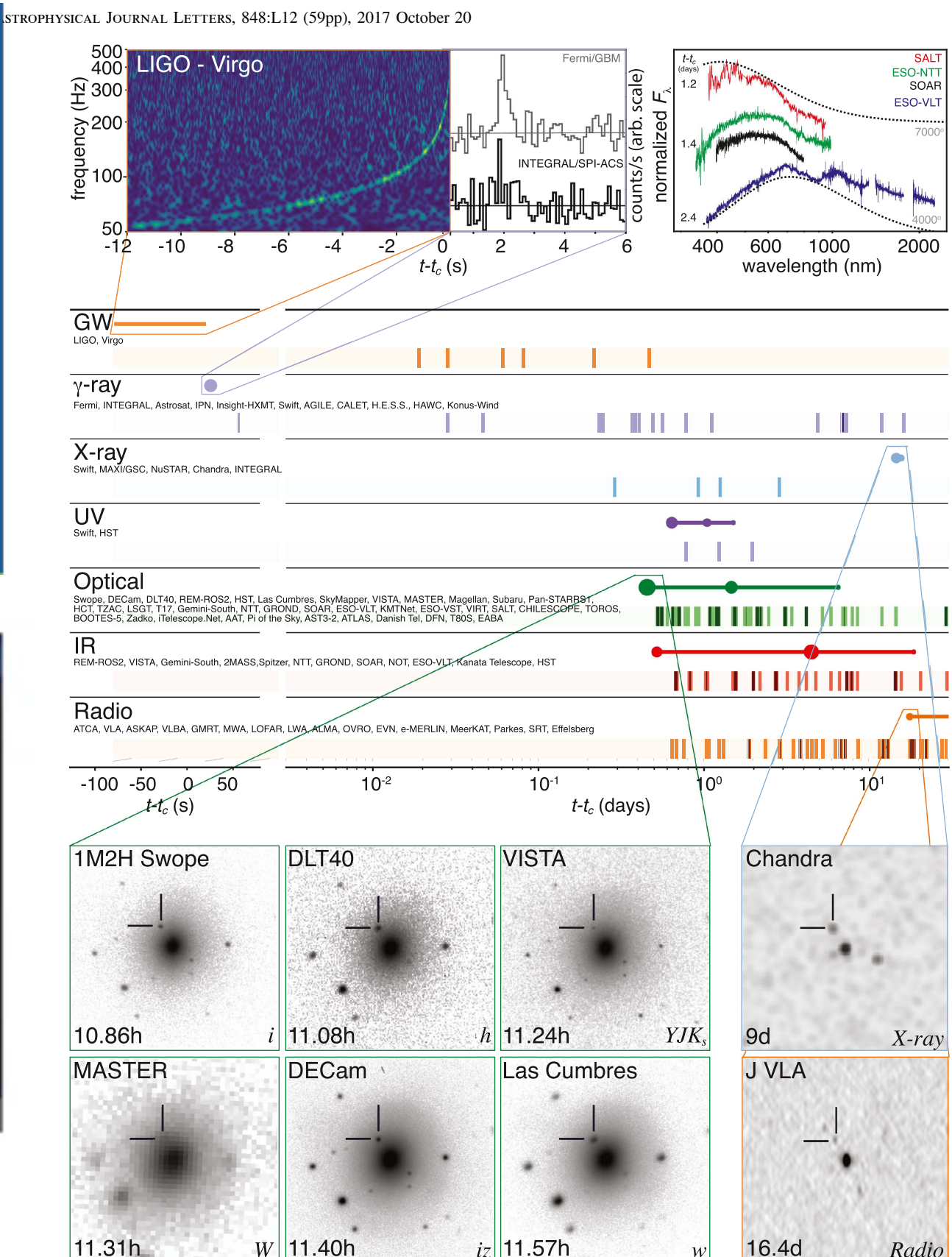
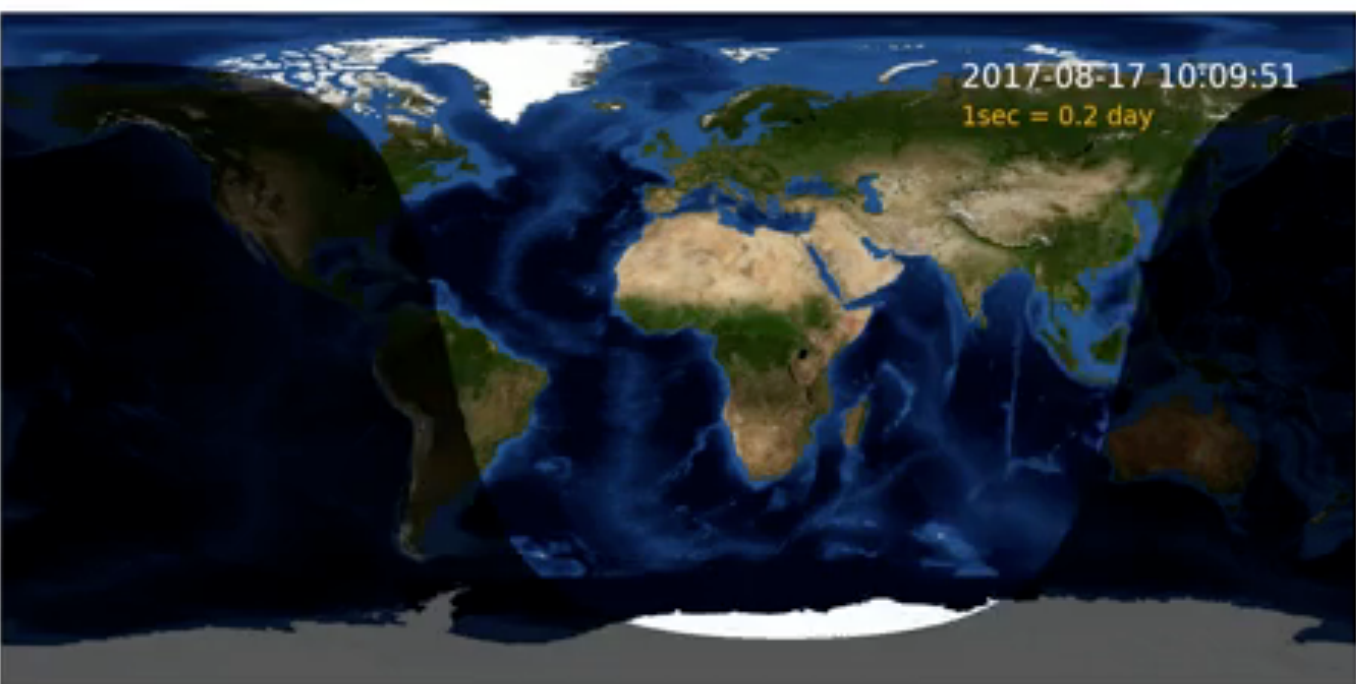
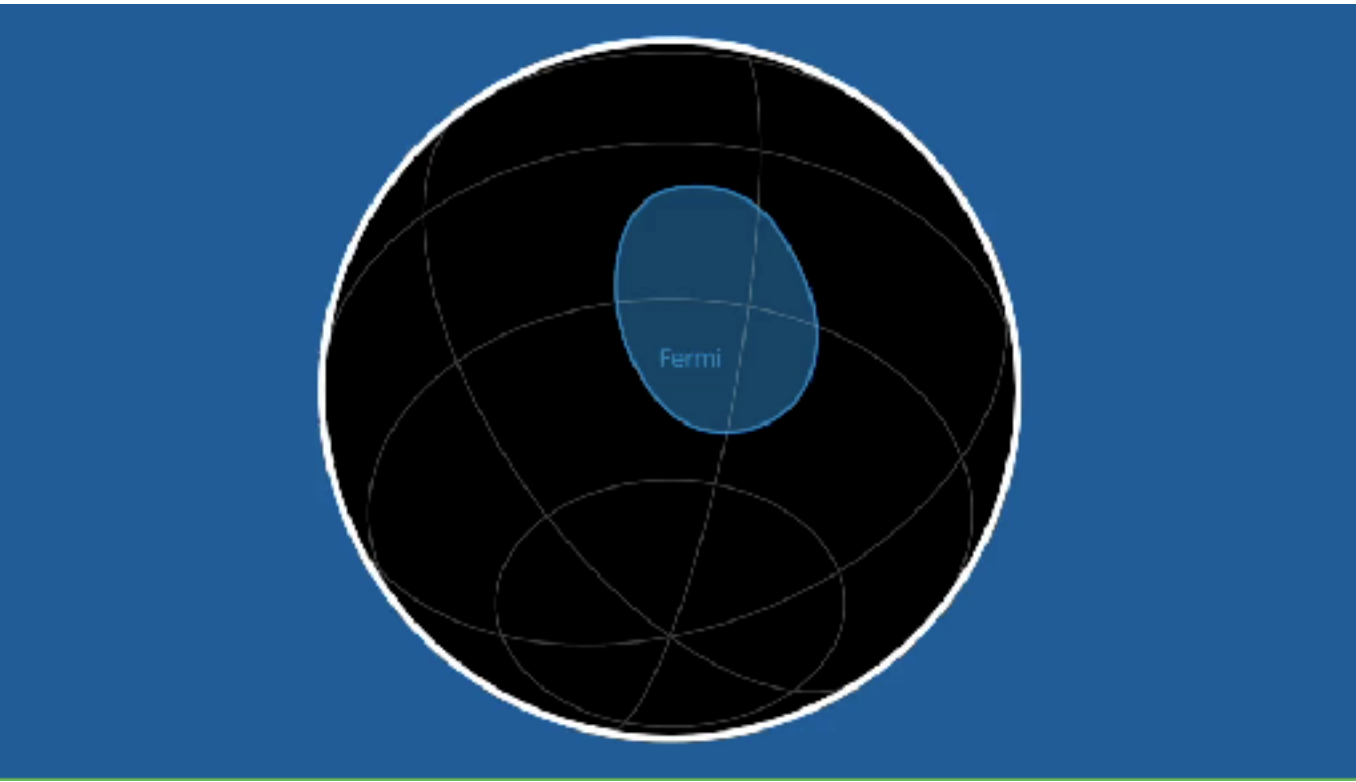
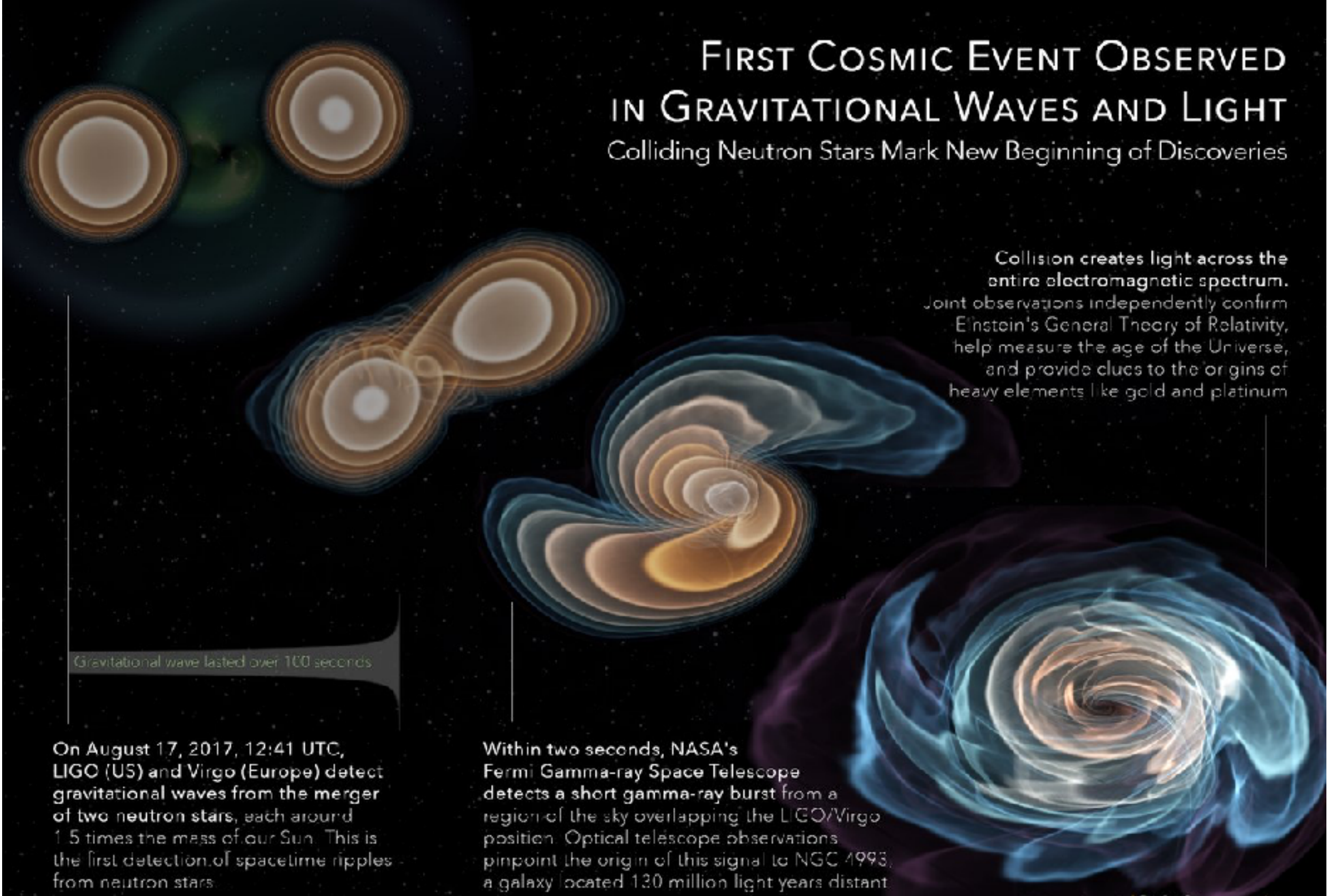


Figure 2. Timeline of the discovery of GW170817, GRB 170817A, SSS17a/AT 2017gfo, and the follow-up observations are shown by messenger and wavelength relative to the time  $t_c$  of the gravitational-wave event. Two types of information are shown for each band/messenger. First, the shaded dashes represent the time windows for each observation.

# 連星中性子星合体 重力波検出、多くの天文台が同時観測 GW170817

## FIRST COSMIC EVENT OBSERVED IN GRAVITATIONAL WAVES AND LIGHT Colliding Neutron Stars Mark New Beginning of Discoveries



Collision creates light across the entire electromagnetic spectrum. Joint observations independently confirm Einstein's General Theory of Relativity, help measure the age of the Universe, and provide clues to the origins of heavy elements like gold and platinum

Gravitational wave lasted over 100 seconds

On August 17, 2017, 12:41 UTC, LIGO (US) and Virgo (Europe) detect gravitational waves from the merger of two neutron stars, each around 1.5 times the mass of our Sun. This is the first detection of spacetime ripples from neutron stars.

Within two seconds, NASA's Fermi Gamma-ray Space Telescope detects a short gamma-ray burst from a region of the sky overlapping the LIGO/Virgo position. Optical telescope observations pinpoint the origin of this signal to NGC 4993, a galaxy located 130 million light years distant.



Georgia Tech Center for Relativistic Astrophysics



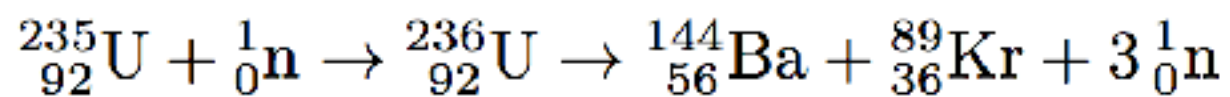
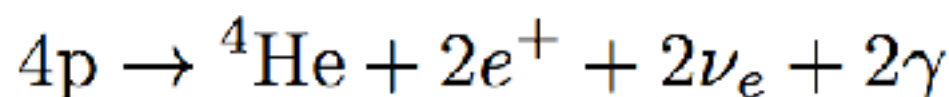
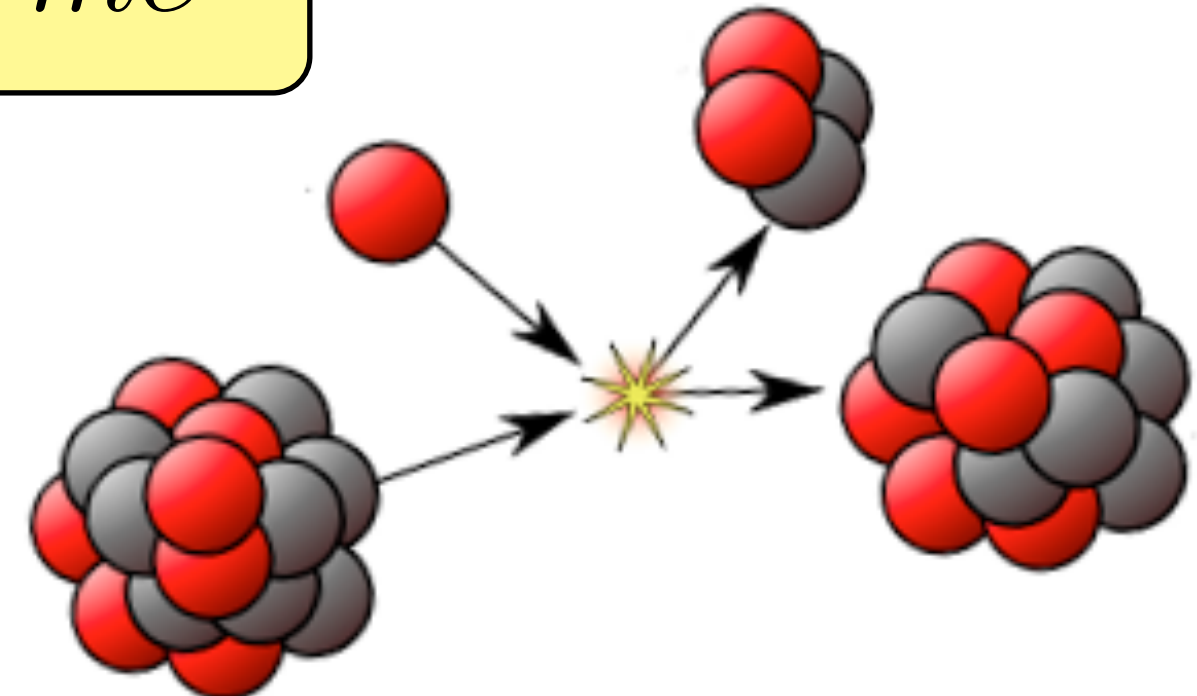
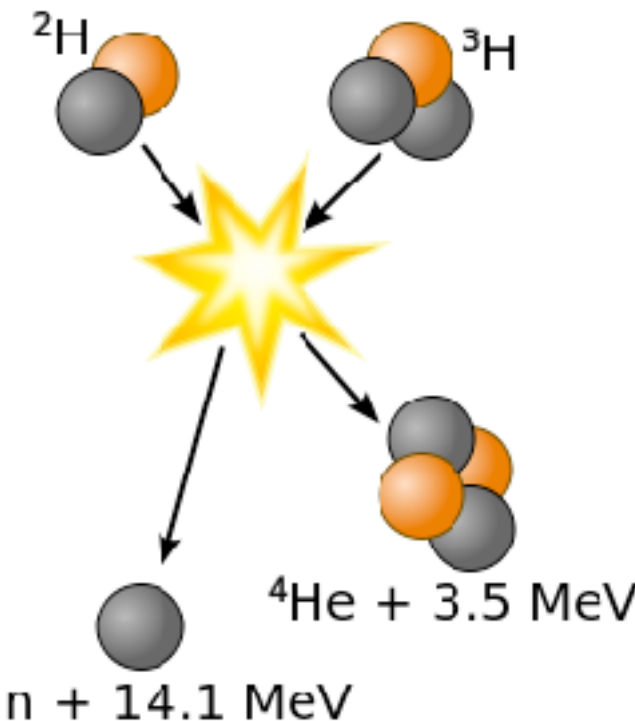
# 周期表 (periodic table)

Period	元素周期表 (Periodic Table)																						
	1 IA		IIA - VIIIA														VIII A						
1	1 H	水素 hydrogen	1.008	2 II A																			
1	1s	1 H	±1	2 II A																			
2	2s	3 Li	リチウム lithium	6.941	4 Be	ベリリウム beryllium	9.012	↑ 非金属元素	↓ 金属元素	29 Cu	銅 copper	63.55	+2,1	← 通常できるイオンの価数 ← 元素記号が灰色のものは人工合成された元素 ← 原子量	13 III A	14 IV A	15 VA	16 VIA	17 VII A	2 He			
3	3s	11 Na	ナトリウム sodium	22.99	12 Mg	マグネシウム magnesium	24.31	3 III B	4 IV B	5 V B	6 VI B	7 VII B	8 VIII B	9 VIII B	10 VIII B	11 I B	12 II B	5 B	6 C	7 N	8 O	9 F	10 Ne
4	4s	19 K	カリウム potassium	39.10	20 Ca	カルシウム calcium	40.08	21 Sc	22 Ti	23 V	24 Cr	25 Mn	26 Fe	27 Co	28 Ni	29 Cu	30 Zn	5 B	6 C	7 N	8 O	9 F	10 Ne
5	5s	37 Rb	ルビジウム rubidium	85.47	38 Sr	ストロンチウム strontium	87.62	39 Y	40 Zr	41 Nb	42 Mo	43 Tc	44 Ru	45 Rh	46 Pd	47 Ag	48 Cd	31 Ga	32 Ge	33 As	34 Se	35 Br	36 Kr
6	6s	55 Cs	セシウム cesium	132.9	56 Ba	バリウム barium	137.3	57-71 ランタノイド lanthanides	72 Hf	73 Ta	74 W	75 Re	76 Os	77 Ir	78 Pt	79 Au	80 Hg	49 In	50 Sn	51 Sb	52 Te	53 I	54 Xe
7	7s	87 Fr	フランシウム francium	223	88 Ra	ラジウム radium	226	89-103 アクチノイド actinides	104 Rf	105 Db	106 Sg	107 Bh	108 Hs	109 Mt	110 Ds	111 Rg	112 Cn	81 Tl	82 Pb	83 Bi	84 Po	85 At	86 Rn
																						↑ 非金属元素	
																						↓ 金属元素	

ランタノイド lanthanides (レアアース金属) (rare earth metals)	57 La	58 Ce	59 Pr	60 Nd	61 Pm	62 Sm	63 Eu	64 Gd	65 Tb	66 Dy	67 Ho	68 Er	69 Tm	70 Yb	71 Lu
	ランタン lanthanum 138.9	セリウム cerium 140.1	ブラセオジム praseodymium 140.9	ネオジム neodymium 144.2	プロメチウム promethium 145	サマリウム samarium 150.4	ユウロピウム europium 152.0	ガドリニウム gadolinium 157.3	テルビウム terbium 158.9	ジスプロシウム dysprosium 162.5	ホルミウム holmium 164.9	エルビウム erbium 167.3	ツリウム thulium 168.9	イッテルビウム ytterbium 173.0	ルテチウム lutetium 175.0
アクチノイド actinides	89 Ac	90 Th	91 Pa	92 U	93 Np	94 Pu	95 Am	96 Cm	97 Bk	98 Cf	99 Es	100 Fm	101 Md	102 No	103 Lr
	アクチニウム actinium 227	トリウム thorium 232.0	プロトアクチニウム protactinium 231.0	ウラン uranium 238.0	ネプツニウム neptunium 237	ブルトニウム plutonium 239	アメリシウム americium 243	キュリウム curium 247	バーカリウム berkelium 247	アインスタニウム einsteinium 251	カリホルニウム californium 252	フェルミウム fermium 257	メンデレビウム mendelevium 258	ノーベリウム nobelium 259	ローレンシウム lawrencium 262

# 核反応 原子核の組み替えによって莫大なエネルギーが放出

$$E = mc^2$$



核融合

(nuclear fusion)

合体した方が安定  
(エネルギー放出)

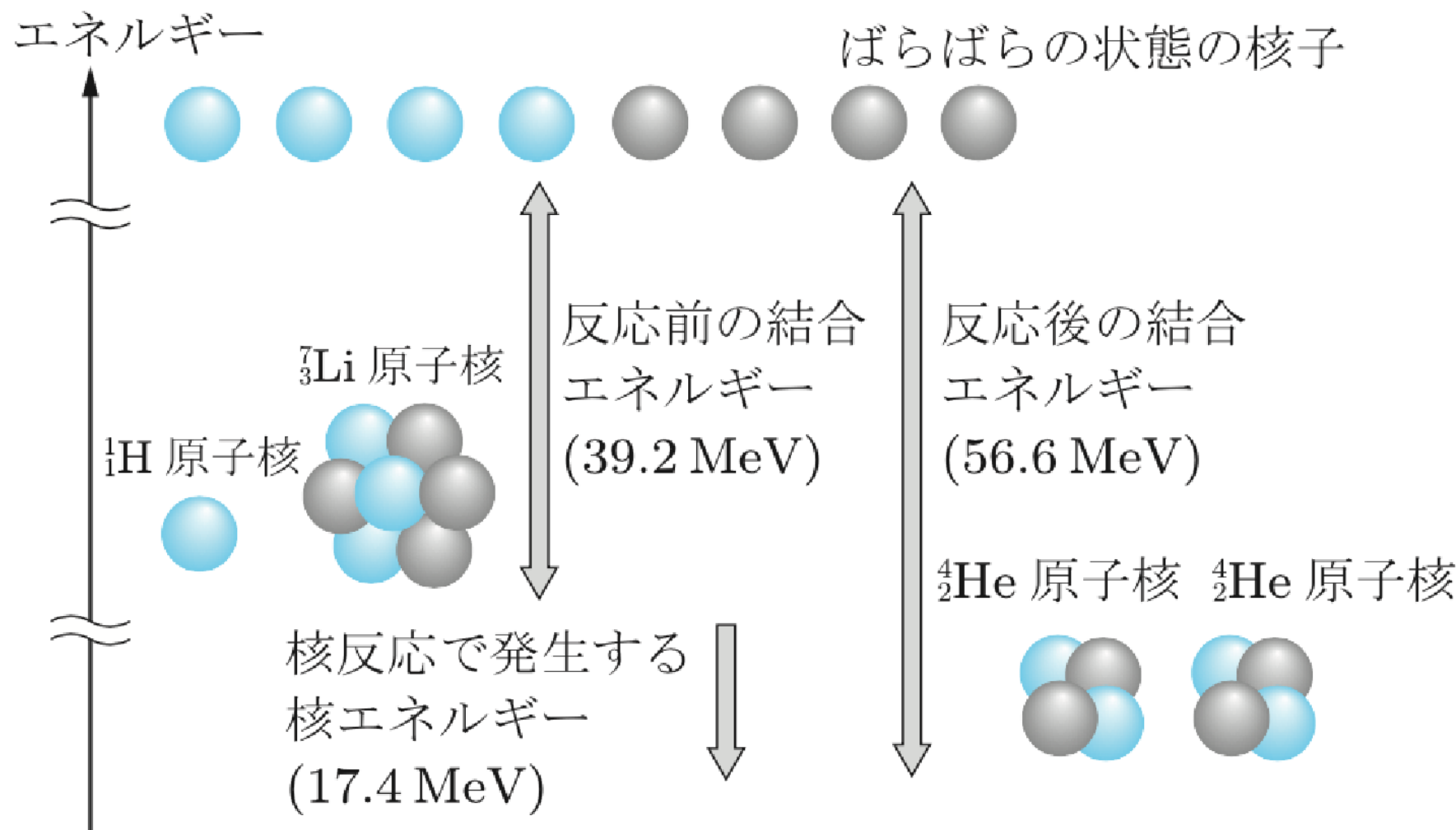
核分裂

(nuclear fission)

分裂した方が安定  
(エネルギー放出)

# 結合エネルギー

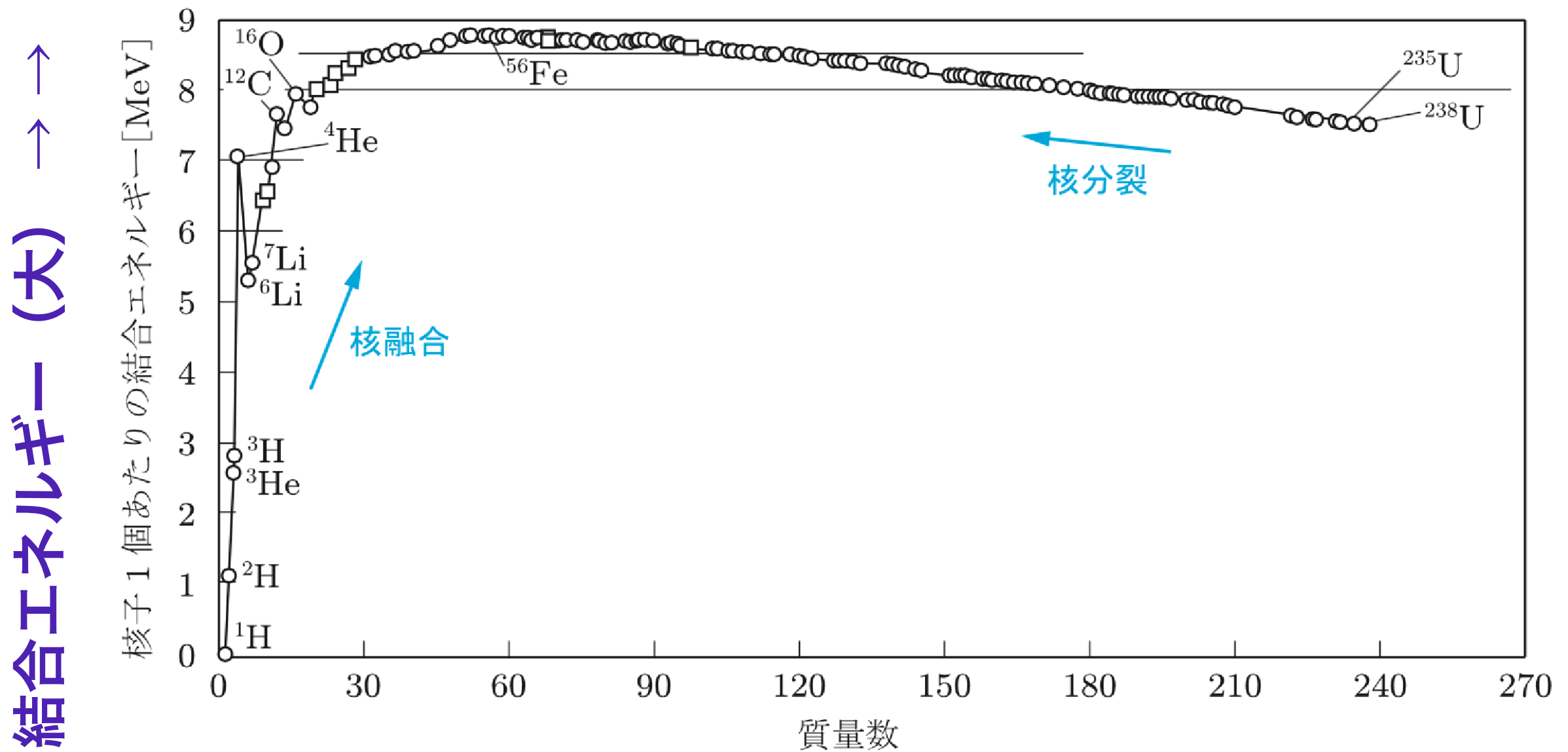
$$E = mc^2$$



ばらばらでいるより、結合している方が、  
エネルギーが低くて安定

# 結合エネルギー

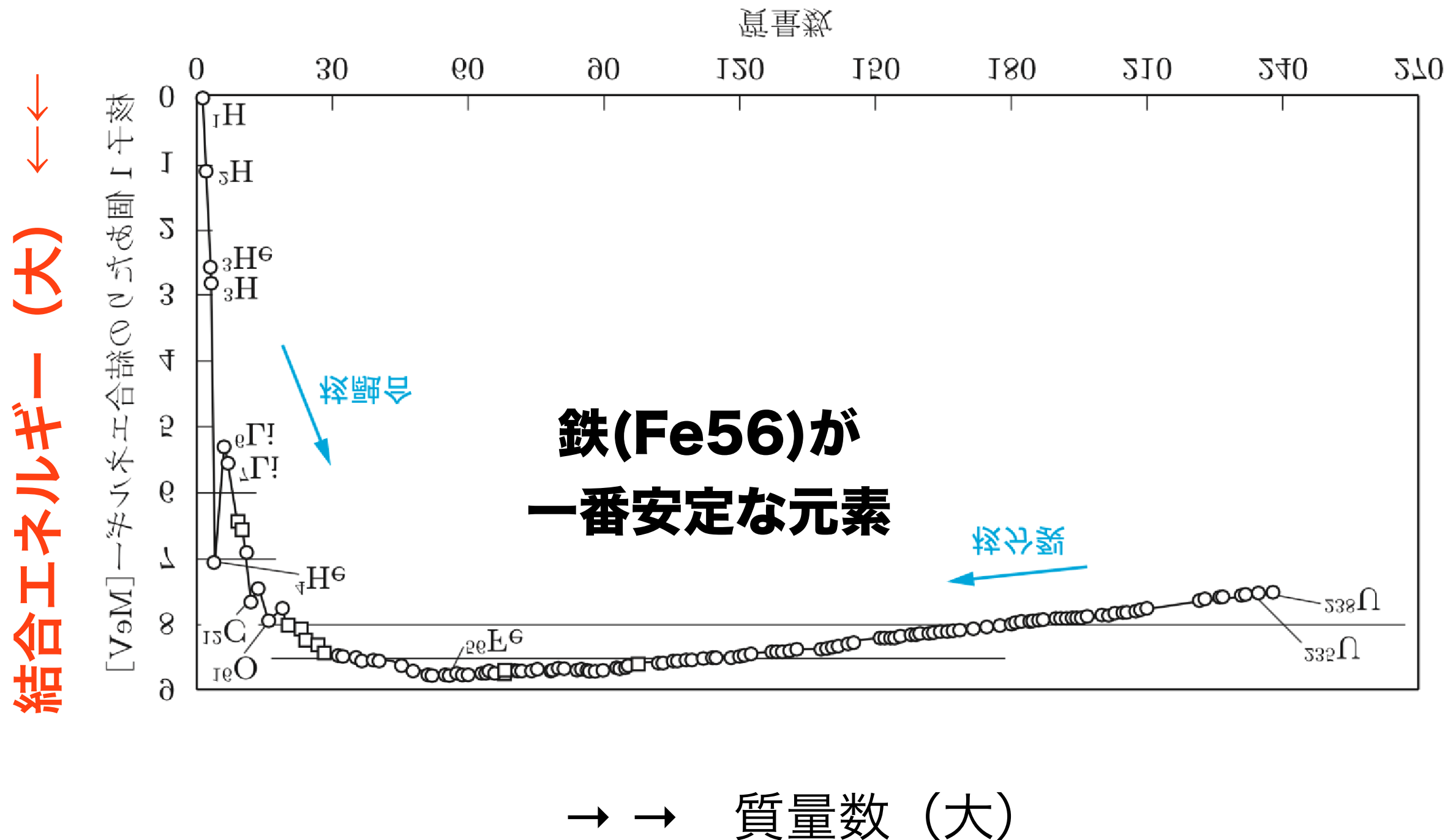
核融合も核分裂もどちらもおきる理由は何か？

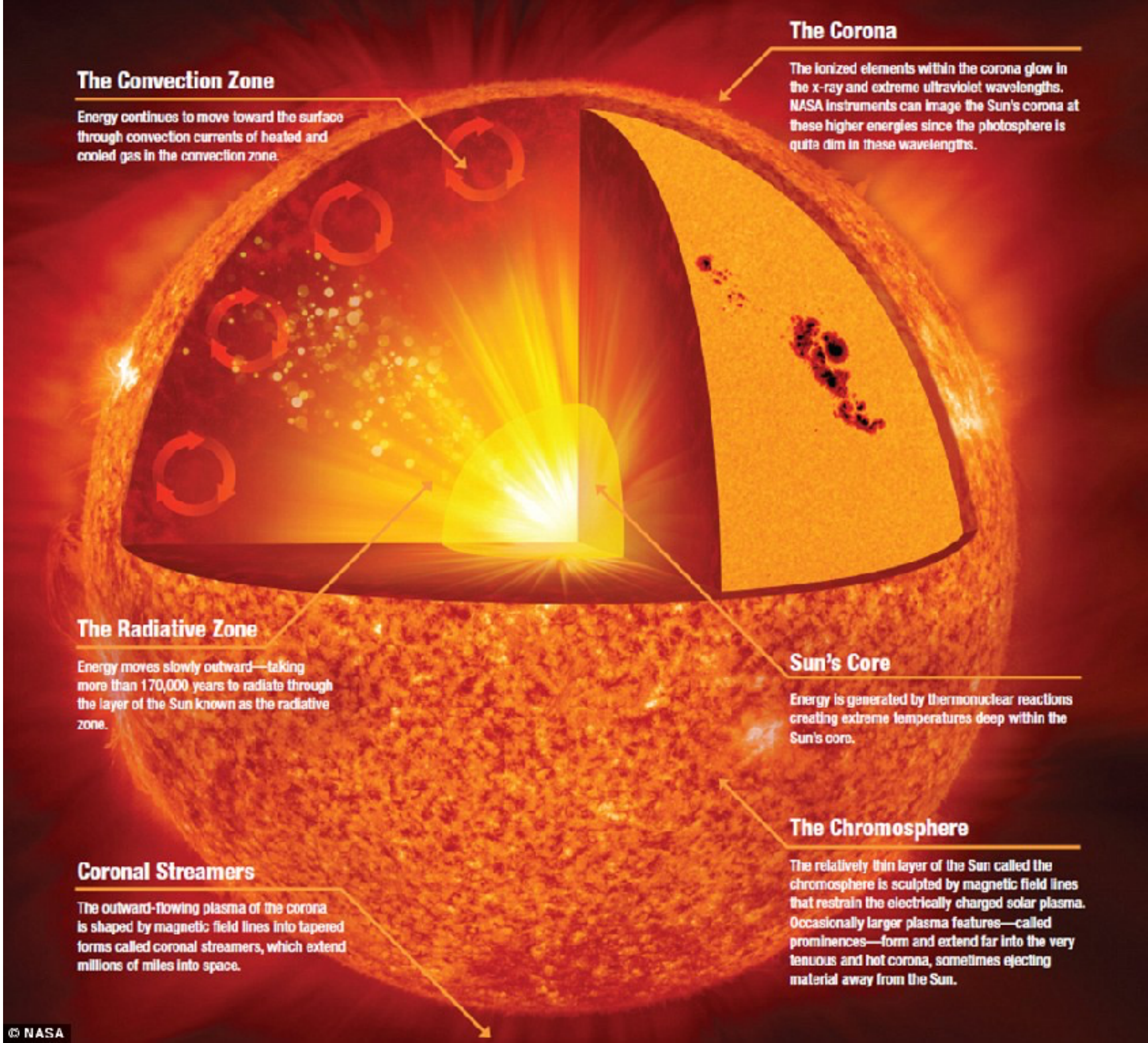


→ → 質量数 (大)

# 結合エネルギー

核融合も核分裂もどちらもおきる理由は何か？





Period																			18 VIII A			
	1 IA																2 He					
1	1s	H 水素 hydrogen 1.008	2 II A																			
2	2s	3 Li リチウム lithium 6.941	4 Be ベリリウム beryllium 9.012																			
3	3s	11 Na ナトリウム sodium 22.99	12 Mg マグネシウム magnesium 24.31	3 III B	4 IV B	5 V B	6 VI B	7 VII B	8 VIII B	9 VIII B	10 I B	11 II B	13 Al アルミニウム aluminum 26.98	14 Si ケイ素 silicon 28.09	15 P リン phosphorus 30.97	16 S 硫黄 sulfur 32.07	17 Cl 塩素 chlorine 35.45	18 Ar アルゴン argon 39.95				
4	4s	19 K カリウム potassium 39.10	20 Ca カルシウム calcium 40.08	21 Sc スカンジウム scandium 44.96	22 Ti チタン titanium 47.87	23 V バナジウム vanadium 50.94	24 Cr クロム chromium 52.00	25 Mn マンガン manganese 54.94	26 Fe 鉄 iron 55.85	27 Co コバルト cobalt 58.93	28 Ni ニッケル nickel 58.69	29 Cu 銅 copper 63.55	30 Zn 亜鉛 zinc 65.41	31 Ga ガリウム gallium 69.72	32 Ge ゲルマニウム germanium 72.64	33 As ヒ素 arsenic 74.92	34 Se セレン selenium 78.96	35 Br 臭素 bromine 79.90	36 Kr クリプトン krypton 83.80			
5	5s	R ルビウム rubium 85.	38 +1	39 +3	40 +4	41 +5,3	42 +6,3,5	43 +7,4,6	44 +4,3,6,8	45 +3,4,6	46 +2,4	47 +1	48 +2	49 +3	50 +4,2	51 +3,5	52 -2	53 -1	54 Xe キセノン xenon 131.3			
6	6s	C セシウム cesium 132.	37 +1	38 +2	39 +3	40 +4	41 +5,3	42 +6,3,5	43 +7,4,6	44 +4,3,6,8	45 +3,4,6	46 +2,4	47 +1	48 +2	49 +3	50 +4,2	51 +3,5	52 -2	53 -1	54 Xe キセノン xenon 131.3		
7	7s	F フランシウム francium 223.	37 +1	38 +2	39 +3	40 +4	41 +5,3	42 +6,3,5	43 +7,4,6	44 +4,3,6,8	45 +3,4,6	46 +2,4	47 +1	48 +2	49 +3	50 +4,2	51 +3,5	52 -2	53 -1	54 Xe キセノン xenon 131.3		

↑ 非金属元素  
↓ 金属元素  
→ 非金属元素  
↓ 金属元素

常温で気体  
単体は半導体  
常温で液体  
単体は強磁性体  
放射性同位体のみからなる元素

宇宙の始まりは素粒子。

だんだんと冷えるにしたがって水素 (H) が形成。

集まって星ができ、核融合で恒星になる。

しかし、核融合は、鉄(Fe)までしか進まない。

現在、周期表に Fe より重い元素があるのは何故か？

超新星爆発で作られた！

中性子星連星合体で作られた！

# 本日の内容

## 1. 重力波とは

Einsteinが残した100年越しの宿題

重力波の発見まで

## 2. 直接観測された重力波

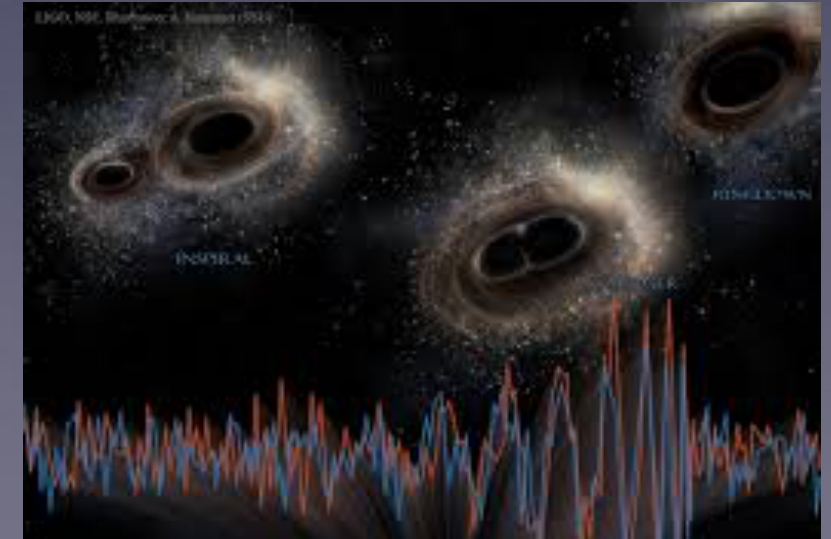
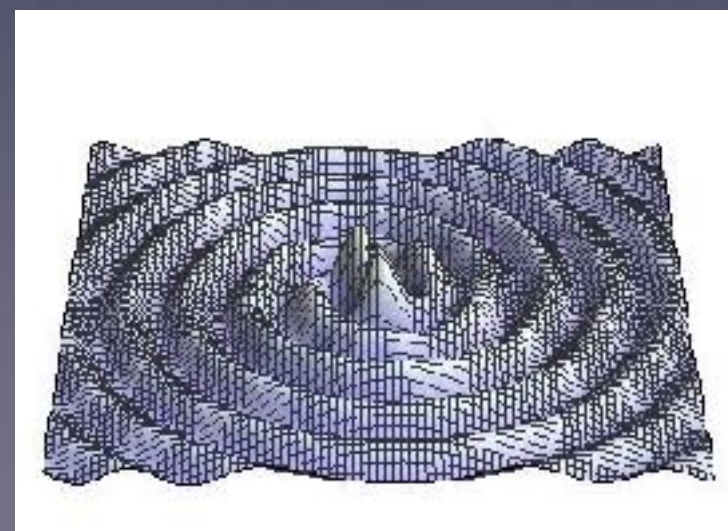
レーザー干渉計のしくみ

LIGOグループが発見した5つの重力波イベント

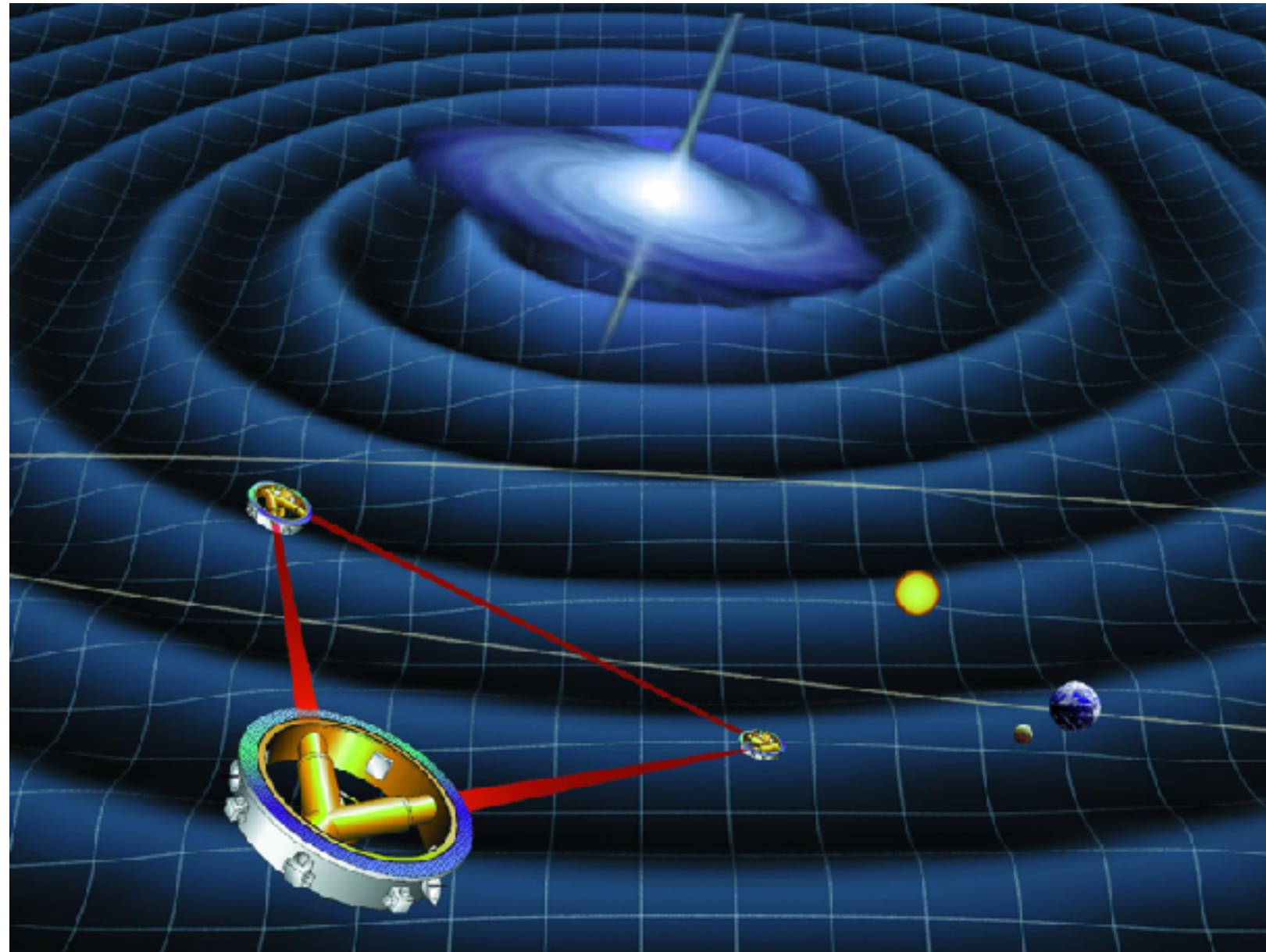
## 3. 重力波観測の将来

宇宙空間での重力波観測

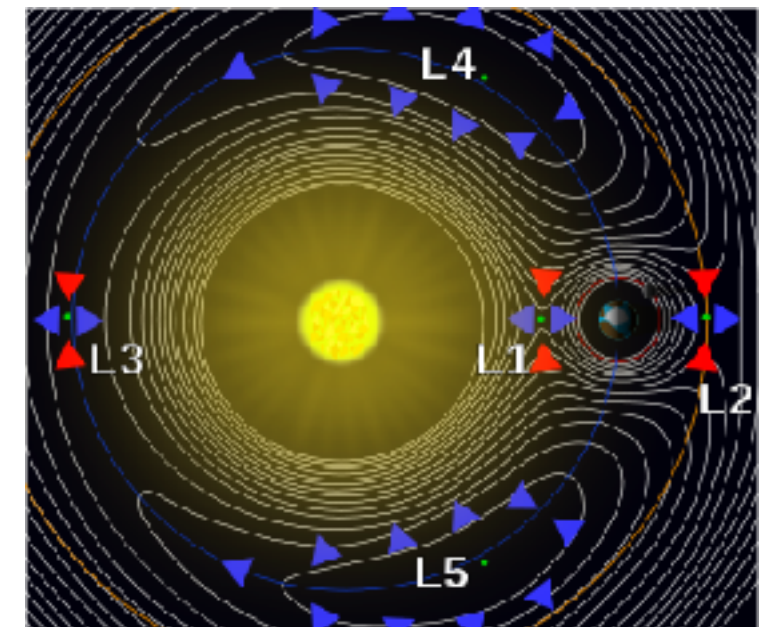
重力波観測から何がわかるか



## Laser Interferometer Space Antenna

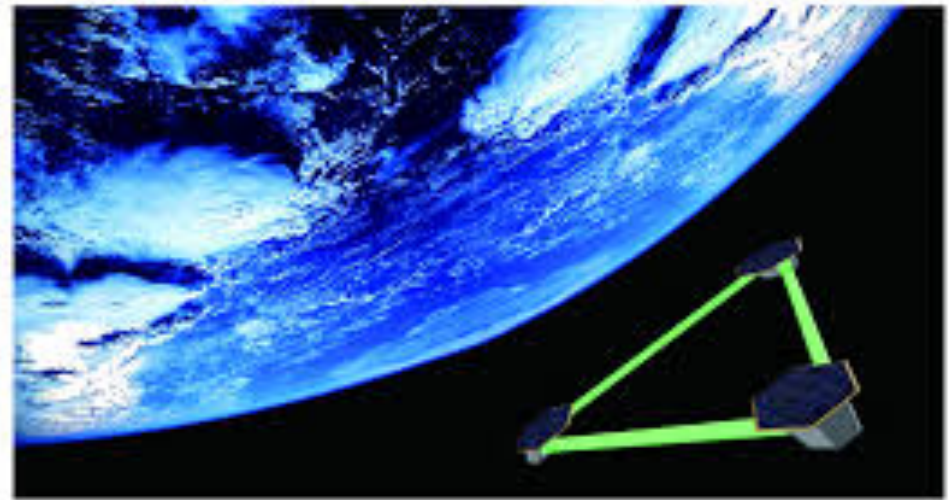


2034年に打ち上げ予定  
250万kmの腕の長さ  
地球の公転軌道のL4  
低周波数帯 (mHzからHz帯)



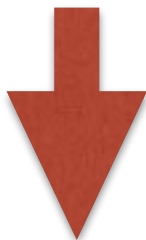
# 重力波宇宙干渉計DECIGO (ディサイゴ)

## Deci-hertz Interferometer Gravitational wave Observatory



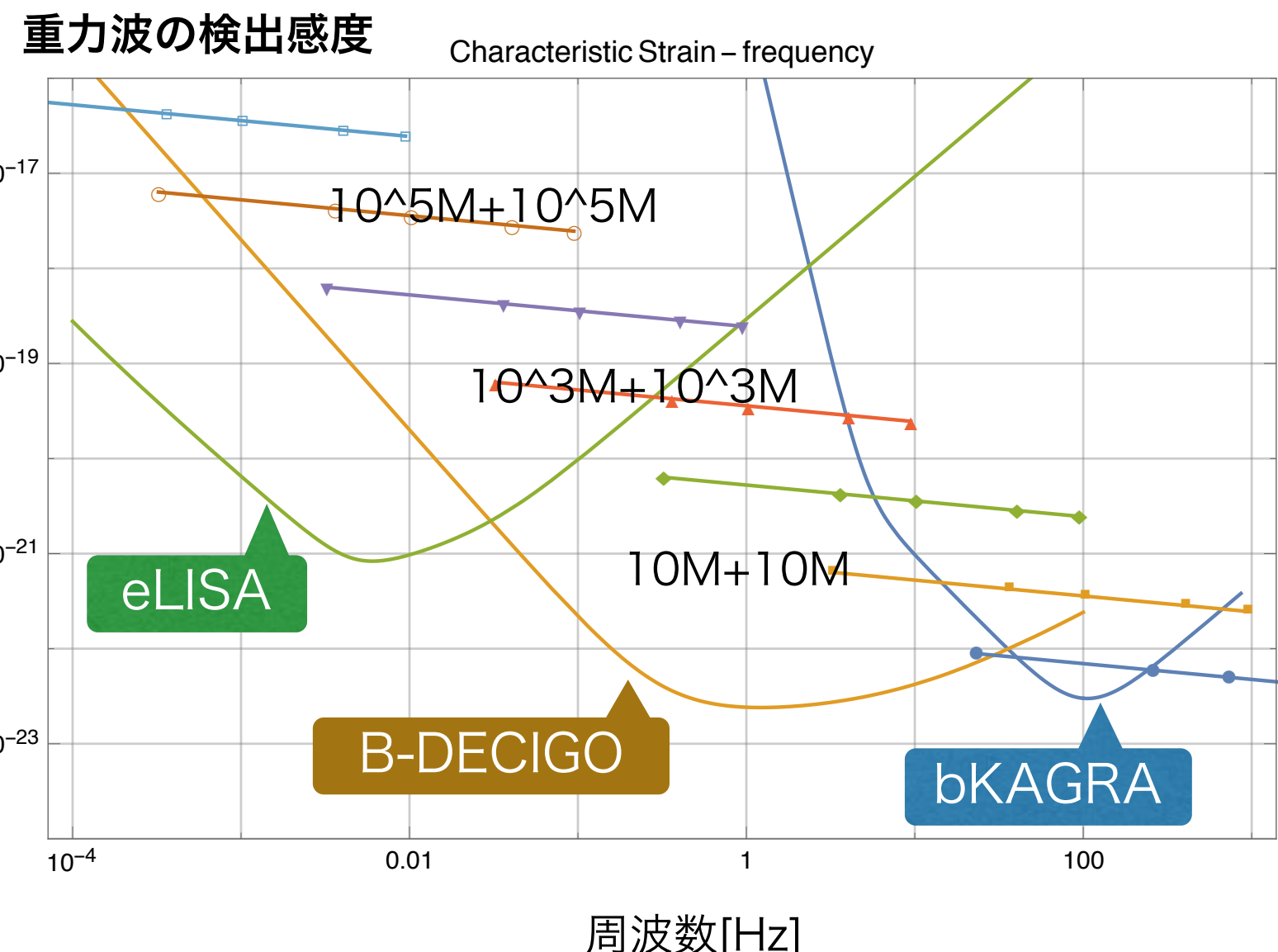
1000kmの腕の長さ  
低周波数帯 (deciHzからHz帯)

宇宙全体スケールで  
巨大ブラックホール連星合体の  
重力波が検出できる



銀河中心の超巨大ブラックホール  
形成過程がわかる

宇宙の膨張速度がわかる

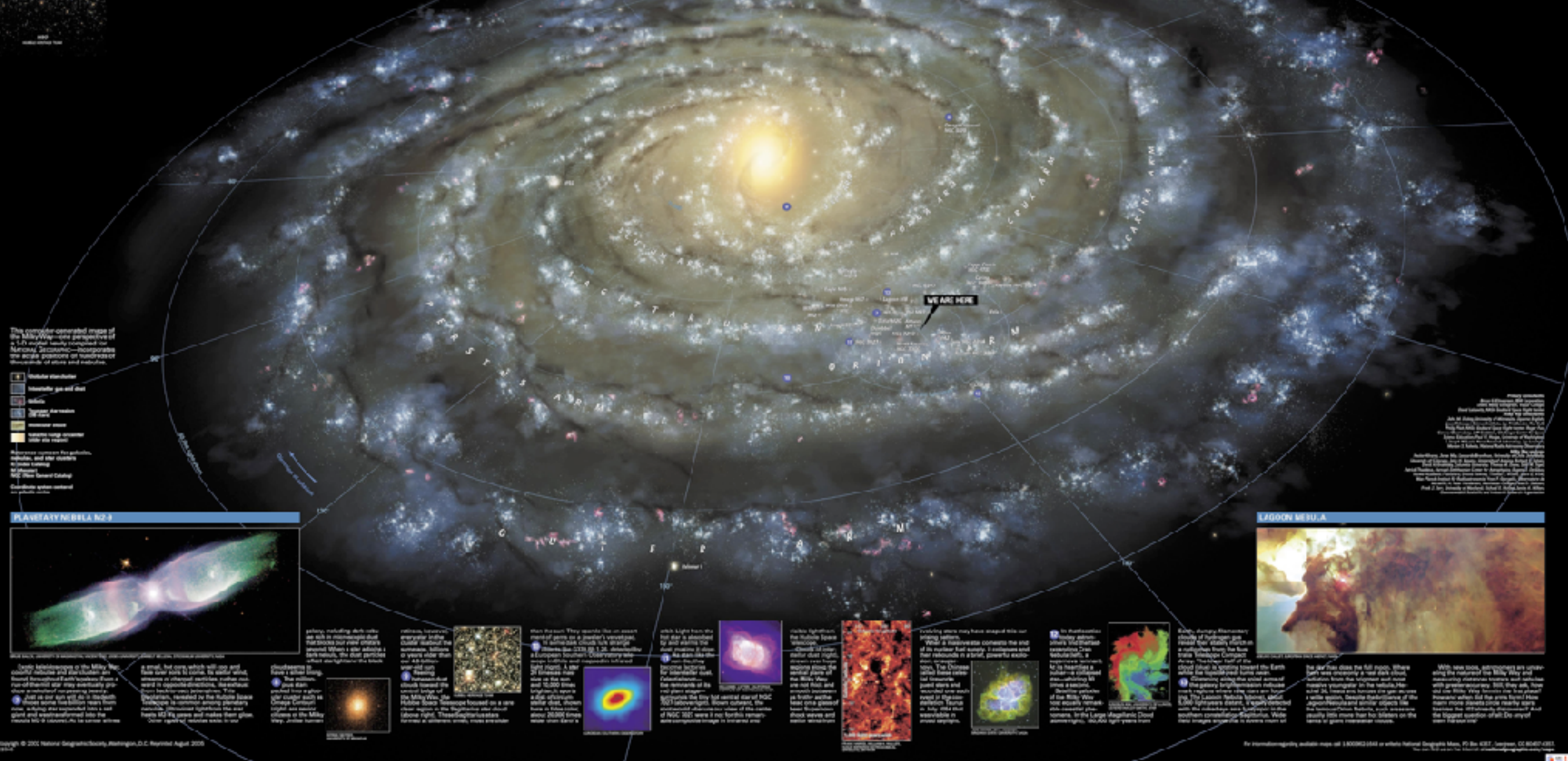


# 天の川銀河 (our Galaxy)

## THE MILKY WAY



**H**ome galaxy of Earth, the Milky Way is a spiral-shaped system of a few hundred billion stars. Bright regions of recently formed stars highlight its arms, while older stars inhabit the galactic bulge, which lies at the center of our galaxy. The sun orbits the Milky Way at a distance of about 27,000 light-years from the galactic center. All objects in the Milky Way orbit the galactic center, which is about 100,000 light-years from the sun. At the scale of staggering light from a star at one edge of the galaxy takes about 100,000 years to reach the opposite side.



# 重力波天文学で何がわかる？

対応する天体の姿

→ 天体物理学

ブラックホールの存在する強い重力場

→ 一般相対性理論の検証

中性子星連星合体のふるまい

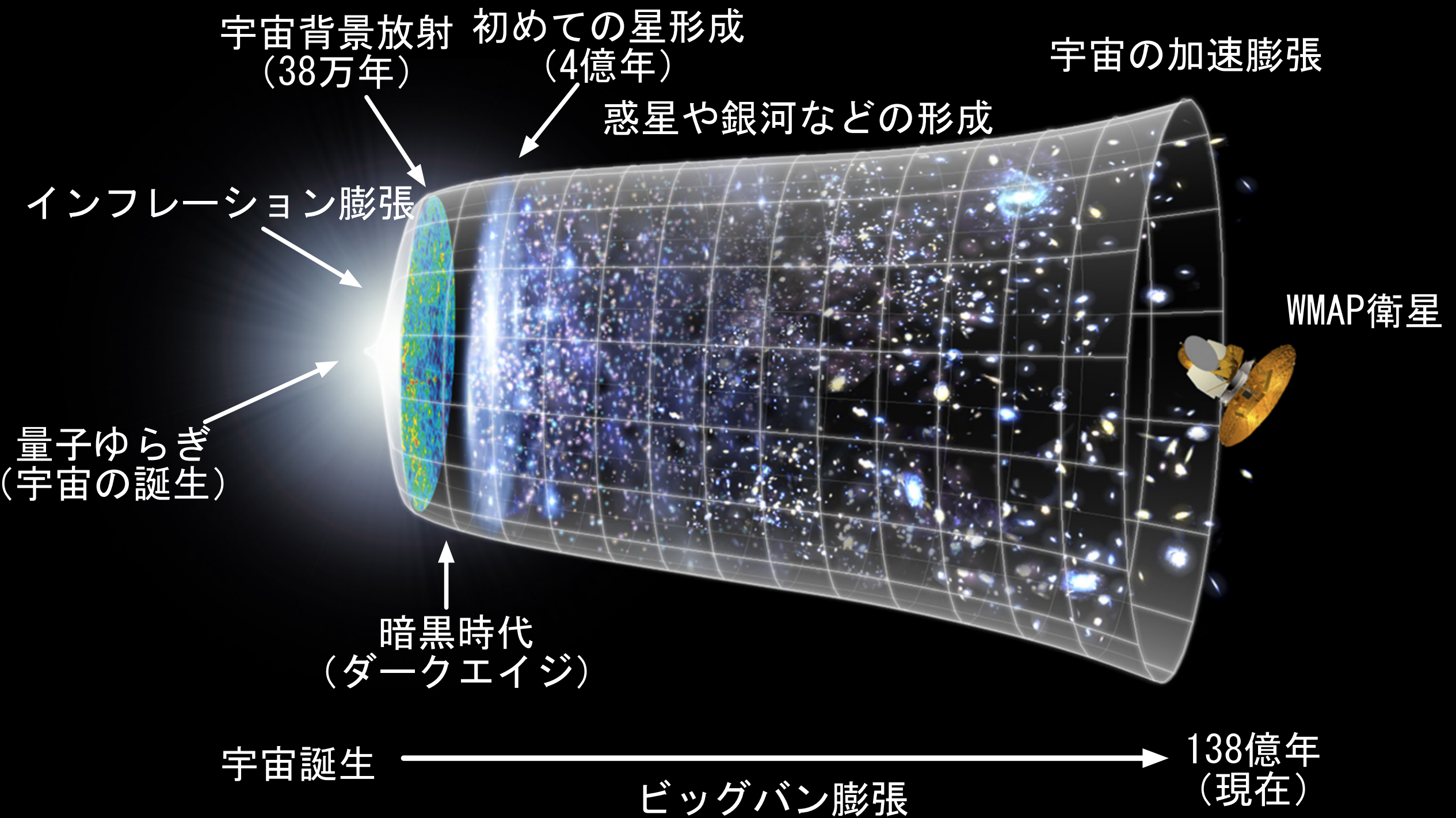
→ 原子核の状態方程式

イベント頻度・統計

→ 星形成モデル・銀河中心ブラックホール  
宇宙論パラメータ

背景重力波の存在

→ 星形成モデル・宇宙初期モデル



# 重力波天文学で何がわかる？

とんでもないこと？ → 世の中、実は5次元。。。とか

第7章 高次元時空とタイムマシン

### 余剰次元を通って近道をする

4次元ブレーン（膜宇宙）

膜上を伝わる光

余剰次元を伝わる重力

A

B

重力は余剰次元を通過することで、膜上を通過する光よりも速く伝わることができる。

↓

ブラックホールの衝突で大爆発が起こる。

光

重力波

余剰次元を近道した重力波が先に到着し、波源に望遠鏡を向けると、まさにこれから衝突するところが見えるはず。

地球

## ブレーンワールド型 タイムマシン1

### ～膜宇宙に生じる近道～

ブレーンワールド（膜宇宙）モデルによれば、我々の住む4次元空間は高次元の中を漂う膜のようなものである。重力だけが高次元の中を伝わり、他の力や物質は膜に閉じ込められている。膜の上にいるものは、膜以外の世界を知る由もない。地球の表面に住むだけでは地球の丸みを感じることができないように、我々も4次元空間に閉じ込められているのである。

ランドールとサンドラムによって提案されたモデルのように、4次元の暗い並んでおらず、暗いにブラックホールなどの強い重

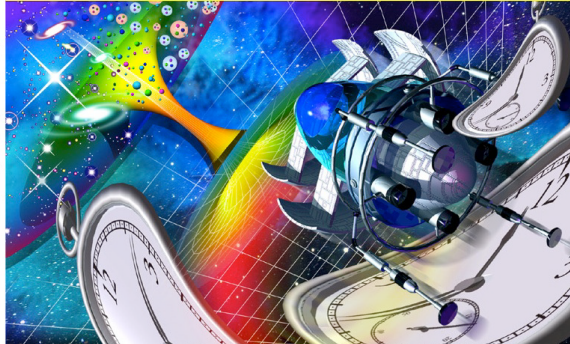
考るのが自然だろう。  
っている場合、重力の伝わる力は余剰次元を伝播できるかも速く2点間を結んで伝わるから重力が重力波として伝わる距離を光速で伝わって届いた重力波が伝わることも可能だ。

望遠鏡で見るよりも、重力波信号によって、情報が伝えられるかもしれない

絵と文章でわかりやすい！

## 図解雑学 タイムマシンと 時空の科学

大阪工業大学准教授 真貝寿明 著



タイムマシンに関する最新の物理学研究を紹介し、タイムトラベルの可能性と問題点をやさしく解説します。物理や宇宙の不思議な世界へご招待！

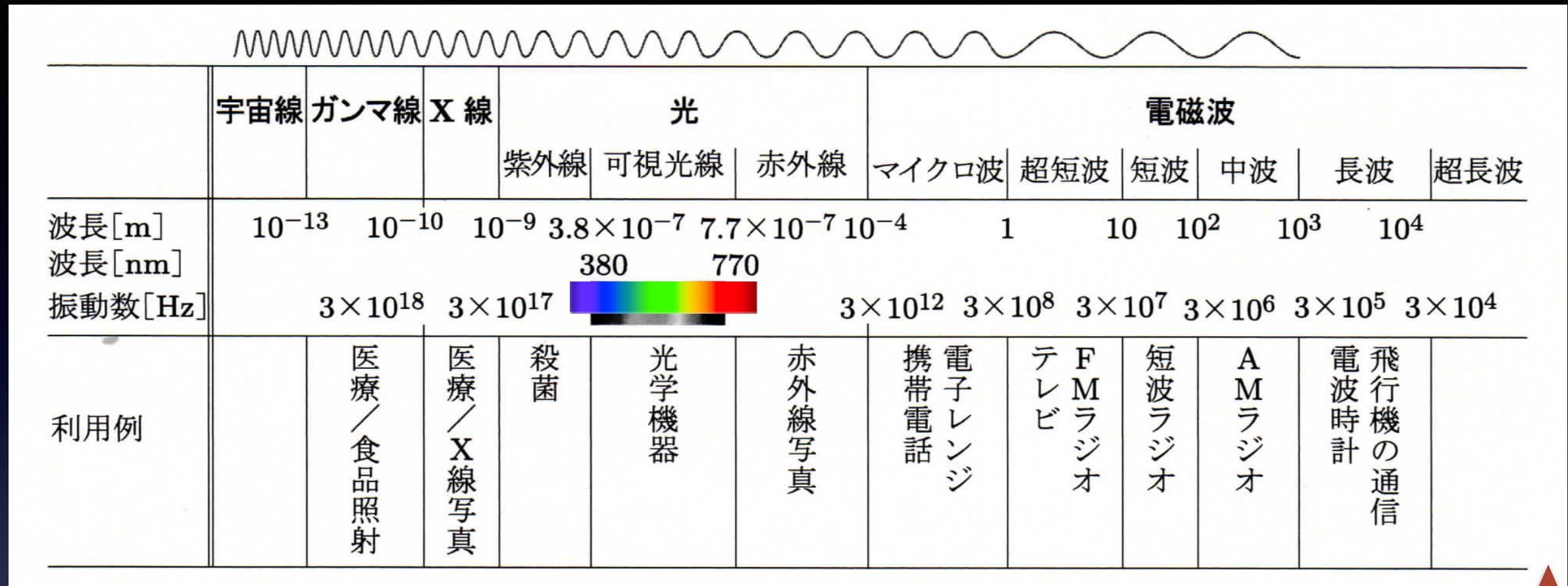
ナツメ社

図解雑学

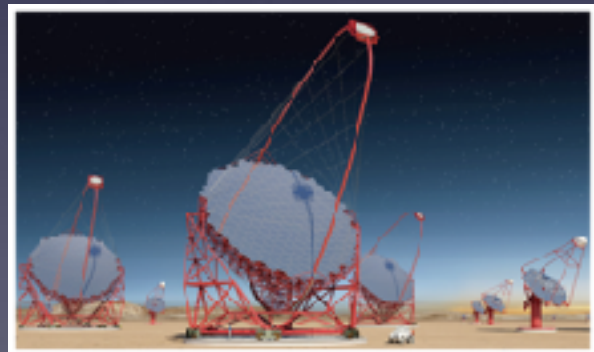
タイムマシンと時空の科学

ナツメ社  
5025

# マルチ・メッセンジャー天文学の誕生



ガンマ線



X線



可視光



赤外



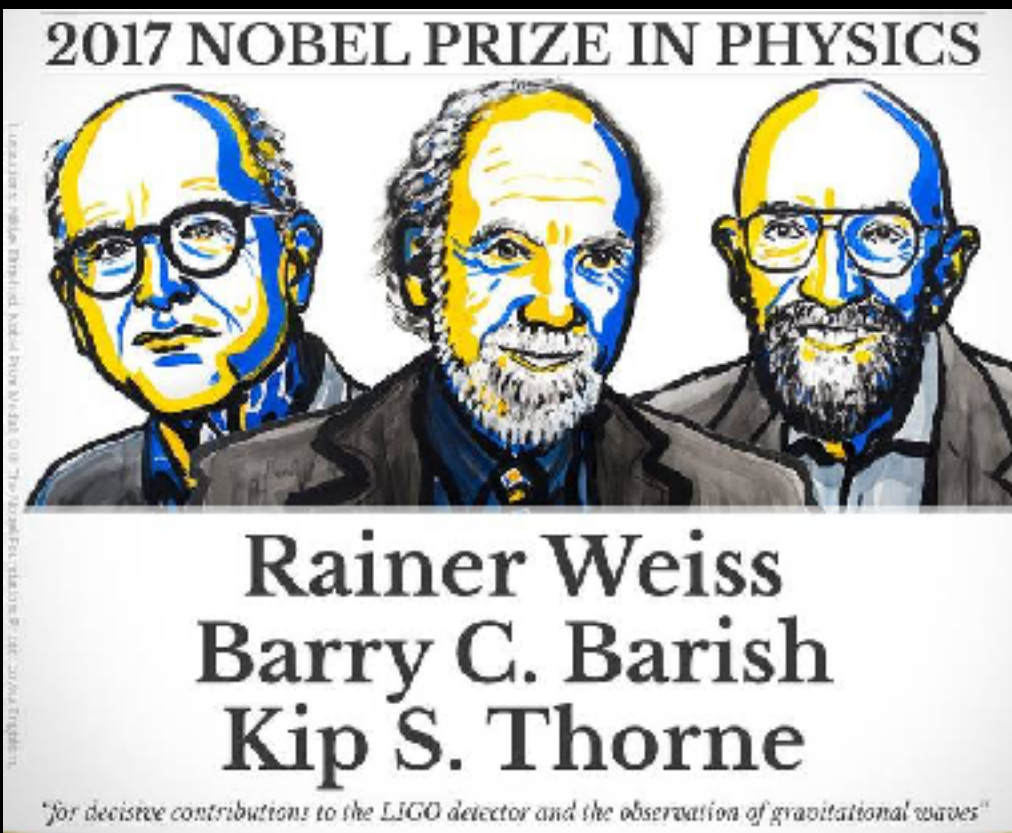
電波



重力波

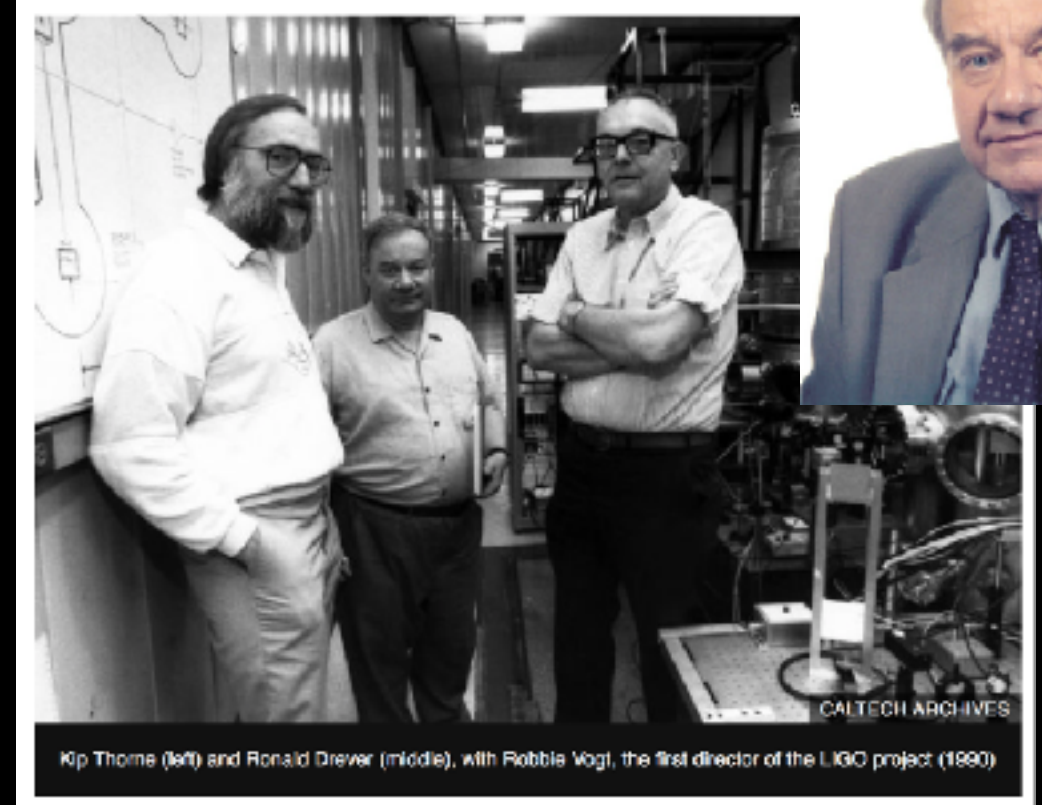
重力波天文学  
はじめました。





ライナー・ワイス(85)  
バリー・バリッシュ(77)  
キップ・ソーン(77)

干渉計設計  
グループ組織  
理論



Ronald Drever (1932–2017)  
ロナルド・ドレーバー  
プロトタイプ実験

Drever, Weiss, Thorne の3名は、以下のものを同時授賞されている

**Special Breakthrough Prize in Fundamental Physics (2016)**

**Gruber Prize in Cosmology (2016)**

**Shaw Prize (2016)**

**Kavli Prize (2016)**